

3,5 lei (35.000 lei vechi)

mai 2005

# conexClub

ANUL VI / Nr. 68

5/2005

ELECTRONICĂ PRACTICĂ PENTRU TOȚI



Modul 1 digit LED cu interfață RS232



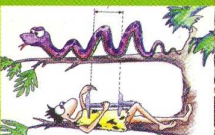
Experimente cu înaltă tensiune



Amplificator de bandă largă, VHF-UHF



Releu de avarie



Generarea semnalelor sinusoidale



Efecte luminoase cu cluster

NOU

la Conex Electronic

Echipamente pentru  
prototipuri - circuite imprimate

**BUNGARD**  
/BEZ/

## Încărcător Automat pentru acumulatori Ni-Cd și Ni-MH

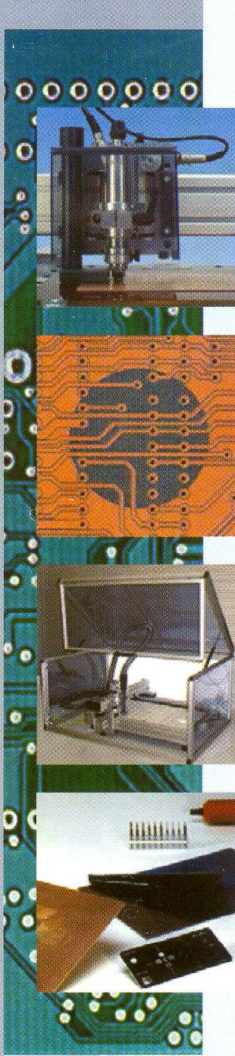


**conex**  
electronic



SR EN ISO 9001:2001  
Certificat Nr. 464

[www.conxelectronic.ro](http://www.conxelectronic.ro)  
comenzi on-line



## Echipamente pentru prototipuri

FilmStar este un fotoplotter de mici dimensiuni, cu linii, realizat pentru utilizatorii care au nevoie să-și facă filme de calitate, la un preț scăzut și foarte rapid. Pe lângă fișierele Gerber (atât cele standard, cât și cele extinse), FilmStar utilizează și fișiere BMP ce pot fi exportate din software standard - Corel Draw sau similar. Deși FilmStar este un fotoplotter de dimensiuni mici și destul de liniștit, prețul scăzut este rezultatul unui design sofisticat și al prețului scăzut de fabricație.

Filmul este fixat pe cilindrul rotativ. Dioda laser se deplasează pas cu pas de-a lungul cilindrului rotativ, cu ajutorul unui motor pas cu pas, de precizie. Cilindrul rotativ este controlat de asemenea de un motor pas cu pas. FilmStar primește datele de la PC.

Software-ul de comandă este livrat împreună cu aparatul.

### FILMSTAR

**Dimensiunea maximă a filmului:** 400 x 320mm;  
**Suprafața maximă de desenare:** 380 x 300mm;  
**Rezoluție:** 508...8192 x 8600dpi;  
**Viteză de desenare:** 10mm din lățimea filmului/minut pentru 1016dpi;  
**Sursa de lumină:** dioda Laser 670nm (rosu);  
**Tipuri de fișiere utilizate:** Gerber (RS274D, RS274X), înaltă rezoluție BMP;  
**Software fotoplotter:** inclus pe CD;  
**Supraveghetor Gerber;** convertor automat pentru toate sistemele electronice de proiectare CAD;  
**Editor de coduri D,** vizualizare înaintea printării și printare;  
**Pozitionare imagine:** interactiv, absolut sau relativ, fotomontarea imaginilor;  
**Possibilitatea realizării imaginii negative sau în oglindă;**  
**Software-ul necesită un computer cu Windows 98...XP, port USB;**  
**Dimensiuni:** 700 x 350 x 200mm.

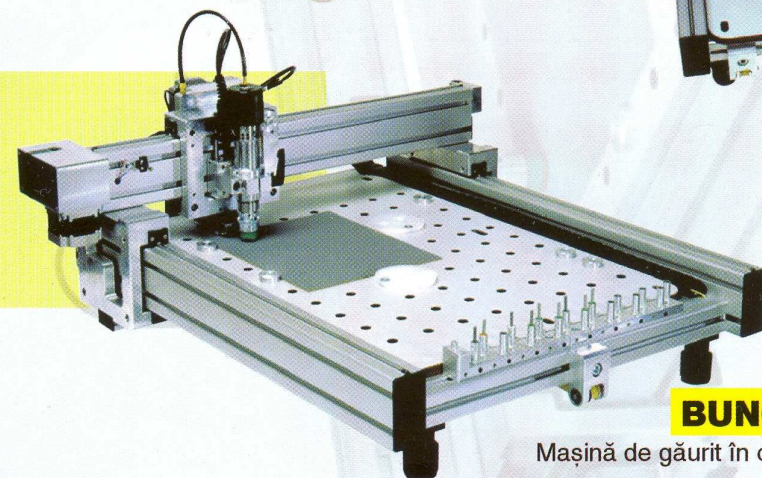
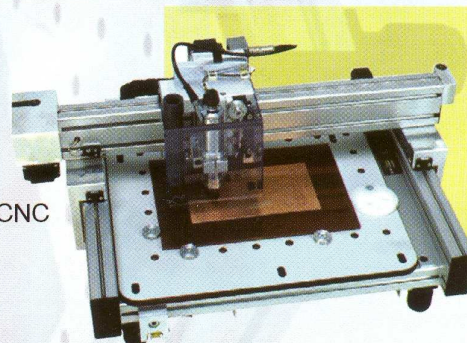


### FILMSTAR

Fotoplotter

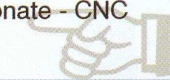
### BUNGARD CCD/2

Mașină de găurit în coordinate - CNC



### BUNGARD CCD

Mașină de găurit în coordinate - CNC



### BUNGARD CCD + CCD/2

**Alimentare:** 230V, 50Hz, aprox. 250VA + aspirator;  
**Garanție:** 1 an;  
**Dimensiuni (mecanice) CCD:** (lățime x lungime x înălțime)  
 70 x 80 x 30cm;  
**Dimensiuni maxime ale mesei:** 325 x 495 x 35 mm;  
**Greutate:** aprox. 35kg;  
**Dimensiuni (mecanice) CCD/2:** (lățime x lungime x înălțime)  
 70 x 55 x 30cm  
**Dimensiuni maxime ale mesei:** 280 x 325 x 35mm;  
**Masă:** aprox. 23kg;

**Opțiuni disponibile:**  
 Husă de protecție, CAM / soft de realizare a izolațiilor,  
 monitor + cameră, dispozitiv de răcire pentru rutare  
 în aluminiu, compresor.

**Prescurtări:**  
**MTC** = Schimbare manuală a burghiului;  
**ATC** = Schimbare automată a burghiului.

# SUMAR

|  |           |   |            |
|--|-----------|---|------------|
| <b>Editorial .....</b>   | <b>4</b>  | <b>Releu de avarie .....</b>  | <b>.31</b> |
| <i>Amintiri din istoria radioului (III)</i>  |           | <i>Protecția unui echipament electric alimentat printr-un montaj intermediu, respectiv releul electronic pentru semnalizarea unei avariile.</i>   |            |
| <b>Target3001! .....</b>   | <b>5</b>  | <b>Comutator Master-Slave .....</b>   | <b>.33</b> |
| <i>Comenzile programului Target3001!, pentru editarea schemelor electrice, proiectarea asistată a circuitelor imprimate și simularea funcțională a acestora.</i>   |           | <i>Realizat pentru rețeaua electrică de 220Vca, montajul condiționează comutarea <b>on</b> a unui consumator (slave) de activarea celuilalt (master).</i>   |            |
| <b>Dezvoltarea unui echipament de monitorizare a temperaturii .....</b>  | <b>9</b>  | <b>Încărcător - descărcător automat pentru acumulatoare Ni-Cd și Ni-MH .....</b>  | <b>.34</b> |
| <i>Realizarea, în mod profesional, a unei fișe tehnice de produs.</i>  |           | <i>Kit dezvoltat de Velleman pentru întreținerea periodică și corectă a bateriilor de acumulatoare tip Ni-Cd și Ni-MH, de formate diferite (R3, R6, 6F22, etc.). Oferă un set de tensiuni și curenti de încărcare de valori diverse (selectabile hardware).</i> |            |
| <b>Amplificator de bandă largă .....</b>   | <b>13</b> | <b>Generarea semnalelor sinusoidale (I) .....</b>   | <b>.40</b> |
| <i>Montaj electronic pentru amplificarea semnalelor mici din banda VHF și UHF, receptionate de antenă, executat cu tranzistoare bipolare.</i>  |           | <i>Theorie și modul de dezvoltare a unei aplicații pentru generarea semnalelor sinusoidale în laborator prin sinteză digitală directă.</i>  |            |
| <b>Modul 1 digit cu LED, adresabil, cu interfață pentru PC .....</b>   | <b>15</b> | <b>Overture™ - Audio power amplifier series .....</b>   | <b>.44</b> |
| <i>Kit electronic produs de Velleman, pentru realizarea panourilor de afișare numerice (tabele de scor, afișarea prețurilor), comandat la distanță pe o interfață serială. Posibilitate de conexiune în cascadă a mai multor module.</i> |           | <i>Circuite integrate amplificatoare audio de putere cu distorsiuni foarte reduse și dinamică mare - LM3886, LM4766 și LM4780.</i>  |            |
| <b>Experiente cu... Înaltă Tensiune (I) .....</b>  | <b>18</b> | <b>Service GSM .....</b>  | <b>.45</b> |
| <i>Demonstrații cu tensiuni de valori mari, nepericuloase pentru om (curenti mici!) cu scop didactic sau de divertisment.</i>  |           | <i>Analiza defectului "afișare în mod permanent pe display a mesajului de încărcare baterie, fără încărcător conectat".</i>   |            |
| <b>E-On Line .....</b>   | <b>21</b> | <b>Pagina cu idei .....</b>   | <b>.48</b> |
| <i>Amplificatoare audio de putere cu tranzistoare, parte a două, respectiv amplificatoarele de 65W și 300W.</i>  |           | <i>Efecte luminoase cu cluster și testarea rezistenței interne a acumulatorilor de mare capacitate.</i>   |            |
| <b>Detector de vârf .....</b>  | <b>25</b> |   |            |
| <i>Semnalizarea depășirii unui prag valoric de către semnalul audio.</i>   |           |   |            |

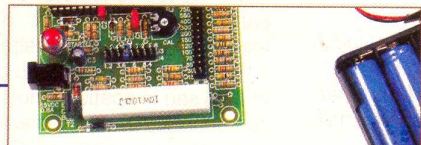




Foto:

Heinrich Rudolf Hertz

**A**pariția linilor telegrafice în și între diverse țări au impus norme și metodologii de exploatare, întreținere și, în special, împărtirea beneficiilor. În 1850 se stipulase un acord între Prusia, Austria, Bavaria și Saxonia care a și dat nastere societății Austro-German Telegraph Union, la care au aderat și alte state germanice, iar în 1852 și Olanda. Aici a fost oficial adoptat sistemul de transmisie Morse, iar costul unei telegrame era proporțional cu distanța. Această experiență a influențat și alte state și în 1855 se creează West European Telegraph Union între Franța, Belgia, Elveția, Regatul Sardinia și Spania, după care alte 11 state aderă la această uniune.

Acestea se întâmplau când Franța era condusă de Napoleon al III-lea, Anglia de regina Victoria, iar în America se încheiaște războiul de secesiune. Tot 1865 era anul când baronul Haussman începea reurbanizarea Parisului, prin crearea celebrelor bulevarde și a sistemului de canalizare.

Sub aceste auspicioase novatoare are loc în luna martie 1865 la Paris, o conferință ce urma să armonizeze activitatea celor două uniuni telegrafice. Merită să reamintim că au fost prezenti delegați din: Austria, Marele Ducat Baden, Bavaria, Belgia, Danemarca, Franța, Grecia, Hamburg, Hanovra, Saxonie, Spania, Italia, Olanda, Norvegia, Portugalia, Prusia, Rusia, Elveția, Suedia, Turcia și Wurtemburg.

De la conferință a lipsit Anglia, fiindcă acei societăți de telegrafie erau private.

Tot în această perioadă se fac remarcate invențiile lui David Hughes și Emile Bodot, Dr. Gintl sau Thomas Edison.

Imaginați-vă că o stație telegrafică era plină de cabluri și sârme, de surse de energie electrică, de aparate ostentative și zbârnătoare, iar costurile de întreținere erau mari.

Se credea că s-a ajuns la un apogeu și a rămas în istorie celebra frază "tot ce se poate inventa a fost inventat". Contra acestor preziceri sfârșitul secolului 19 și începutul secolului 20 a fost deosebit de

## Amintiri

# din istoria radioului (III)

Ilie Mihăescu

prolific în domeniul descoperirilor și invențiilor.

Astfel, pe 28 decembrie 1895, la Grand Cafe del Boulevard des Capucines, frații Lumière proiectează primul film.

La Würzburg, în Germania profesorul W.C. Roentgen publică în 1895 celebrul articol "Despre o nouă știință a razelor" - razele X.

În 1903 Pierre și Marie Curie primesc premiul Nobel pentru Fizică pentru studii în domeniul radioactivității, iar în Carolina de Nord la 17 decembrie 1903, orele 10:30 în localitatea Kitty Hawk, Orville Wright, cu al său Flyer, obțin un record pentru permanentă în zbor pe distanță de 40m și o durată de 12 secunde.

Și, atenției într-un spital abandonat din St. Johns-Newfoundland - Canada la orele 12:30 din 12 decembrie 1901 a fost recepționată litera S a alfabetului Morse transmisă din localitatea Poldhu în Comovaglia - Anglia de către Marconi și de asistentul său George S. Kemp.

Ceva traversase Atlanticul, iar acel ceva se numea "telegrafia fără fir" sau se născuse acel ceva care se va numi RADIO. După 11 ani ziarul Times publică un articol extraordinar despre noua invenție Radio, care a ajutat imens la salvarea oamenilor în naufragiul Titanicului.

Dar rădăcinile radioului încep din 1842 când fizicianul Joseph Henry (1797-1878) face cunoscute legile autoinducției. Un pas uriaș a fost făcut datorită lui James Clerk Maxwell (1831-1879) marele geniu al matematicii care în tratatul său Electricitate și Magnetism (1864) exprimă în ecuații matematice, fenomenele electromagnetice care în acea epocă nu erau încă experimentate și demonstate matematic.

Aceste ecuații stabilieau că orice variație în timp sau în spațiu a unui câmp magnetic corespunde, într-un dielectric sau în vid, unei variații a câmpului electric asociat și invers. Se stabilește totodată viteza de propagare a undelor electromagnetice într-un dielectric, ce are permeabilitatea magnetică  $\mu$  și constanta dielectrică  $\epsilon$ , la valoarea:

$$v = \frac{c}{\sqrt{\mu \epsilon}}$$

unde  $c$  este viteza luminii.

Fizicianul german Heinrich Rudolf Hertz (1857-1894) demonstrează în 1887

existența undelor electromagnetice, a căror existență o exprimase teoretic Maxwell în 1864.

Hertz a reușit să producă prin intermediul unui oscilator și a unui fir radiant (antena) radiații electromagnetice sinusoidale cu lungimea de undă de aproximativ 60cm și să le pună în evidență cu un detector cu scânteie, numit "rezonator Hertz".

A demonstrat că aceste oscilații au natură electromagnetică, se propagă, pot fi reflectate, refractate și polarizate.

Cercetările lui Hertz au fost preluate și continuante de Joseph Olivier Lodge și făcute publice în 1894 cu ocazia unei conferințe tinute la Royal Institute - Londra.

Această prezentare a inspirat și pe Alexander S. Popov (1859-1906) docent în fizică al Academiei Militare din Kronstadt și al Institutului de Electrotehnica din Petersburg care a imaginat un dispozitiv pentru înregistrarea descărcărilor atmosferice și nu un receptor ca cel construit și folosit de Guglielmo Marconi.

La 12 martie 1896 face o demonstrație și transmite și receptionează în condiții foarte bune, în Morse, cuvintele "Heinrich Hertz".

Brevetul lui Marconi a fost prezentat la 2 iunie 1896, completat la 2 martie 1897 și acceptat la 2 iulie 1897 și în acest an s-a născut diatriba - cine are prioritarea inventării radioului. În felul acesta marea descoperire nu se atribuie unei singure persoane și se poate afirma cu siguranță că mulți cercetători stimulați de conferința lui Lodge au avut aceleași intuiții. Deci Radio are mulți "tați" și multe "naționalități".

Cert este că aparatelor lui Marconi erau mai perfecționate tehnic și pe această considerare î se atrbuie premiul Nobel pentru Fizică în 1909.

Se știe că Marconi era pasionat de lucrările lui Hertz, Branly, Lodge și Righi, încă de tânăr. Dotat cu o inteligență deosebită și cu un puternic spirit de cercetător, și-a început experiențele în 1895 la Villa Grifone-Bologna.

Primind sprijin financiar, Marconi se mută în Anglia, unde deschide prima companie de telegrafie fără fir în 1897. ♦

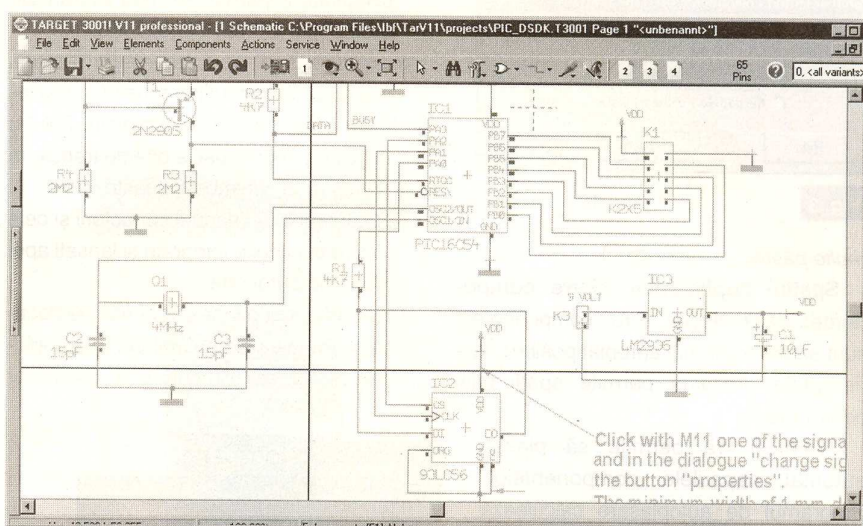
- va urma -

# Target 3001!

## Circuite imprimate

**Lucian Bercian**  
lucian.bercian@conexelectronic.ro

download versiune gratuită la:  
<http://www.ibfriedrich.com>



### 6. Fereste de dialog

#### 6.1. Editarea elementelor selectate

Dialoguri individuale pentru fiecare tip de element.

Partea stângă a ferestrei de dialog: se face clic pe butonul din stânga sus. Fiecare

din figura 1. Se activează butonul "Individual dialogs for each element kind". Acele elemente pe care le folosiți în proiect vor putea fi căutate, celelalte nu (casetele lor vor apăra gri).

Acum căutați "Pads" și apăsați tasta [Return] sau faceți clic cu [M1] pe [OK]. Se deschide dialogul pentru pastile. Verificați "drill hole", setați valoarea dorită și o introduceți cu [OK]. Acum faceți clic cu

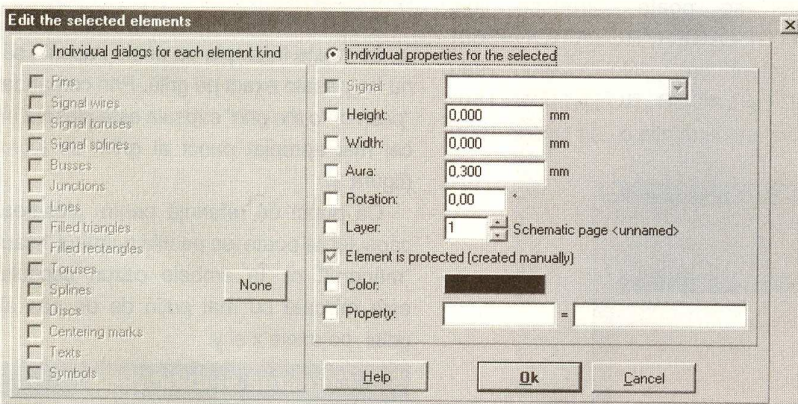


Fig. 1

tip de element folosit în proiect poate fi editat. Alegeti unul și apăsați tasta [Return] sau faceți clic cu [M1] pe [OK]. Utilizând acest dialog puteți edita în proiect numai un singur tip de element sau părți din el. De exemplu, doriți să măriți toate găurile cu diametrul de 0,8 mm la 0,9 mm. Se agăta întregul proiect cu [M1H]. Se apasă tasta [e] de la edit. Apare dialogul

[M11] pe o pastilă din proiect și verificați în dialogul care apare dacă modificarea este făcută corect. Dacă doriți să majorați doar o parte din găurile de 0,8mm se marchează individual cu [Shift]+[M1] și se procedeză la fel ca mai sus. Proprietăți individuale ale

#### elementelor selectate:

Partea dreaptă a ferestrei de dialog: aici se pot selecta proprietăți care aparțin unor tipuri diferite de elemente.

**Atenție!** Dacă faceți o modificare în partea dreaptă toate tipurile de elemente din partea stângă vor fi verificate.

Exemplu: doriți să mutați complet o schemă din pagina 1 în pagina 7.

Selectați complet pagina 1.

Faceți clic pe **Change** în meniu **Edit**.

Faceți clic pe **Individual properties of the selected**.

Căutați **Layer** și introduceți 7 ca **Schematic page**.

Faceți clic pe **OK**.

Faceți clic pe **Go to Page** în meniu **View** și selectați pagina 7.

#### 6.2. Plasarea automată

**Ordinea de plasare (figura 2).** Definiți ordinea componentelor pentru plasare automată. "Fat" este echivalent cu "are

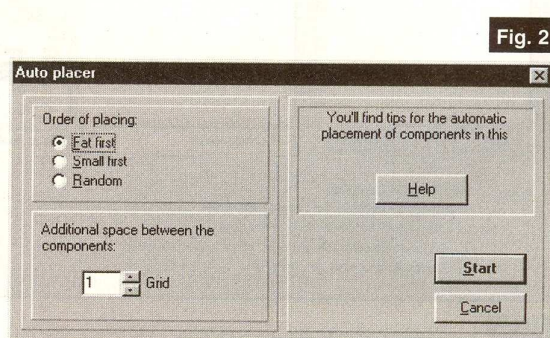


Fig. 2

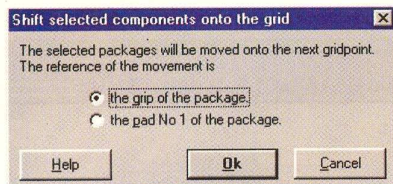


Fig. 3

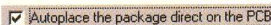
multe pastile".

**Spațiul suplimentar dintre componente:** dacă alegeți zero, componentele sunt așezate cât mai apropiat posibil unele de altele. Aceasta permite spații mici pentru rutare.

TARGET vă permite să plasați automat capsulele componentelor. Programul de autoplasare calculează imediat cele mai scurte trasee dintre capsule. Există două căi pentru activarea programului de plasare automată.

- Se face clic pe instrumentul după desenarea schemei electrice și după definirea conturului circuitului imprimat. După introducerea liniei de dialog "Auto-Placer" toate capsulele sunt plasate corespunzător parametrilor setați.
- sau, activați următoarea comandă din dialogul "Import Component" atunci când importați un simbol în schema electrică.

Capsula este plasată simultan cu simbolul.

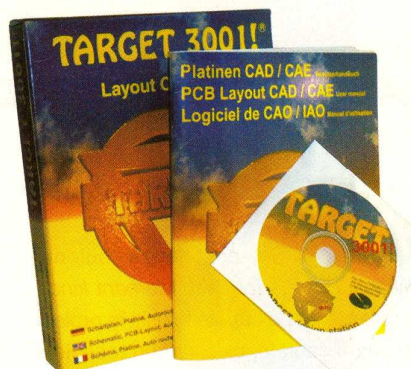


Tineți cont de următoarele aspecte:

- Înainte de lansarea programului de

plasare trebuie să definiți un contur al circuitului imprimat (în mod normal un dreptunghi închis în stratul 23).

- Programul de plasare automată utilizează biblioteca și capsula propuse în proprietățile componentei din schemă. Pentru utilizarea unor capsule diferite trebuie în primul rând schimbați aceste valori.
- Plasați mai întâi manual conectorii și cele mai mari circuite integrate și lansați apoi plasarea automată.
- De asemenea, condensatoarele de decuplare trebuie plasate manual în apropierea pinilor de alimentare ai circuitelor



integrate.

- TARGET încearcă să rotească capsulele cu un pas de 90°. Rotatia se poate restricționa cu "No rotation" sau cu "180° only". În proprietățile componentei se poate introduce linia "AUTOPLACER\_ROTATION=360" echivalent cu "No rotation" sau "AUTOPLACER\_ROTATION=180" echivalent cu rotatia cu un pas de 180°.

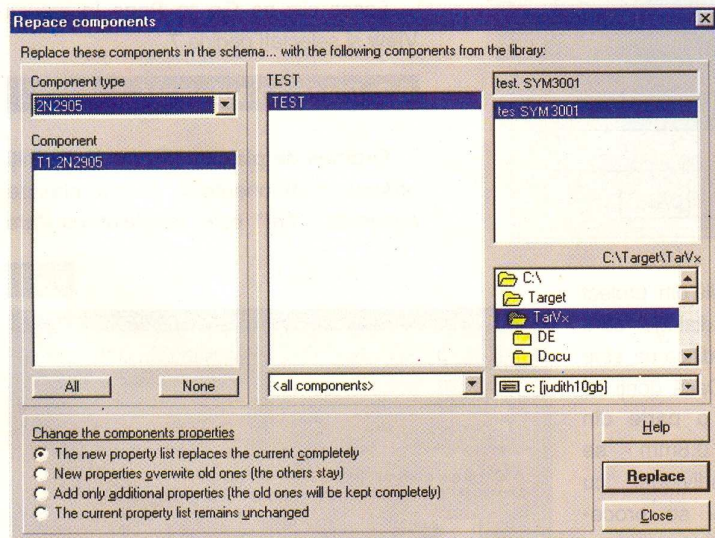


Fig. 4

### 6.3. Trasarea automată

Programul de trasare automată calculează aria lui de lucru în funcție de conturul circuitului desenat pe stratul 23 (sau pe un alt strat definit ca strat de contur) astfel încât este necesar să desenați un dreptunghi cu măsurile reale ale circuitului imprimat. Altfel apare mesajul de eroare **routing area too small!** Trasarea se poate executa pe orice strat setat cu **copper** (simplu strat, dublu strat, multistrat).

Cum se rutează un:

**...circuit imprimat simplă față?**

Se selectează stratul "copper bottom" ca vizibil și toate celelalte straturi cu cupru ("copper top" și "other") ca invizibile.

**...circuit imprimat dublă față?**

Două straturi cu cupru (de exemplu "copper bottom" și "copper top") se fac vizibile și restul straturilor cu cupru se fac invizibile și se selectează funcția lor ca "other".

**...circuit imprimat multistrat?**

Toate straturile cu cupru care urmează să fie utilizate pentru trasare se fac vizibile. Restul se fac invizibile și se selectează funcția lor ca "other".

Trasarea automată va fi descrisă pe larg în capitolul care tratează funcțiile automate.

### 6.4. Așezare pe grilă

Se poate întâmpla ca unele capsule să nu fie plasate exact pe grilă. Prin comanda **"push onto the grid"** capsula este plasată în cel mai apropiat punct al grilei de lucru (figura 3).

Ca punct de referință pentru plasarea capsulei se poate lua pastila numărul 1 sau "mânerul" ei. În ambele cazuri capsula este mișcată cu mai puțin de un pas al grilei pe axele x și y.

### 6.5. Căutarea și înlocuirea componentei

Se selectează în primul rând, în partea stângă a ferestrei de dialog, componenta sau componente care se doresc înlocuite. În partea dreaptă se alege componenta sau componente care le înlocuiesc. În partea de jos se poate selecta modul în care se tratează proprietățile componentelor (figura 4). ♦

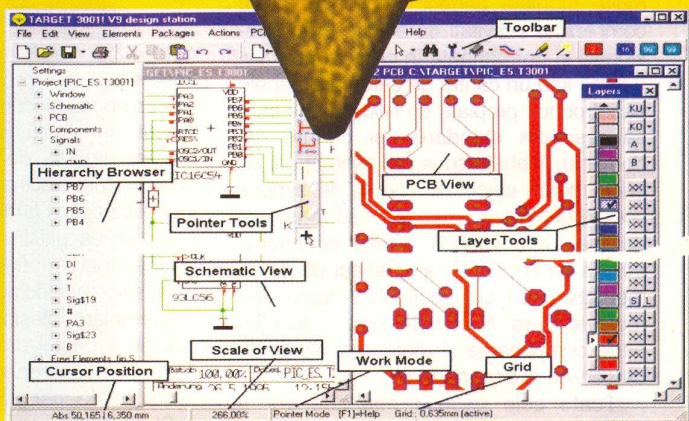
- ◆ Editare scheme
- ◆ Proiectare cablaje
- ◆ Simularea funcționării circuitelor electrice

Bugetul firmei dvs. poate suporta TARGET 3001. Alegeți versiunea de program potrivită aplicațiilor proprii dezvoltate.\*

**Angajații firmei dumneavoastră vor fi mulțumiți, iar economiile de timp și bani sunt importante.**  
Întrebați-vă angajații ce părere au despre TARGET 3001!

Download versiune gratuită la  
[www.ibfriedrich.com](http://www.ibfriedrich.com)

De ce să achiziționați un program mai scump dacă TARGET 3001 oferă aceleși performanțe la costuri mult mai mici?!



Câștigați timp elaborând proiectele dvs. utilizând **TARGET 3001!**

\*Versiuni:

**TARGET 3001! V11 "light"** - 400 pini/ pastile, **42.24EUR** 2 straturi, simulare până la 25 de semnale;

**TARGET 3001! V11 "smart"** - 700 pini/ pastile, **128.45EUR** 2 straturi, simulare până la 50 de semnale;

**TARGET 3001! "economy"** - 1000 pini/ pastile, **473.28EUR** 4 straturi, simulare până la 75 de semnale;

**TARGET 3001! "professional"** - număr nelimitat de pini/pastile, 100 straturi, simulare până la 100 de semnale;

**TARGET 3001! "design station"** - număr nelimitat de pini/pastile, 100 straturi, număr nelimitat de semnale simulate. **2585.34EUR**

Oferte speciale pentru școli și studenți!

\* Prețurile nu includ T.V.A.

prin



**conex**  
electronic

023725 Str. Maica Domnului nr. 48, sector 2, București  
Tel.: 021/242.22.06, 021/242.77.66; Fax: 021/242.09.79

**D**eoarece acest serial s-a dorit o incursiune în multiplele etape ce stau la baza conceperii și realizării unui produs electronic de complexitate relativ ridicată, autori consideră că nu este o chestiune simplistă și lipsită de interes prezentarea metodei de elaborare a documentației tehnice ce trebuie să însotescă orice modul / sistem / echipament dezvoltat în mod profesional.

De la început trebuie să se facă precizarea că acest articol nu se referă la activitatea de electronică din domeniul "hobby", unde orice pasionat poate să își facă, fără griji legate de documentație, unul sau mai multe montaje perfect funcționale, ci la complexele activități de electronică profesională și performantă în care un colectiv, o firmă sau un centru de cercetare trebuie să introducă pe piață un nou produs care să respecte standarde și cerințe din domeniu. Trebuie spus, de asemenea, că orice modul electronic, oricât de simplu, conceput într-o manieră serioasă și destinat unor scopuri diferite de hobby, trebuie să fie însotit de o astfel de documentație care să evidențieze toate elementele care îl caracterizează, funcționale, componente și materiale, elemente de service și depanare, etc.

Toate cele expuse mai sus vor fi evidențiate în cele ce urmează pe echipamentul de monitorizare a temperaturii descris pas cu pas în cadrul acestui serial.

Astfel, primul element pe care trebuie să îl conțină documentația tehnică este o listă (opis, borderou) care să prezinte succint toate documentele componente ale documentației de produs. Lista poate fi prezentată sub forma unui tabel care usual conține următoarele coloane:

|                            |
|----------------------------|
| Nr crt.                    |
| Denumire                   |
| Nr. document               |
| Nr. file                   |
| Format                     |
| Alte indicații, observații |

În tabelul 27 sunt prezentate primele două coloane ale listei de documentație corespunzătoare sistemului *Politemp II*.

După cum se specifică la punctul 1, primul document se referă la placa de cablaj imprimat echipată. În figura 59 este prezentată o filă completă de documentație de produs, în cazul de față chiar cea referitoare la placa echipată (document 1). Deoarece nu se dorește încărcarea unui articol de revistă cu astfel de elemente de grafică, celelalte documente nu vor mai fi încadrate în tabele și nici însotite de

## Dezvoltarea

# unui echipament de monitorizare a temperaturii în procesele tehnologice (IX)

Bogdan Roșu

bogdanrosualex@yahoo.com

Norocei - Dragoș Codreanu

Facultatea Electronică și Tc.

norocei\_codreanu@yahoo.com

indicatoare de proiectare standardizate. Revenind la documentul nr. 1, el este însotit de o filă ce cuprinde condițiile tehnice legate de echiparea plăcii cu componente electronice, lipirea acestora și inspectia optică finală:

- Echiparea plăcii de cablaj imprimat se face conform figurii 59 și layerelor / măștilor neelectrice de inscriptionare și asamblare folosind o instalație de distribuție a pastei de lipit, de montare manuală a componentelor SMD și de lipire cu jet de aer cald de tip FINELINE-SMFL-3000;
- Echiparea se va executa astfel:
  - distribuția pastei de lipit cu ajutorul "unității de distribuție" din compunerea instalației SMFL-3000;
  - culegerea și așezarea manuală a componentelor cu ajutorul capului "pick&place" din compunerea instalației SMFL-3000;
  - lipirea componentelor pe placa de cablaj imprimat cu jet de aer cald, folosind "stația de aer cald" din compunerea instalației SMFL-3000;
- Operațiile de la punctul anterior se execută conform prevederilor cuprinse în "Manualul de utilizare" al instalației SMFL-3000;
- După echiparea plăcii de cablaj imprimat, lipiturile se curăță cu tricloretilenă sau cu alt solvent cu caracteristici asemănătoare;
- Echiparea plăcii de cablaj imprimat se poate executa și cu alte instalații specializate, care să prezinte funcții asemănătoare;
- Inspectia optică a lipiturilor pentru verificarea calității acestora și depistarea defectelor de lipire;
- Fișierele pentru executarea plăcii de cablaj imprimat sunt stocate pe suport magnetic sau optic.

Documentul al doilea este tabelul de componență, sau cum este el cunoscut de publicul larg, lista de componente/materiale pentru aprovizionare. În tabelul 28

este prezentată lista completă, cu precizarea tuturor detaliilor legate de componente electronice și materialele utilizate. Pentru a se evita reclama mascată a unor distribuitori, din tabel lipsește coloana "distribuitor", coloană extrem de importantă în cazul dezvoltării unor produse profesionale, în cantități mari, destinate unei piețe de desfacere largi.

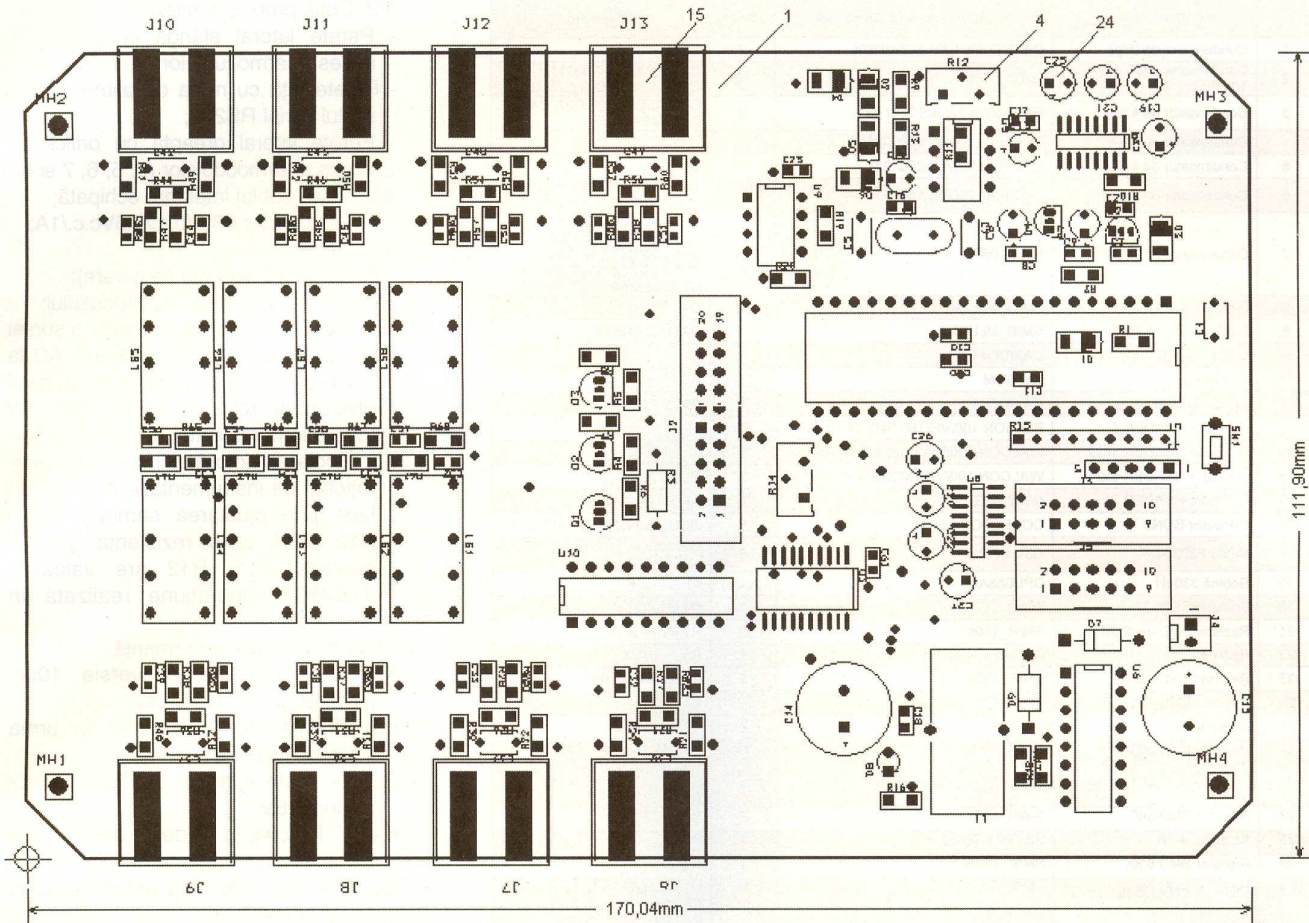
În ceea ce privește punctele 4, 5, 6 și 7 aceste documente sunt file de tipul celei ce descrie placa echipată a produsului *Politemp II*. Fiecare din aceste file are rolul său precis în fluxul de fabricație. Să luăm câteva exemple.

Document 7 Serigrafie față TOP. Fila

| Document 1 | Politemp II            |
|------------|------------------------|
|            | -Placă echipată-       |
| Document 2 | Politemp II            |
|            | -Tabel de componență-  |
| Document 3 | Politemp II            |
|            | -Schema electrică-     |
| Document 4 | Placa cablaj imprimat. |
|            | -Față TOP-             |
| Document 5 | Placa cablaj imprimat. |
|            | -Față BOTTOM-          |
| Document 6 | Placa cablaj imprimat. |
|            | -Detaliu de găurile-   |
| Document 7 | Politemp II            |
|            | -Serigrafie față TOP-  |
| Document 8 | Dischetă 3,5 inches    |
| Document 9 | Caiet de sarcini       |

Tab. 27

Lista documentației sistemului *Politemp II*



|   |                            |           |     |                 |
|---|----------------------------|-----------|-----|-----------------|
| Proiectat   | Bogdan Roșu                |           |     | A4              |
| Desenat   | Florentin Tălpigă          |           |     |                 |
| Verificat   | Norocel Codreanu           |           |     |                 |
| Control STAS  | Anton Cojocaru             |           |     | Data 2004.11.15 |
| Aprobat   | Prof. dr. ing. Paul Svasta |           |     |                 |
| POLITEMP II   |                            |           |     |                 |
| -Placă echipată-  |                            |           |     |                 |
| CENTRUL DE ELECTRONICĂ<br>TEHNOLOGICĂ ȘI TEHNICI DE<br>INTERCONECTARE |                            | M30.B01.0 | 1/6 |                 |
| UPB - CETTI   |                            |           |     |                 |

**Fig. 59****Fila 1/6 Documentație placă echipată**

principală a documentului numărul 7 referitor la documentația serigrafiei față TOP, reprezintă vizual imaginea fișierului de postprocesare a layer-ului de inscripționare, fișier care este utilizat în fluxul de proiectare/producție pentru realizarea filmului / filmelor / mătrișei (în funcție de tehnologia de fabricare) cu ajutorul cărora se realizează sitele serigrafice.

Fila 1/6 din document 7 este prezentată în continuare: rolul acestei file în documentația produsului este esențial în cazul plantării manuale sau semiautomate a componentelor în vederea echipării circuitului imprimat. În cazul echipării automate, cu mașini/roboti specializați în plantarea de componente, documentația

trebuie să fie însotită de fila centrelor de plasare a componentelor și lista exactă a coordonatelor de plasare cât și a rotațiilor aferente.

Imaginea layer-ului Top ce intră în componența documentului numărul 4, (nu vom reproduce aici și fila pentru a evita încărcarea inutilă a articoului) este completată cu elemente de documentare, după cum se vede în cazul nostru cotele circuitului imprimat și poziția originii sistemului de axe de coordonate cartezian relativ la elementele acestui layer.

De asemenea, se poate observa și imaginea layer-ului BOTTOM. De regulă în planșele / fisese de documentație se folosește reprezentarea pozitivă pentru elemente de desen tehnic. În anumite condiții însă, atunci când claritatea/inteligibilitatea desenului este îngreunată mult de multitu-

dinea elementelor reprezentate, sau în cazul prezenței unor hașuri sau zone pline extinse, se poate folosi și reprezentarea negativă, inversul fotografic al imaginii reale. Proiecția negativă trebuie documentată în mod special pentru înțelegerea corespunzătoare a elementelor reprezentate.

În tehnologia electronică apare necesitatea ca în cazul circuitelor imprimate filmele de fabricație să se realizeze în versiunea oglindită pentru layer-ele superioare (de exemplu TOP în tehnologie dublu strat). Pentru aceasta există două posibilități: generarea de fișiere de fabricație oglindite pentru layer-ele superioare sau "oglindirea" în momentul realizării filmului. Starea de oglindire / neoglindire se documentează pentru fiecare fișier de fabricație în parte. Pentru reprezentarea vizuală, în planșe nu se folosește reprezentarea oglindită.

Documentarea layer-ului de găurile se face în mod indirect întrucât acesta nu este un layer în sine ci este compus din două entități: un layer de documentare care conține o serie de simboluri poziționate cu centrele pe coordonatele găurilor și o legendă care face legătura biunivocă între simboluri și diametrele găurilor corespunzătoare și un fișier de găuri în format EXCELLON.

| Nr crt. | Denumire                                      | Nr. desen, standard, tip capsulă | Buc.  | Observații  |
|---------|---|----------------------------------|-------|---|
| 1       | Condensator de 27pF                           | DISC/200X.100/LS.200/.034        | 2     | C5,C1   |
| 2       | Condensator SMD de 100nF                      | SM/C_0805                        | 12    | C2,C3,C8,C9,C10,C11,<br>C16,C17,C18,C23,C28, C61  |
| 3       | Condensator de 470nF                          | RAD/200X.125/LS.200/.031         | 9     | C4,C30,C31,C36,C37, C42,<br>C43,C48,C49   |
| 4       | Condensator de 10µF                           | CPCYL/D.175/LS.100/.031          | 4     | C6,C7,C12,C13   |
| 5       | Condensator de 470µF                          | CPCYL/D.525/LS.200/.034          | 2     | C14,C15   |
| 6       | Condensator de 1.0µF                          | CPCYL/D.200/LS.100/.031          | 8     | C19,C20,C21,C22,C24, C25,<br>C26,C27  |
| 7       | Condensator de 100nF                          | SM/C_0805                        | 24    | C29,C32,C33,C34,C35,<br>C38,C39,C40,C41,C44,<br>C45,C46,C47,C50,C51,<br>C52,C53,C54,C55,C56,<br>C57,C58,C59,C60 |
| 8       | Diodă LL1N4148                                | SMD_MLL34                        | 1     | D1  |
| 9       | Diodă Zener de 3.3V                           | SM/D_MLL34                       | 5     | D2,D3,D4,D5,D6  |
| 10      | Diodă 1N4007                                  | DAX/DO41                         | 1     | D7  |
| 11      | Led verde                                     | LED3MM                           | 1     | D8  |
| 12      | Diodă 1N5819                                  | DAX/DO41                         | 1     | D9  |
| 13      | Conector HEADER 5                             | BLKCON.100/VH/TM1SQSW/W.100/5    | 1     | J1  |
| 14      | Conector HEADER 10x2                          | WALCON.100/VH/TM2OES/W.325/20    | 1     | J2  |
| 15      | Conector HEADER 5x2                           | WALCON.100/VH/TM2OES/W.325/10    | 2     | J5,J3   |
| 16      | Conector HEADER 2                             | NSL25-2G                         | 1     | J4  |
| 17      | Conector CON2                                 | CONECTOR TERM                    | 8     | J6,J7,J8,J9,J10,J11,J12, J13  |
| 18      | Releu F3022-05                                | G5V-DPDT                         | 8     | LS1,LS2,LS3,LS4,LS5, LS6,<br>LS7,LS8  |
| 19      | Bobină 330µH                                  | DPU068A3                         | 1     | L1  |
| 20      | Tranzistor BC337                              | TO92                             | 3     | Q1,Q2,Q3  |
| 21      | Rezistor SMD de 2.2K                          | SM/R_1206                        | 3     | R1,R2,R18   |
| 22      | Rezistor 10Ω                                  | AX/400X.100/.034                 | 1     | R3  |
| 23      | Rezistor SMD 330Ω                             | SM/R_1206                        | 5     | R4,R5,R6,R7,R8  |
| 24      | Rezistor SMD 470                              | SM/R_1206                        | 1     | R11   |
| 25      | Rezistor 4.7K                                 | VRES45                           | 2     | R14,R12   |
| 26      | Rezistor SMD 100K                             | SM/R_1206                        | 18    | R9,R13,R21,R22,R29,<br>R30,R31,R32,R39,R40,<br>R41,R42,R49,R50,R51,<br>R52,R59,R60                              |
| 27      | Rezistor SMD 560                              | SM/R_1206                        | 2     | R10,R16   |
| 28      | Rezistor 4.7K                                 | SIP/TML_900/9                    | 1     | R15   |
| 29      | Rezistor SMD 6.8K                             | SM/R_1206                        | 1     | R17   |
| 30      | Rezistor SMD 1K                               | SM/R_1206                        | 18    | R19,R20,R23,R25,R27,<br>R28,R33,R35,R37,R38,<br>R43,R45,R47,R48,R53,<br>R55,R57,R58                             |
| 31      | Rezistor SMD 1MEG                             | SM/R_1206                        | 8     | R24,R26,R34,R36,R44, R46,<br>R54,R56  |
| 32      | Rezistor SMD 10R                              | SM/R_1206                        | 8     | R61,R62,R63,R64,R65, R66,<br>R67,R68  |
| 33      | Buton SW PUSHBUTTON                           | DTS31                            | 1     | SW1   |
| 34      | Microcontroler PIC16F877                      | DIP.100/40/W.600/L2.050          | 1     | U1  |
| 35      | Senzor de temperatură LM335/TO                | TO-92                            | 1     | U2  |
| 36      | Buffer de date 74HCT273                       | SOG.050/20/WG.420/L.500          | 1     | U3  |
| 37      | Referință de tensiune LM336/TO                | TO-92                            | 1     | U4  |
| 38      | Amplificator operational de precizie INA114AP | DIP.100/8/W.300/L.450            | 1     | U5  |
| 39      | Sursă de tensiune în comutator LM2575ADJ      | DIP.100/16/W.300/L.800           | 1     | U6  |
| 40      | Circuit de interfață serială MAX232           | SOG.050/16/WG.244/L.400          | 2     | U7,U8   |
| 41      | Memorie EEPROM 24C16                          | DIP.100/8/W.300/L.450            | 1     | U9  |
| 42      | Driver comandă relee ULN2803                  | DIP.100/18/W.300/L.950           | 1     | U10   |
| 43      | Cuarț 16.000MHz                               | HC49S                            | 1     | Y1  |
| 44      | Tricloretilenă                                | NI 4657-70                       | 200ml | -   |
| 45      | Pastă de lipit cu granulație medie            | Tip R22D RMA                     | 200g  | -   |
| 46      | Piacă cablaj imprimat                         | M30.B01.1                        | 1     |   |

Tab. 28

## Tabel de componentă Politemp II

În ceea ce privește elaborarea documentației tehnice, de mare importanță în definirea și prezentarea oricărui produs electronic este caietul de sarcini, document ce oferă informațiile fundamentale legate de respectivul produs. În cele ce urmează este dat un exemplu de caiet de sarcini chiar pentru sistemul de măsură Politemp II conceput și realizat practic în cadrul proiectului de diplomă al primului autor și

testat în laboratoarele Facultății de Electro- nica din București.

- Denumire: Echipament de măsură în domeniul managementului termic al modulelor electronice.
- Notare: **POLITEMP II**
- Domeniu de aplicare: Este destinat măsurării temperaturilor în procesul de producție a modulelor electronice.
- Componentă produsului:
  - Panou frontal echipat conținând:
    - Panou frontal;
    - Display alfanumeric;
    - Tastatură cu 12 taste;

## 4.2. Cutie produs conținând :

- Perete lateral stânga cu orificii de acces a termocouplelor nr. 1, 2, 3 și 4;
- Perete față cu mușa de alimentare și portul serial RS232;
- Perete lateral dreapta cu orificii de acces a termocouplelor nr. 5, 6, 7 și 8;
- Placă cablaj imprimat echipată;
- Alimentator 230Vc.a./7,5Vc.c./1A;
- Cablu serial;
- Cablu termocuplu (la cerere);

## 5. Punerea în funcționare a produsului:

- Reglarea tensiunii de ieșire a sursei integrate în comutatie LM2575-AD la valoarea de 5V, se face cu ajutorul divizorului rezistiv extern R1, R2 (operațiune realizată în laborator);

- Reglarea amplificării circuitului operațional de instrumentație INA114, se face prin ajustarea semireglabilului R12 până când rezistența grupării paralele R11, R12 are valoarea 416,486? (operațiune realizată în laborator);

## 6. Caracteristici de performanță

- Rezoluție de conversie 10biți (60,2dB gama dinamică) ;
- Raport semnal/zgomot în urma filtrărilor 73,97dB;
- Timp de achiziție pentru 8 termocupluri 1,8s;
- Frecvența de esantionare 3,906kHz;
- Constanta de timp pentru achiziție pe un canal: 0,2s;
- Gama temperaturilor ce se pot măsura +25°C...+500°C;

## 7. Metode de verificare a caracteristicilor de performanță.

- Caracteristica 6.1.: Procesorul utilizat conține convertor A/D pe 10 biti.
- Caracteristica 6.2.: Verificarea se face vizual pe display-ul echipamentului, în condiții izoterme (temperatura măsurată să fie constantă), prin citirea indicației pe toată gama de măsură și care trebuie să fie de maxim o zecimală de grad semnificativă

$$20\lg \frac{T_{max}}{0,1} = 20\lg \frac{500}{0,1} = 73,97\text{dB}$$

- Caracteristica 6.3.: Verificarea se face folosind un cronometru; echipamentul este configurat să măsoare temperatura pe toate cele 8 termocupluri;

- Caracteristica 6.4.: Condiție intrinsecă. Firmware-ul este astfel realizat încât utilizând un cuarț de 16MHz frecvența de esantionare este 3,906kHz;

- Caracteristica 6.5.: Verificarea se face astfel:

- echipamentul se setează pentru achiziția pe un canal și se aplică o "treaptă" de temperatură pe termocuplu;
- folosind un cronometru se măsoară timpul necesar indicației echipamentului să se modifice de la valoarea inițială la valoarea finală minus 5%;
- constanta de timp se calculează cu

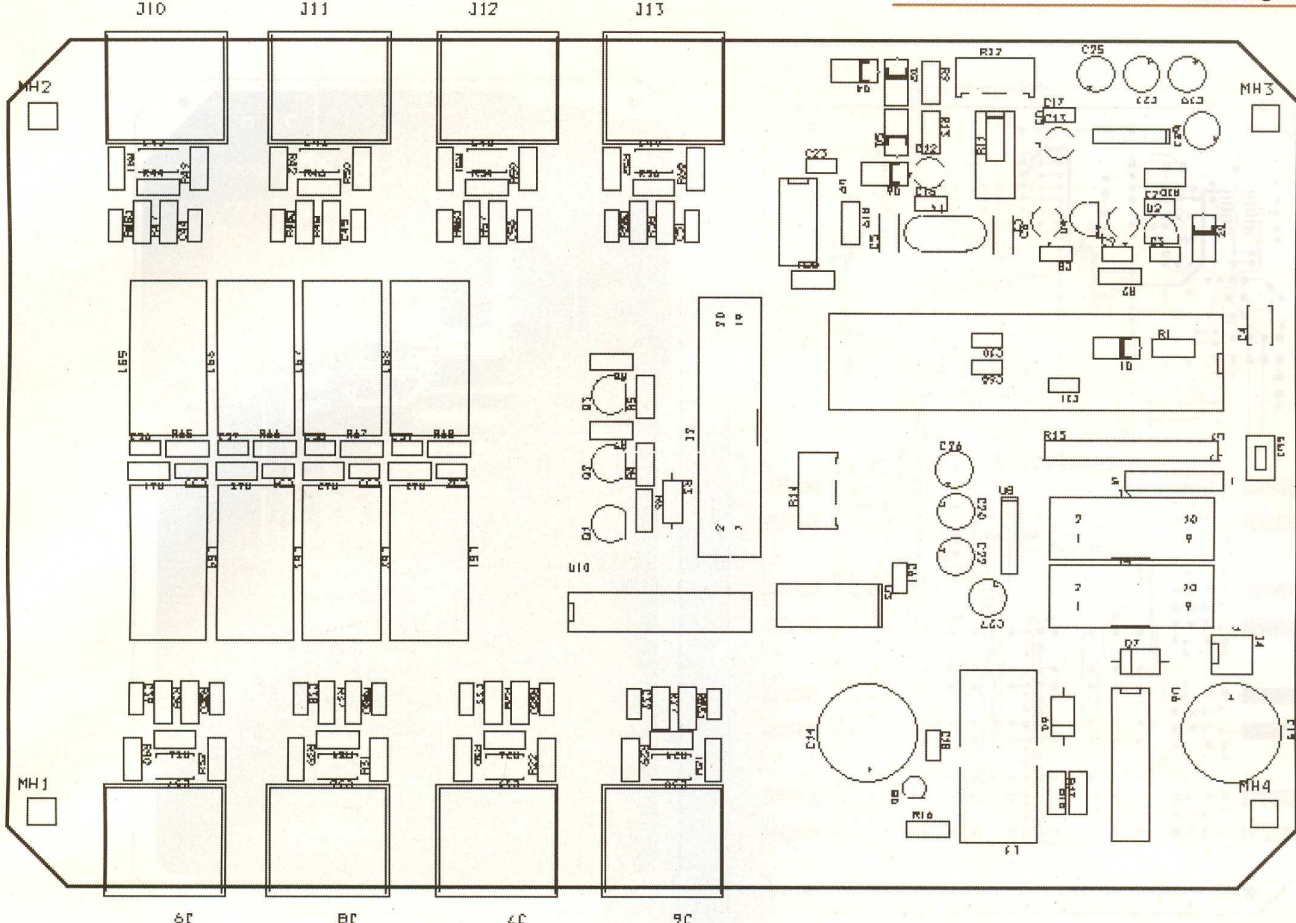


Fig. 60

Fila 1/6 documentație serigrafie TOP

|   |                            |                                 |                 |     |
|---|----------------------------|---------------------------------|-----------------|-----|
| Proiectat   | Bogdan Roșu                |                                 |                 | A4  |
| Desenat   | Florentin Tălpigă          |                                 |                 |     |
| Verificat   | Norocei Codreanu           |                                 |                 |     |
| Control STAS  | Anton Cojocaru             |                                 |                 |     |
| Aprobat   | Prof. dr. ing. Paul Svasta |                                 | Data 2004.11.15 |     |
| CENTRUL DE ELECTRONICĂ<br>TEHNOLOGICĂ ȘI TEHNICI DE<br>INTERCONECTARE |                            | POLITEMP II<br>-Serigrafie TOP- |                 |     |
| UPB - CETTI   |                            | Document 7                      |                 | 1/6 |

relația:

$$\delta = \frac{t_{\text{inregistrat}}}{3}$$

- exemplu: într-un calorimetru apă la 50°C și în altul apă la 100°C. Treapta de temperatură poate fi aplicată indirect prin utilizarea unei trepte de tensiune la intrarea de termocuplu, corespunzătoare unui salt de tip treaptă de temperatură. Această metodă este mai exactă, fiind eliminată inertie termică a termocuplului.

7.6. Caracteristica 6.6.: Verificarea se face cu ajutorul unui termocuplu. Indicația minimă trebuie să fie temperatura ambiantă, adică +25°C, iar cea maximă trebuie să fie +499.9°C;

#### 8. Documentație de însoțire:

- Instrucțiuni de utilizare;
- Certificat de calitate;
- Certificat de garantie;
- Manual de utilizare.

**Magnum C C C****birou on-line** de consultanță, servicii și produse electronice

#### Consultanță și servicii

- proiectare profesională și fabricație de circuite imprimante (PCB) monostrat, dublustrat și multistrat;
- dezvoltare de prototipuri și produse electronice "low-cost", tehnologie SMT;
- management de seminarii științifice/tehnice;
- cursuri de proiectare asistată de calculator (CAE - CAD - CAM).

#### Produse

- produse și materiale pentru circuite imprimante, folii pentru fabricație ultrarapidă (PnP, TTS);
- termometre-higrometre-barometre electronice, stații meteo de apartament, monitoare pentru calitatea aerului, ceasuri cu proiecție laser, cronometre și minicomputere pentru sportivi, pedometre, module GPS, organizatoare tip Palm, PDA, înregistratoare digitale de voce;
- indicatoare de temperatură reversibile și ireversibile, etichete termice, termometre extraplate cu cristale lichide.



- protecție împotriva cainilor agresivi prin module electronice specializate.

info@magnumccc.ro  
Tel.: 0721.21.20.38  
Fax: 021-331.39.72

**www.magnumccc.ro**

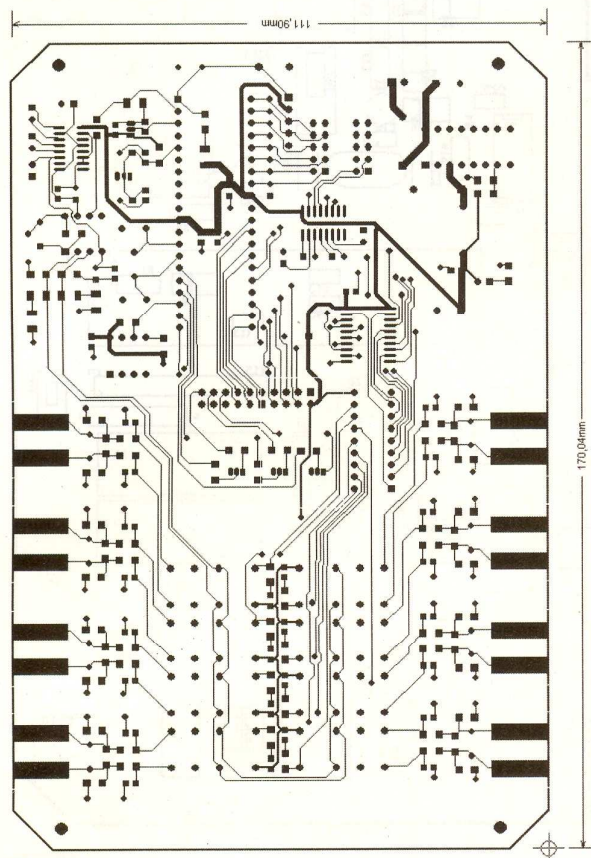


Fig. 61

Imagine de documentație layer TOP

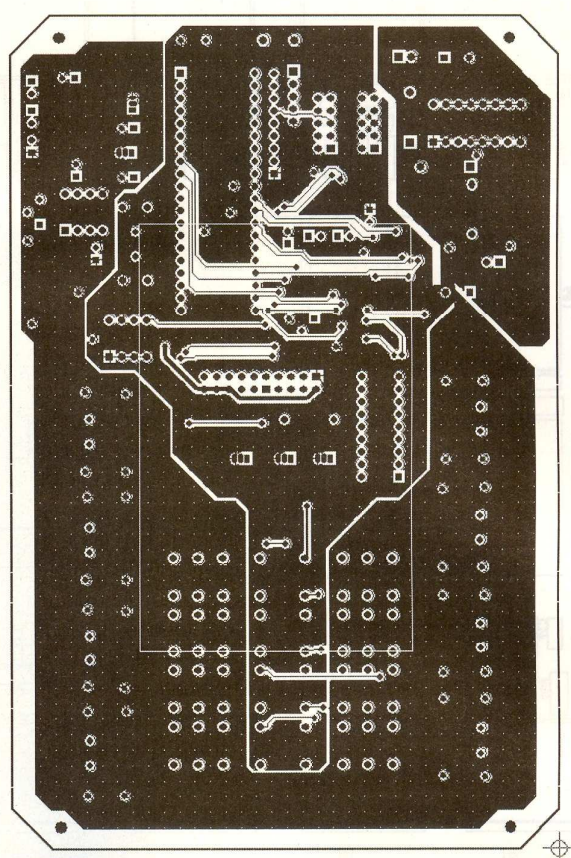


Fig. 62

Imagine de documentație layer BOTTOM

Prezentăm în cele ce urmează o parte a manualului de utilizare.

### Manual de utilizare

#### "Politemp II V1.0"

La punerea sub tensiune a sistemului *Politemp II*, utilizatorul își se vor oferi informații legate de denumirea sistemului, proiectant și versiunea de soft implementată.

Afișarea primelor două ecrane cu informații se face succesiv pe o durată de trei secunde fiecare. Dupa scurgerea acestui timp, sistemul intră în meniul principal.

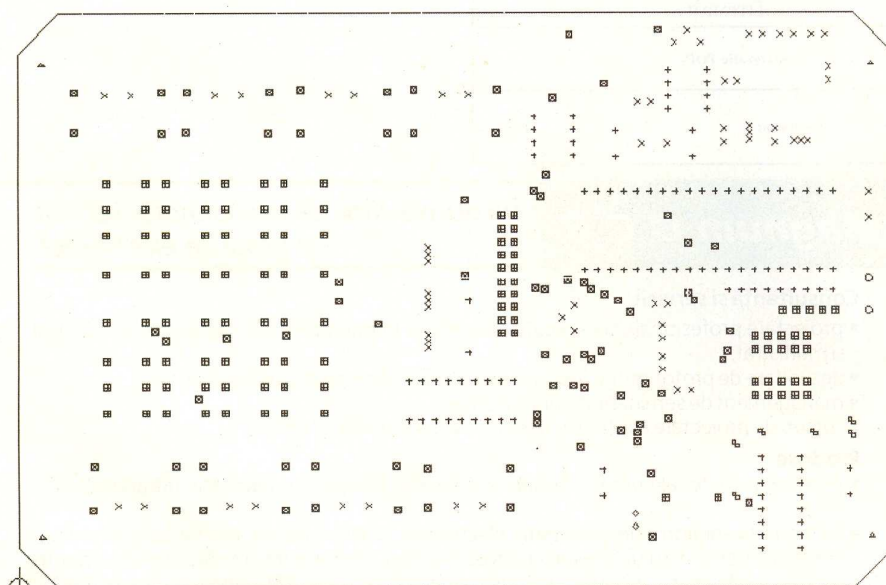
Prin apăsarea tastei "1" se accesează meniul de configurare al sistemului.

În acest meniu se poate selecta între modul de achiziție de temperaturi sau de memorare de temperaturi. Prin apăsarea tastei "1" se intră în meniul de configurare a modului de memorare (logging).

Intrarea în acest meniu este anunțată utilizatorului printr-un mesaj, care rămâne activ timp de o secundă și jumătate.

Configurarea modului logging constă în selectarea numărului de măsurări successive pentru care se memorează o temperatură în memoria nevolatilă EEPROM.

- continuare în pagina 20 -



Legenda

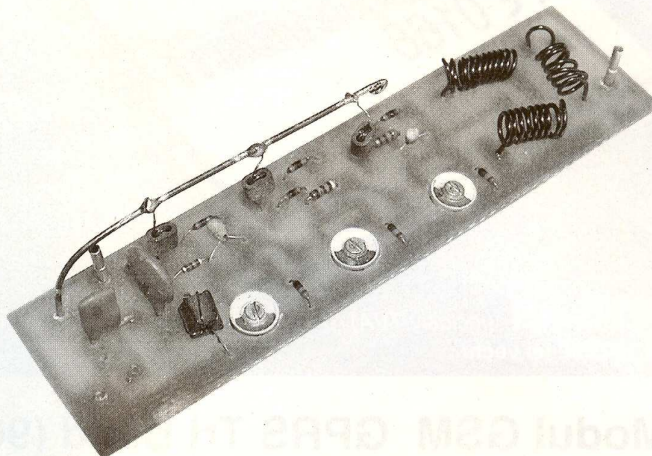
| SYM   | DIAM  | NR. |
|-------|-------|-----|
| □     | 0.028 | 87  |
| ×     | 0.031 | 65  |
| +     | 0.034 | 109 |
| ◊     | 0.037 | 2   |
| ■     | 0.042 | 111 |
| □     | 0.046 | 6   |
| ○     | 0.050 | 2   |
| △     | 0.110 | 4   |
| TOTAL |       | 388 |

Fig. 63

Imagine de documentație layer DRILL DRAWING și legendă

# Amplificator de bandă largă pentru VHF - UHF

Gheorghe Revenco



**Aplicațiile moderne de transmitere a informațiilor, exemplu edificator fiind televiziunea prin cablu dar și măsurările spectrale, impun utilizarea cu precădere a amplificatoarelor de bandă largă și performanțe selective stabile în timpul funcționării.**

Când ne referim la benzile VHF și UHF, după precizările ITU trebuie să se ia în considerare că

frecvența inferioară este la 50MHz, iar frecvența superioară ajunge la 900MHz, acest ecart de frecvențe trebuind asigurat de respectivele amplificatoare. Acest gen de amplificator este prezentat în articolul alăturat care pentru constructorii amatori poate constitui un exercițiu plăcut.

**P**rimul pas îl constituie alegerea tranzistoarelor, care trebuie să aibă frecvența de tranziție cât mai mare și factor de zgomot cât mai redus. Pentru acoperirea benzii propuse s-a recurs majoritar la componente SMD. Plecând de la o schemă destul de comună aplicațiilor de acest gen, s-a realizat un amplificator cu trei etaje, a cărui schemă este redată în figura 1.

Analizând succint schema, observăm că fiecare etaj de amplificare are un dipol RC de reacție negativă de tensiune colector-bază, și o reacție negativă selectivă de curent în emitor, eficiența decuplării rezistorului de emitor crescând cu frecvența. Aceste elemente concură la obținerea unei amplificări relativ uniforme într-o bandă cât mai largă. Funcție de tranzistoarele folosite și de tensiunea de alimentare, această schemă poate suferi

modificări ale valorilor componentelor, dar ca structură de bază o regăsim în literatură în multe aplicații. S-a experimentat montajele după această schemă cu tranzistoare BFR 90, BFR92, BFR93, BFY90 și BFS17 (varianta SMD a tranzistorului BFY90). Dintre acestea, cele mai bune rezultate s-au obținut cu tranzistoarele BFR93, iar cele mai slabe cu BFY90. S-au folosit rezistoare miniatură și condensatoare "chip", SMD. Pentru decuplarea rezistoarelor din emitor se pot folosi condensatoare fixe, sau cum se practică în majoritatea cazurilor, dar s-a constatat că înlocuirea acestora cu condensatoare semireglabile permite o mult mai bună liniarizare a caracteristicii de frecvență în partea superioară a acesteia, complicație ce merită și fi asumată.

- continuare în pagina 28 -

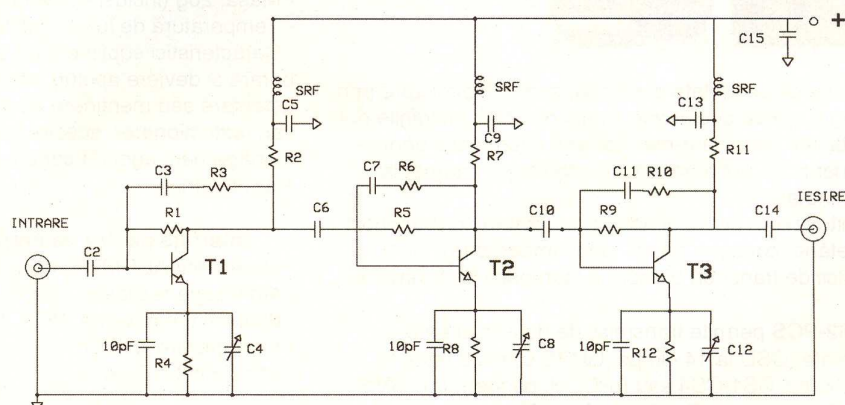
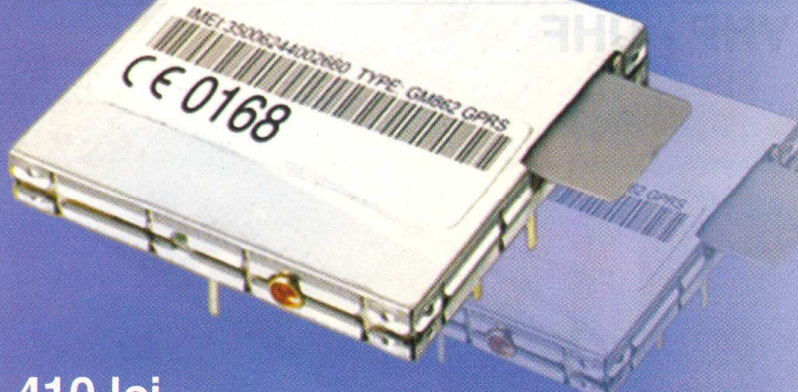


Fig. 1

Schema amplificatorului de bandă largă pentru VHF-UHF (valori componente în text)

## GM862 – PCS



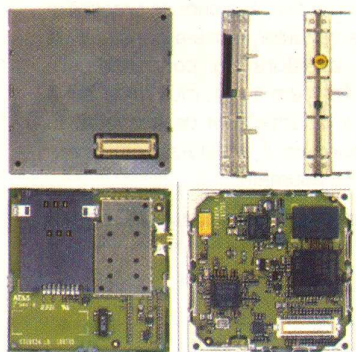
**410 lei** (inclusiv TVA)  
4.100.000 lei vechi

Cu ajutorul facilităților Easy GPRS (protocol TCP/IP, DNS pentru conectare la Internet) și Easy Camera Support (interfață pentru conectarea unei minicamere video) pot fi realizate și transmise imagini (cadre) pe Internet la o locație cunoscută utilizând simple comenzi tip AT.

## Modul GSM GPRS Tri Band (900/1800/1900MHz) cu protocol TCP/IP (Easy GPRS) și interfață pentru cameră video (Easy Camera Support)

GM862-PCS se poate integra și în aplicații de transmisii de date, SMS, fax sau analogice (audio, pentru telefonia).

Serviciul de poziționare globală **GPRS**, cu ajutorul căruia pot fi dezvoltate aplicații de localizare pe Terra facilitează aplicații pentru:



- sisteme de securitate și monitorizare. Monitorizare prin imagini și/sau audiofonic a unui obiectiv. Imaginele pot fi atașate direct la e-mail, iar prin intermediul unor comenzi AT pot fi transmise imediat pe Internet la destinatar;
- monitorizarea unor servicii de curierat rapid (transport coletărie, corespondență, valori importante);
- servicii de transport persoane (companii de taximetre), etc.

GM862-PCS permite transmisii de date în diferite formate (CSD la 14,4kbps, GPRS Class 8 până la 85,6kbps, CS1-CS4 sau BPCCCH, pachet), fax, SMS-uri (SMS MO și MT, CB DRX sau EMS) sau se pot

interfața pentru aplicații audio cum sunt: serviciile de telefonie, apleuri de urgență, operând DTMF și disponând de funcții deja clasice ca Hands-free sau Handset.

### Caracteristici și date tehnice:

- Tri-band 900/1800/1900MHz;
- Putere de ieșire: 2W (clasa 4) pe 900MHz și 1W (clasa 1) pe 1800 și 1900MHz;
- Control prin setul de comenzi AT;
- Tensiune alimentare: 3,4...4,2V, nominal 3,8V;
- Consum: stand-by 3,5mA;
- Consum maxim: 250mA;
- Interfețe: conector 50 pini industrial pentru alimentare, bus-ul de comunicație, 7 porturi I/O, **conector cartela SIM** pe 3V, analogică audio, V.24 serial link;
- Antenă 50Ω;
- Dimensiuni: 6 x 43,9 x 43,9 mm;
- Masă: 20g (inclusiv ecranul metalic);
- Temperatură de lucru optimă 20°C;
- Caracteristici suplimentare specifice serviciilor GSM: barare și deviere apeluri, atenționare încărcare, apel în așteptare sau menținere apel, identificare număr apelant sau restricționarea acestei funcții, grup de utilizatori, management agenda cartela SIM, ceas în timp real, alarme, etc.

### Interfață pentru camera video:

- tip: Agilent ADCM2650 sau compatibilă;
- tehnologie realizare: CMOS color;
- dimensiune imagine: VGA, 640x480 pixeli;
- format ieșire: JPEG;
- sensibilitate: 5lux.

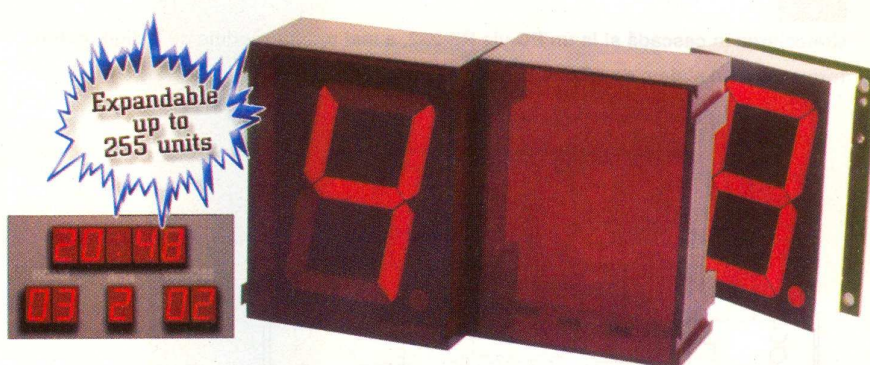


K8063

## Modul 1 digit cu LED

Adresabil, cu interfață serială pentru PC

info: [redactie@conexclub.ro](mailto:redactie@conexclub.ro)  
[vinzari@conexelectronic.ro](mailto:vinzari@conexelectronic.ro)



K8063 - "2 Modular Digit with Serial

Interface", este un kit dezvoltat recent de firma Velleman. Aplicațiile pot fi diverse,

în domeniul sistemelor de afișare electronică, de la tabele de scor pentru

jocurile sportive, până la panouri de afișare în magazine, stații pentru

transportul în comun, stații de alimentare

cu combustibil pentru automobile

(afișarea prețurilor), instituții publice

pentru afișarea bonului de ordine și

multe altele. Aplicația, oferită în kit

neasamblat, conține (la vânzare) DOUĂ

MODULE identice (și carcasa). La

[www.velleman.be](http://www.velleman.be) pot fi descărcate

programme exemplu (plus codurile sursă)

scrise în limbajul Visual Basic 6.

Pentru aplicațiile la care se urmărește afișarea unor informații numerice (scorul la competițiile sportive, prețuri în magazine) pe panouri de afișare, de dimensiuni medii, indiferent de numărul de digiti doriti a fi afișați, Velleman a dezvoltat kit-ul K8063, compus din două module identice, cu element de afișare 1 digit LED de 57mm, adresabile și

cu interfață serială pentru conectarea la un port COM al unui PC.

Conexiunea serială este implementată fizic pe două fire și utilizează protocolul RS-232.

Protocolul de comunicație este independent de platforma utilizată; se poate utiliza orice calculator cu port COM disponibil și care utilizează orice sistem de

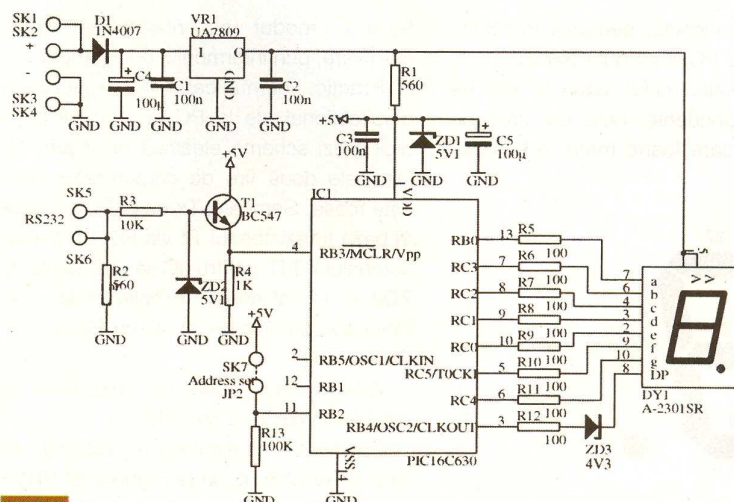


Fig. 1

Schema electrică a montajului (a unui singur modul). Este bazată pe un µC PIC16C630.

Soft-ul din acesta nu se oferă gratuit, fiind proprietatea firmei Velleman. Kit-ul se poate achiziționa de la Conex Electronic, neasamblat.

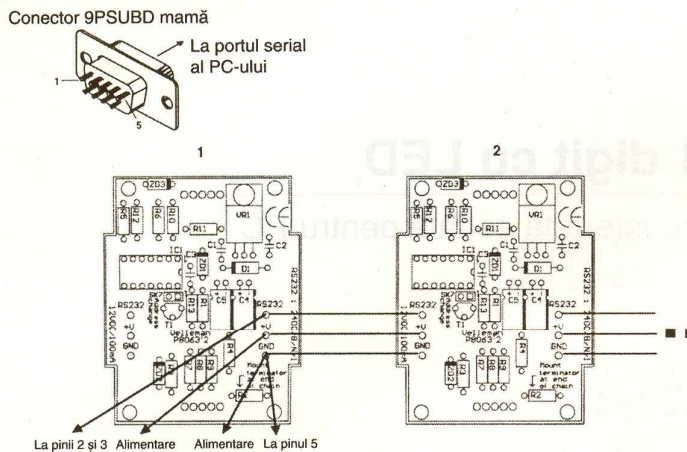


Fig. 2

**Conecțarea în cascadă și la un PC via RS-232, a mai multor module cu 1 digit, pentru formarea unui sistem de afișare complex**

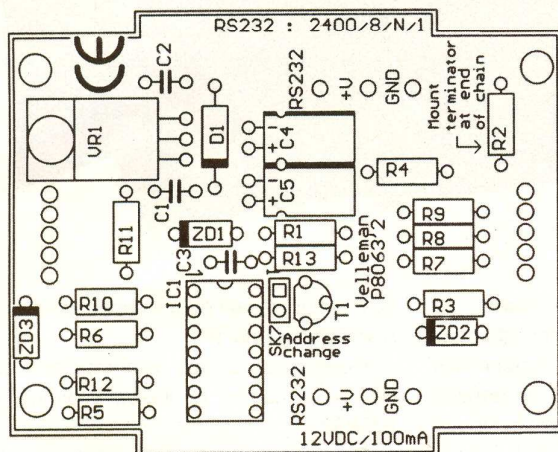


Fig. 3

**Desenul de amplasare a componentelor pe cablaj (un singur modul cu 1 digit)**

programare cunoscut, pentru a transmite comenzi de la PC la modulul K8063.

Pot fi adesate astfel, până la 255 de module independente, care pot crea un sistem de afișare foarte mare. Adresarea

fiecarui modul se realizează (fizic hardware, prin intermediul unui jumper).

Practic, comunicația se realizează unidirecțional, de la PC la modulul cu 1 digit (vezi schema electrică din figura 1). Din cele două fire de comunicație, una este masa. Semnalul Tx de la PC sosită în baza tranzistorului T1 via R3. Formarea semnalului TTL pentru µC se realizează cu ZD2 și T1, alimentat în colector la +5V. Pinul de comunicație al uC cu PC-ul este RB3 (pin 4).

Adresa unui modul se selectează la pinul RB2, din jumperul SK7.

Specificăm că alimentarea afișorului se face la 9V obținuți de la regulatorul VR1 - uA7809, iar cea a µC la +5V, de la stabilizatorul parametric cu diodă Zener (R1 - ZD1), care reduce tensiunea de 9V.

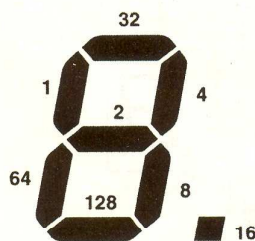


Fig. 4

**Comenzi pentru activarea segmentelor afișorului (comanda "B"-Byte Comand, vezi tabel)**

## Specificații tehnice

- afișor LED 1 digit (șapte segmente) "jumbo", de 57mm, culoare roșu;
- livrare cu casetă (carcasă);
- modulul se adresează fizic (hardware), permitând realizarea de sisteme de afișare complexe (conectate în cascadă);
- programare și control prin interfață serială RS-232;
- testat în practică pe o distanță de comunicație pe fir de până la 50m (pe cablu cu 4 perechi torsadate - UTP);

- optional, se poate utiliza modulul PCUSB6 pentru comunicația pe USB.

## Date tehnice

- tensiune de alimentare: 9-12Vcc, consum 120mA/modul (afișor);
- interfață RS-232: 2400baud/8biți de date, fără paritate, un bit de stop;
- dimensiuni: 74 x 58,5 x 32mm.

## Observații la realizarea practică

După montajul componentelor în ordinea normală (rezistoarele întâi, apoi diodele, condensatoarele nepolarizate, și.a.m.d.), trebuie acordată o atenție deosebită rezistorului R4 (vezi figura 1 - schema electrică, figura 3 - desenul de amplasare). Acesta se montează NUMAI pe modulul capăt de linie din sistemul de module conectate în cascadă. Astfel, de exemplu, dacă sistemul este compus din patru module (sistem de afișare cu 4 digits), R4 nu se montează pe primele trei module (primii trei digits), ci numai pe ultimul modul, corespunzător modulului "n" (vezi figura 2 - conectarea în serie a mai multor module și a interfeței seriale RS-232 pentru PC).

Atenție se va acorda și la setarea adresei unui modul, din jumperul SK7. Fiecare modul trebuie setat cu o adresă.

## Testarea montajului

Un singur modul se alimentează la 9-12Vcc, 150mA. La alegerea sursei de alimentare trebuie să se ia în calcul consumul cumulat. De exemplu, pentru 5 unități, consumul este 600mA.

Când montajul este alimentat, la debut, afișorul va derula secvența: „0123456789” (toate segmentele). Este secvența de inițializare (test). După care, va afișa adresa actuală (default: 1), timp de câteva secunde. K8063 permite acum

Tabel 1

Comenziile software disponibile

| Comandă | Descriere                     | Parametru                  |
|---------|-------------------------------|----------------------------|
| 'E'     | Emergency stop                | Don't care (anything goes) |
| 'D'     | Display address on all digits | Don't care                 |
| 'B'     | Byte-command                  | 0..255 (see drawing)       |
| 'S'     | Strobe command                | Don't care                 |
| 'C'     | Change address                | 0..255 (new address)       |
| 'R'     | Reset all displays            | Don't care                 |
| 'F'     | Force address                 | Don't care                 |
| 'A'     | Send ASCII                    | 32,48..57 (blank, 0..9)    |
| 'P'     | Decimal point                 | 0 or 255 (OFF / ON)        |
| 'I'     | Intensity control             | 0 or 255 (BRIGHT / DIM)    |

setarea adresei individuale din SK7 (de la 0 la 19). Adresele de la 0 la 9 acestea sunt afisate în clar, cele de la 10 la 19 sunt afisate cu punct după digit, respectiv 10 cu 0.. sau 19 cu 9..

Peste 20 de adrese se pot configura numai din PC.

### Comenziile software din PC

pentru unul sau mai multe

module K8063

Pentru a afișa corect informațiile dorite de utilizator, un modul K8063 trebuie să primească de la PC date corecte. Cuvântul de comandă transmis de PC constă din 5 bytes, astfel:

- octet 1: chr\$(13) - informează µC că sesesc date;
- octet 2: adresa modulului (de la 0 la 255; de specificat că setând adresa "0" se accesează toate modulele din sistem);
- octet 3: comandă (a se studia tabelul de comenzi - tabelul 1);
- octet 4: parametru (majoritatea comenziilor necesită un parametru, vezi tabelul comenziilor);
- octet 5: sumă de control (verificare); complementul lui 2 a celor 4 bytes, respectiv "256 - (octet 1+octet 2+octet 3 +octet 4) MODULO (256)".

Prezentăm succint comenziile disponibile și parametrii respectivi (octet 3 și 4).

Comanda "E" reprezintă întrerupere de urgență, toate afișoarele sunt stinse.

Comanda "D" afișează adresa tuturor digitilor. "B"-ul comută *on* segmentele afișorului cu 7 segmente; parametrul este SUMA valorilor individuale a celor șapte segmente activate conform figurii 4 (exemplu: cifra 7: 7 → 32+4+8 =44). "S", comanda de validare, Strobe, se execută după o comandă "B", "A" sau "P", pentru

reinițializare. Pentru schimbarea adresei unui modul se utilizează comanda "C"; setează adresa dorită din SK7 și se așteaptă răspunsul la comanda de schimbare adresă primită de K8063; dacă comanda s-a executat corect se scoate SK7.

Comanda "F" forțează doate modulele la adresa 1. Pentru a transmite coduri ASCII spre modul și a afișa (pe altă cale) cifrele de la 0 la 9 (0 = 48 în ASCII → 9 = 57 ASCII, 32 ASCII stingă display-ul).

Pentru controlul punctului zecimal al afișorului se utilizează comanda "P" (activare prin comanda 255, dezactivare prin 0). Controlul intensității luminoase a segmentelor LED ce formează display-ul se face prin comanda "I" (0 luminositate maximă, 255 minimă).

*Exemplu:* afișează 0 pe toate modulele K8063 care sunt setate cu adresa 1; execută o comandă tip "A" și alimentează adresa 1, apoi execută o comandă de validare tip "S" (Strobe). Datele care trebuie transmise de la PC către modulele K8063 conectate în cascadă pe conexiunea serială sunt:  
 chr\$(13) - inițializare și o informare că urmează a se primi date;  
 chr\$(1) - adresa 1 (datele vor merge către toate modulele cu adresa 1);  
 chr\$(65) - "A", comandă ASCII (comandă tip "A", urmată de un parametru pentru

afișare...);

chr\$(48) - valoarea 0 în ASCII (48, parametrul pentru comanda precedentă "A", pentru afișarea cifrei 0);

chr\$(129) - suma de control pentru verificarea datelor: complementul lui 2 pentru cei 4 octeți precedenți);

chr\$(13) - comandă de reinicializare (vin alte date!);

chr\$(8) - nu are importanță (neasignată);

chr\$(83) - comandă tip "S" (validare afișare cifra 0, Strobe);

chr\$(151) - suma de control pentru verificarea ultimelor date (complementul lui 2 a celor 4 octeți precedenți).

### Important

De pe site-ul producătorului, [www.velleman.be](http://www.velleman.be), pot fi descărcate o serie de exemple cu programe scrise în Visual Basic 6, care pot constitui un bun ghid pentru realizarea programelor proprii. Codurile sursă ale acestora sunt disponibile.

Notă:

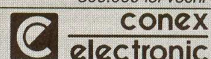
1. Chr\$(x) reprezintă caracterul ASCII introdus de la tastatura PC-ului.

2. La achiziționare kit-ul conține două module identice cu afișor 1 digit LED de 57mm și casetele corespunzătoare. ♦

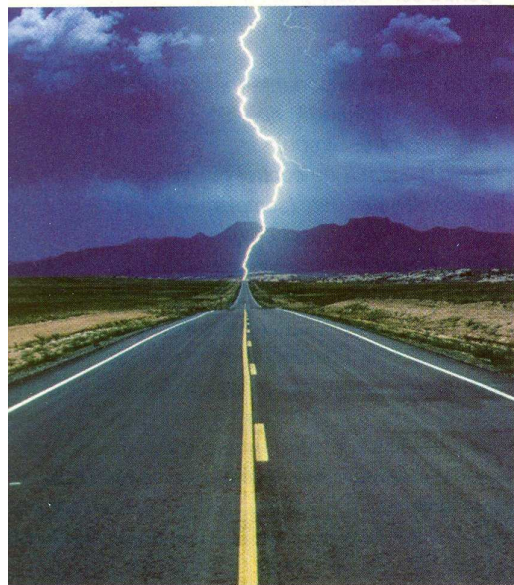
### Info ...

| Cod  | Tip             | Pret (lei)              |
|------|-----------------|-------------------------|
| 7440 | UA7809 (LM7809) | 0,8<br>8.000 lei vechi  |
| 2466 | 1N4007          | 0,1<br>1.000 lei vechi  |
| 3172 | BC547B (BC171B) | 0,12<br>1.200 lei vechi |
| 7798 | Z5V1/1,3W       | 0,25<br>2.500 lei vechi |
| 7796 | Z4V3/0,5W       | 0,1<br>1.000 lei vechi  |
| 9313 | PIC16C63-04/SP  | 30<br>300.000 lei vechi |

... la

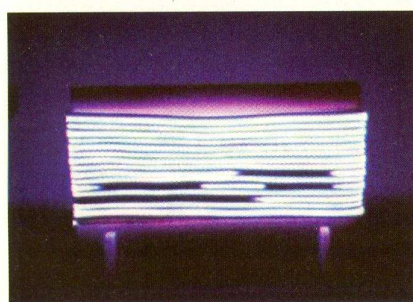






**S**e propune, într-un miniserial inedit, o serie de articole ce au ca scop evidențierea fenomenelor în domeniul efectelor luminoase cu tensiuni înalte, nepericuloase, însotite de lucrări practice senzионаle. Însă, ca la orice început, trebuie să se facă câteva precizări:

- Tensiunea alternativă sau continuă, cu o valoare oricât de mare nu este



Panou electroluminiscent în funcționare

periculoasă pentru om atât timp cât prin corpul acestuia nu trece un curent mai mare de 10mA;

- Printre factorii principali ce contribuie la accentuarea pericolului se numără umiditatea, rezistența de contact, pulbe-

## Experimente cu...

### "Înaltă Tensiune" (I)

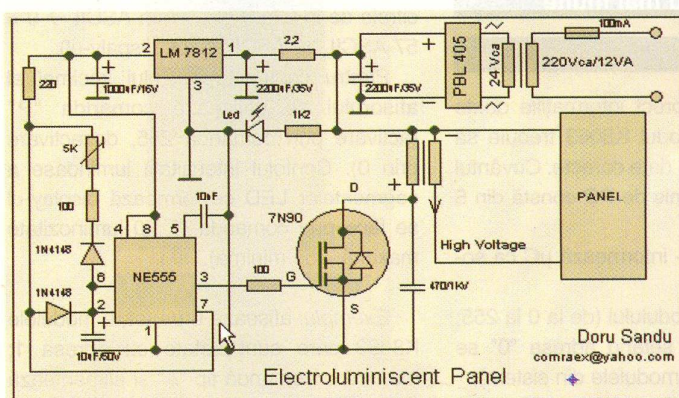
Doru Sandu  
comraex@yahoo.com

Un domeniu deosebit de atractiv însă insuficient de explorat este

acela al efectelor luminoase cu tensiuni înalte.

riile electroconductoră în suspensie, natura organelor parcurse de curent și nu în ultimul rând, afecțiunile cardio-

condensatoare polarizate cu valoarea de 2200 $\mu$ F/35V și un rezistor de 2,2Ω. Tensiunea continuă astfel obținută, având



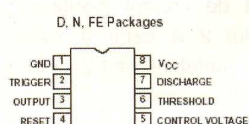
**Fig. 1**  
Schema electrică a experimentului cu I.T.

vasculare de care poate suferi subiectul;

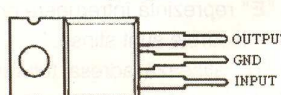
- Experimentele se vor desfășura întotdeauna folosind echipament de protecție adecvat și numai cu participarea personalului de supraveghere specializat și corespunzător dotat, în vederea unei eventuale intervenții.

Având în vedere toate acestea, putem încerca să punem în evidență efectul de electroluminiscență produs de înaltă tensiune, cu frecvență ridicată, prezentat sugestiv în imaginile alăturate. Acest lucru este posibil prin realizarea unui dispozitiv care are la bază schema electronică prezentată detaliat în figura 1. Principiul de funcționare este simplu. Tensiunea de 24V pusă la dispoziție de transformatorul electric de 12VA este redresată, apoi netezită cu un filtru format din două

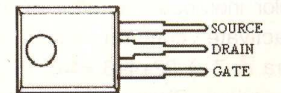
#### NE/SA/SE555/SE555C



#### 7812 Voltage Regulator



#### 7N90 N-channel MOS-transistor



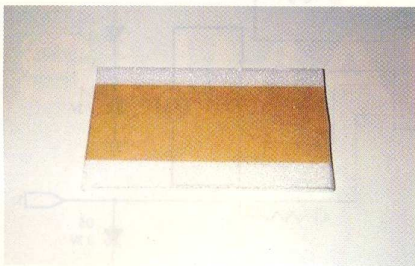


Foto (a)



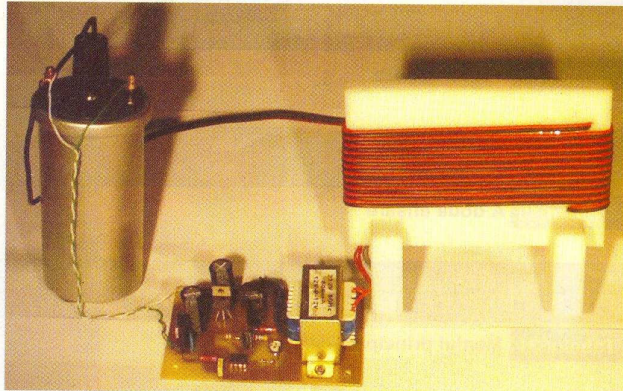
Foto (b)

valoarea de aproximativ 30V, este aplicată direct unui transformator ridicător, o **bobină de inducție clasică**, iar prinț-un stabilizator integrat de 12V, circuitului astabil cu NE555. Acesta generează curentul de comandă cu forma de undă asimetrică și dreptunghiulară necesar tranzistorului de putere MOS cu canal N de tipul 7N90 sau echivalent. Valoarea frecvenței este stabilită de poziția (semi)potențiometrului de  $5\text{k}\Omega$ , iar diodele 1N4148 asigură factorul de umplere diferit

de 50%, simând "platina" unui automobil. Semnificația pinilor pentru componentele principale se prezintă sugestiv în figura 2. Panoului astfel realizat î se fixează suporturi de susținere din același material rigidizate cu adeziv transparent. În continuare se realizează circuitul imprimat pe un suport din sticlotextolit, simplu placat, cu dimensiunile de  $110 \times 70\text{mm}$ , prinț-unul

este dificilă întrucât lucrarea are o complexitate redusă, adresându-se tuturor categoriilor interesate. Înfășurarea secundară, de înaltă tensiune, a bobinei de inducție se conectează la un panou realizat după cum urmează. Pe o bucată paralelipipedică de polietilenă expandată cu dimensiunile de  $140 \times 90 \times 15\text{mm}$  se fixează cu adezivul la exterior, două

Fotografie de ansamblu a experimentului



din procedee cunoscute și având ca model desenul din figură. Plantarea nu este o problemă deosebită dacă se folosesc componente cu gabarit corespunzător, respectându-se amplasarea. Alimentarea de la rețea electrică trebuie făcută numai după o minuțioasă verificare a tuturor legăturilor. Aceasta nu

straturi de bandă scotch dublu lat. Pe această suprafață se bobinează un număr de 10 spire din cablu pentru boxele audio având secțiunea de  $1\text{mm}^2$ .

Capetele superioare ale înfășurării se distanțează la circa  $20\text{mm}$  și se încastrează în panou, cele inferioare constituind conexiunile cu înfășurarea bobinei de înaltă tensiune. Succesiunea operațiilor este prezentată în imaginile **a** și **b** la modul cel mai sugestiv posibil. Mai mult, panoul poate dota laboratorul de fizică al multor școli, unde pe întuneric total, se pune în evidență fascinantul efect de electroluminiscență. Concomitent se pune în evidență și prezența ozonului produs de panou și eliberat în atmosferă, fapt ce-i poate conperi și alte aplicații. Perioada de acomodare a ochilor la vederea pe timp de noapte este obligatorie și face parte din experiment.

Sprijinul necesar, precum și sugestii pertinente puteți obține prin e-mail de la specialiștii redacției precum și direct de la autor la adresa: *comraex@yahoo.com*. ♦

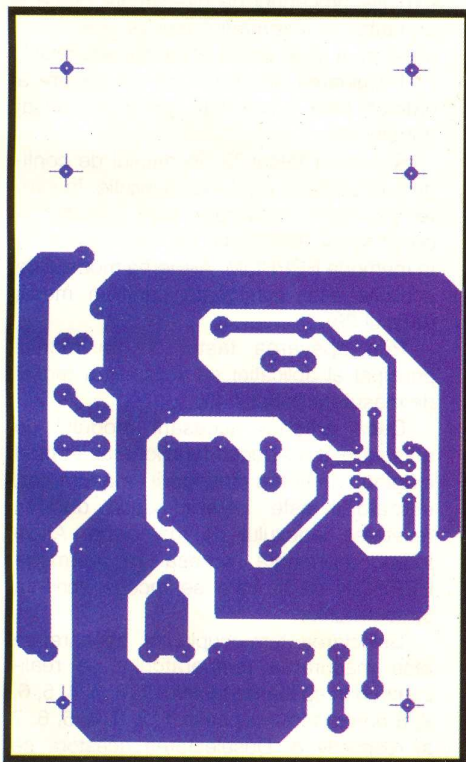


Fig. 3

Circuitul imprimat

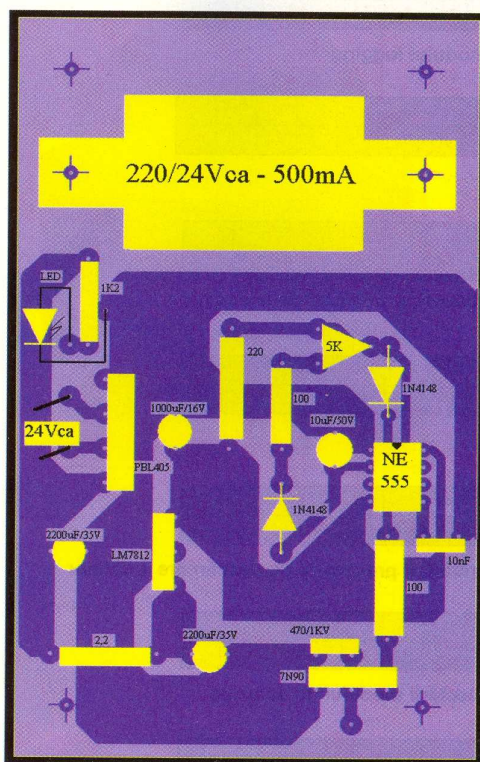


Fig. 4

Poziționarea componentelor

**- urmare din pagina 12 -**

Pe a doua linie a display-ului se afișează succesiv semnificația tastelor în acest meniu:

- 1 - memorarea fiecărei temperaturi măsurate;
- 2 - memorarea la două măsurări de temperatură;
- 3 - memorarea la 4 măsurări de

|   |   |   |   |   |   |   |   |   |   |   |  |  |
|---|---|---|---|---|---|---|---|---|---|---|--|--|
| P | o | l | i | t | e | m | p | I | I |   |  |  |
| B | o | g | d | a | n |   | R | o | s | u |  |  |

**Tabelul 29** Prima afișare

|   |   |   |   |   |   |   |   |   |   |   |   |  |
|---|---|---|---|---|---|---|---|---|---|---|---|--|
| V | e | r | s | i | u | n | e | s | o | f | t |  |
|   |   |   |   | 1 | . | 0 | 0 |   |   |   |   |  |

**Tabelul 30** A doua afișare

|   |   |   |   |   |   |   |   |   |   |   |   |   |   |
|---|---|---|---|---|---|---|---|---|---|---|---|---|---|
| 1 | - | C | o | n | n | f | i | g | u | r | a | r | e |
| 2 | - | M | a | s | u | r | a | r | e |   |   |   |   |

**Tabelul 31** Meniu principal

|   |   |   |   |   |   |   |   |   |   |   |   |   |   |   |   |
|---|---|---|---|---|---|---|---|---|---|---|---|---|---|---|---|
| 1 | - | L | o | o | g | 2 | - | D | e | s | c | a | r | c | a |
| 3 | - | A | c | h | i | z | * | - | I | e | s | j | i | r | e |

**Tabelul 32** Meniu de configurare

|   |   |   |   |   |   |   |   |   |   |   |  |  |  |
|---|---|---|---|---|---|---|---|---|---|---|--|--|--|
| M | o | d | l | o | o | g | g | i | n | g |  |  |  |
|   |   | s | e | t | a | t |   |   |   |   |  |  |  |

**Tabelul 33** Mesajul de anunțare

|   |   |   |   |   |   |   |   |   |   |   |   |   |   |   |
|---|---|---|---|---|---|---|---|---|---|---|---|---|---|---|
| N | r | . | e | s | a | n | t | i | o | a | n | e |   |   |
| 1 | > | 1 | , | 2 | > | 2 | , | 3 | > | 4 | , | 4 | > | 8 |

**Tabelul 34** Meniu de configurare a modului logging

|   |   |   |   |   |   |   |   |   |   |   |   |   |
|---|---|---|---|---|---|---|---|---|---|---|---|---|
| M | e | m | o | r | a | r | e | l | i | a | x | x |
|   |   | e | s | a | n | t | i | o | a | n | e |   |

**Tabelul 35** Mesaj de confirmare

|   |   |   |   |   |   |   |
|---|---|---|---|---|---|---|
| S | t | a | r | t | - | # |
| A | b | a | n | d | o | n |

**Tabelul 36** Mesaj de confirmare a începerii procedurii de descărcare

|   |   |   |   |   |   |   |   |   |   |
|---|---|---|---|---|---|---|---|---|---|
| D | e | s | c | a | r | c | a | r | e |
|   |   |   |   |   |   |   |   |   |   |

**Tabelul 37** Progress bar

|   |   |   |   |   |   |   |   |   |   |
|---|---|---|---|---|---|---|---|---|---|
| D | e | s | c | a | r | c | a | r | e |
|   |   |   |   |   |   |   |   |   |   |

**Tabelul 38** Mesaj de confirmare a terminării procedurii de descărcare a datelor

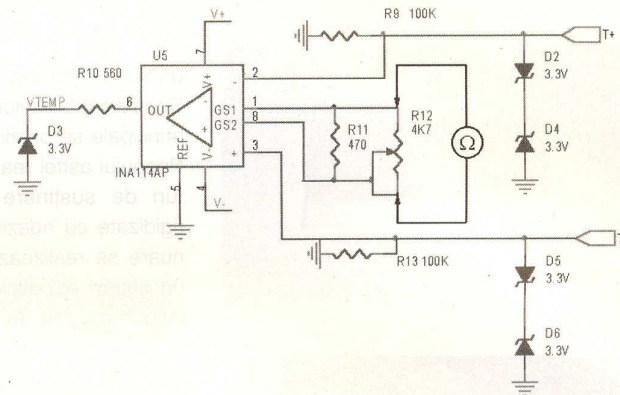
|   |   |   |   |   |   |   |   |   |   |   |   |
|---|---|---|---|---|---|---|---|---|---|---|---|
| M | o | d | a | c | h | i | z | i | t | i | e |
|   |   | s | e | t | a | t |   |   |   |   |   |

**Tabelul 39** Mesaj de confirmare a selectării modului de achiziție

|   |   |   |   |   |   |   |   |   |   |   |   |   |   |
|---|---|---|---|---|---|---|---|---|---|---|---|---|---|
| * | I | e | s | . | l | - | 8 | s | e | l | t | e | r |
| T | e | r | m | . | 1 |   | 2 | 7 | . | 7 | C |   |   |

**Tabelul 40** Meniul de măsurare**Fig. 64**

Reglarea amplificării circuitului operațional  
INA114



- temperatură;  
 4 - memorarea la 8 măsurări de temperatură;  
 5 - memorarea la 16 măsurări de temperatură;  
 6 - memorarea la 32 măsurări de temperatură;  
 7 - memorarea la 64 măsurări de temperatură.

Apăsarea unei alte taste sau a tastei "\*" resezează numărul de măsurări la care se face o memorare, la valoarea implicită 1.

Apăsarea unei taste de la 1 la 7, realizează modificarea acestui parametru conform semnificațiilor afișate și confirarea modificării făcute prin intermediul unui mesaj (tabelul 35).

Meniul de descărcare a temperaturilor memorate la PC pe portul serial RS232 se accesează prin apăsarea tastei "2" în meniu de configurare.

Prin apăsarea tastei "#" se demarează procedura de descărcare a datelor la PC. Evoluția procedurii de descărcare poate fi urmărită prin intermediul unui "progress bar" afișat pe a doua linie a afișajului sistemului.

Terminarea procedurii de descărcare a datelor este confirmată printr-un mesaj (tabelul 38).

Apăsarea tastei "3" în meniu de configurație, setează modul de achiziție, în care temperaturile măsurate sunt trimise pe portul serial RS232 dar nu sunt memorate în memoria EEPROM. Alegerea modului de achiziție este confirmată printr-un mesaj (tabelul 39).

Prin apăsarea tastei "2" în meniu principal al aplicației se accesează modul de măsurare (tabelul 40).

Dacă anterior accesării modului de măsurare, s-a selectat funcționarea în mod logging, înaintea începerii măsurărilor, utilizatorul este întrebat dacă dorește resetarea indexului de memorare. Acest index reprezintă adresa în memoria EEPROM de la care se începe scrierea temperaturilor.

Selectarea termocoplurilor pe care se face măsurarea temperaturilor se realizează prin apăsarea tastelor 1, 2, 3, 4, 5, 6, 7, 8 pentru termocoplurile 1, 2, 3, 4, 5, 6, 7 și respectiv 8. Deselectarea acestora se face prin apăsarea încă o dată a tastei corespunzătoare. ♦

## Electronică On-Line

# Amplificatoare audio de putere cu tranzistoare (II)

Ilie Mihăescu

## Amplificator 65W

Ca elemente esențiale ale acestui amplificator sunt calitățile electrice și simplitatea construcției.

Etajul final este construit cu tranzistoare MOSFET, în tehnologie HEXFET.

Acstea tranzistoare sunt controlate cu tranzistoare bipolare.

Fiind un circuit construit simetric, distorsiunile armonice au valori reduse.

Toate componentele sunt ușor procurabile din magazine. Tranzistoarele Q<sub>1</sub> și Q<sub>2</sub> se aleg cât mai "egale", ca și parametrii electrici, de tipul BC550C;

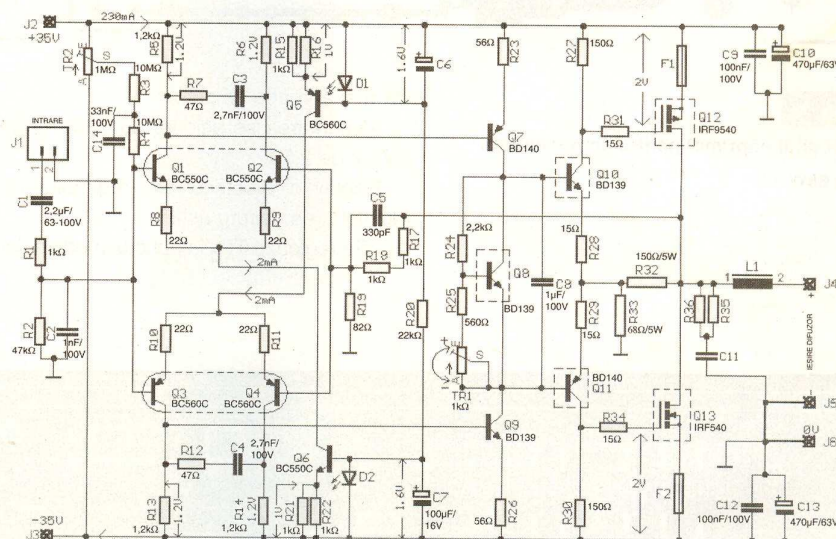


Fig. 1

Schema electrică a amplificatorului de 65W

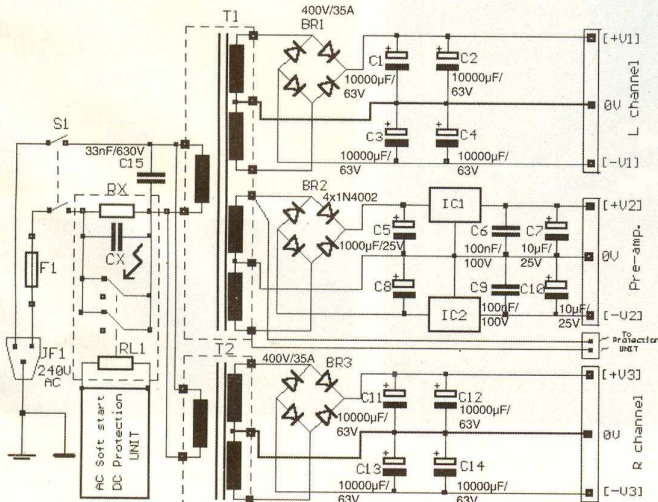


Fig. 2  
Schema electrică a unei surse de alimentare recomandate (completă pentru un sistem)

același procedeu fiind aplicat și la Q<sub>3</sub> și Q<sub>4</sub> unde tipul este BC560C. De simetria acestor perechi depinde calitatea electrică și stabilitatea termică ale amplificatorului. Circuitele R<sub>7</sub>-C<sub>3</sub> și R<sub>12</sub>-C<sub>4</sub> stabilesc banda de trecere la 6,5MHz.

Tranzistoarele R<sub>8</sub>, R<sub>9</sub>, R<sub>10</sub>, R<sub>11</sub> asigură o reacție negativă și stabilesc liniaritatea în banda de frecvențe.

Amplificatoarele diferențiale au asigurată alimentarea în curent constant datorită tranzistoarelor Q<sub>5</sub> și Q<sub>6</sub> ce au ca elemente de referință diodele D<sub>1</sub> și D<sub>2</sub> de tip LED.

Cu semireglabilul TR<sub>1</sub> se regleză curentul "bias" al etajului final și implică montarea tranzistorului Q<sub>8</sub> pe radiatorul de răcire ale tranzistoarelor Q<sub>12</sub> și Q<sub>13</sub>.

Cu TR<sub>2</sub>, R<sub>3</sub>, R<sub>4</sub> se stabileste tensiunea "offset" a etajului final, care trebuie să fie

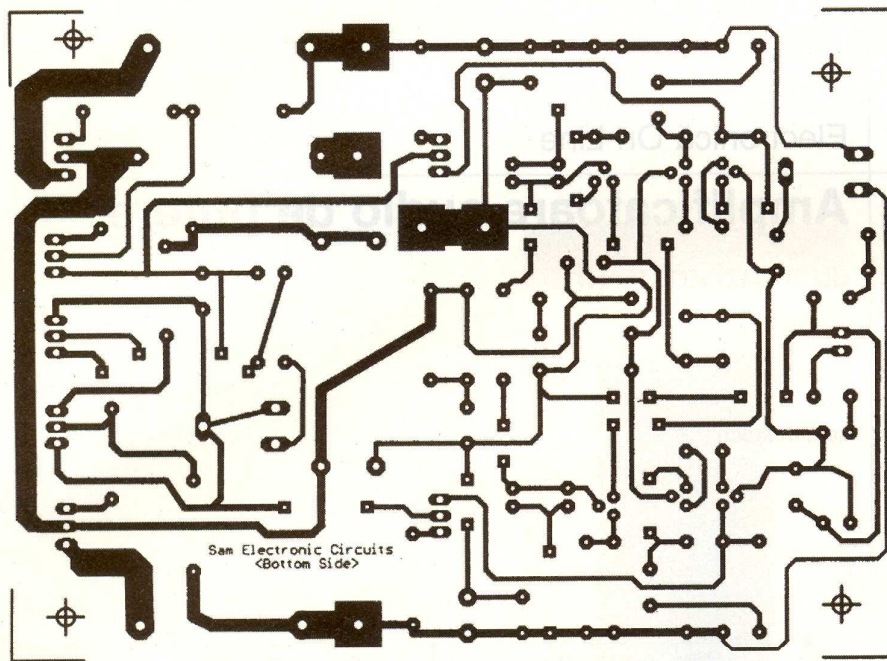


Fig. 3a

Circuitul imprimat pentru amplificatorul de 65W

cât mai aproape de zero.

Alimentarea se asigură cu  $\pm 35V$  și un curent de 2,5A.

Reglajele electrice ale regimului de funcționare decurg astfel:

- Se reglează  $TR_2$  la punctul median, iar

$TR_1$  pentru valoarea maximă a rezistenței. Se montează un voltmetru la  $J4$  și se reglează  $TR_2$  până ce tensiunea ajunge aproape de zero. Conectăm un ampermetru pe scara de 1A, în serie cu alimentarea și reglăm  $TR_1$  ca să existe un consum de 330mA. Amplificatorul reglează apoi curentul la valoarea de 230mA.

Cu aceste reglaje răspunsul în frecvență este 1,5Hz...125kHz cu o nelinieritate de 0...3dB; sensibilitate 1V, impedanță de intrare 48k $\Omega$ , raport semnal-zgomot ~99dB, puterea pe o sarcină de 8 $\Omega$  este 63W.

Bobina  $L_1$  are 6 spire din cupru  $\varnothing 1,5\text{mm}$ , izolat cu bumbac sau PVC și bobinată pe un suport cu diametrul de 16mm.

Având la dispoziție desenul cablajului și dispunerea componentelor pe cablaj, realizarea practică a acestui amplificator devine destul de facilă.

Utilizarea unor componente de calitate dă un plus de siguranță utilizării acestui montaj.

W38 totsoftigna

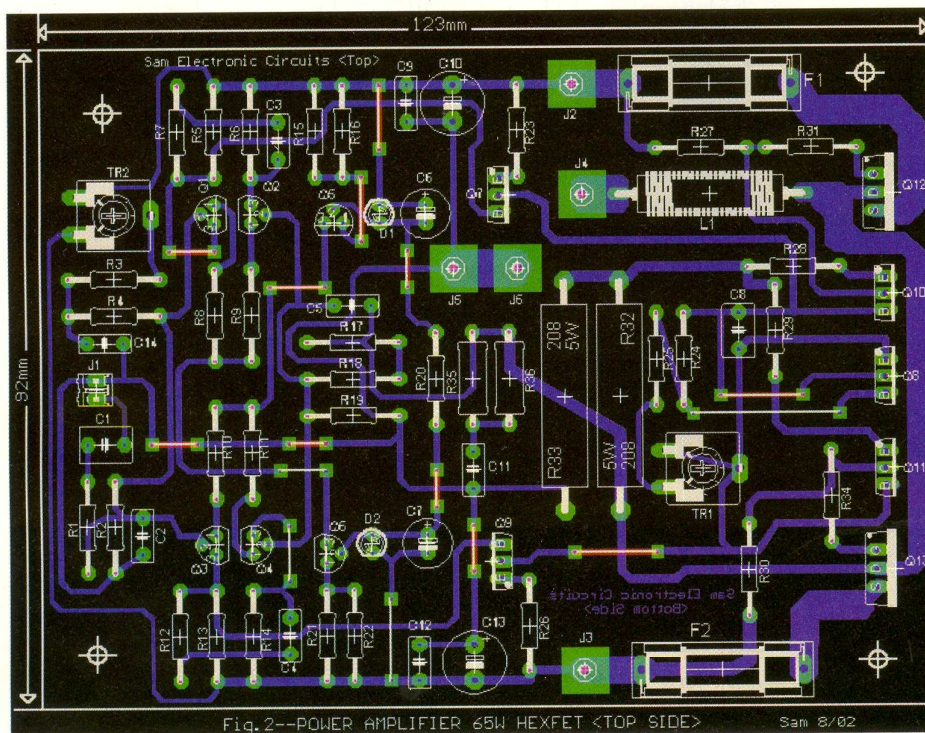


Fig. 3b

Circuitul imprimat și amplasarea componentelor pentru amplificatorul de 65W

### Info ...

| Cod   | Tip             | Pret (lei) |
|-------|-----------------|------------|
| 4232  | IRF9540         | 4          |
| 4227  | IRF540          | 3          |
| 12145 | BD140-10        | 0,8        |
| 11797 | BD139-10        | 0,8        |
| 3172  | BC547B (BC171B) | 0,12       |
| 3173  | BC557B (BC251)  | 0,12       |

... la conex

[www.elkconnect.ro](http://www.elkconnect.ro)

Foli PnP pentru fabricarea rapidă a cablajelor prototip sau de serie mică

Proiectare și execuție circuite electronice

Info: 0722-462817, e-mail: office@elkconnect.ro



**Stație de amplificare  
2 x 350Wrms**

Cod 12024

**899 lei**

8.990.000 lei vechi

**Date tehnice:**

- alimentare: max. 230Vc.a./50Hz;
- putere de ieșire:
  - stereo: 2 x 350Wrms/4Ω sau 2x250Wrms/8Ω;
  - mono/punte: 500Wrms/8Ω;
- distorsiuni armonice totale: <0.04%;
- răspuns în frecvență: 10Hz...40kHz/8Ω;
- factor de atenuare: >200/8Ω;
- dinamică: >30V/μs;
- sensibilitate de intrare ( $\pm 1$ dB): 1,23Vrms;
- indicator cu LED: semnal, nivel, putere, protecție;
- control răcire: automat;
- conectorare: NL-4FC + fișe de conectare;
- dimensiuni: 482 x 95 x 310mm;
- masă: 16kg.



Cod 16360

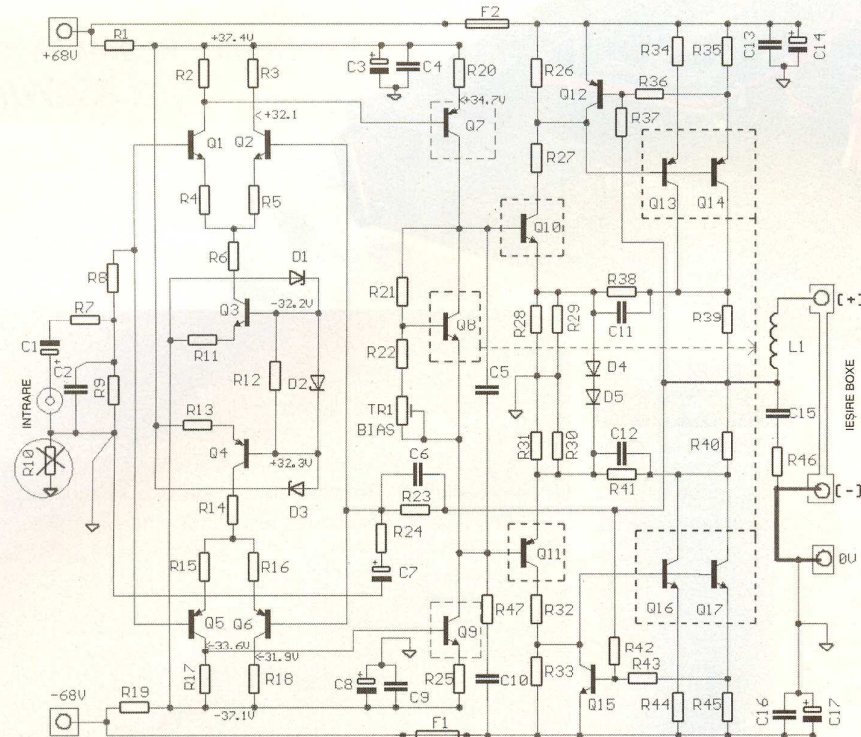
**1.599 lei**

15.990.000 lei vechi

**Date tehnice:**

- alimentare: maxim 230Vc.a./50Hz;
- putere de ieșire:
  - stereo: 2 x 700Wrms/4Ω sau 2 x 500Wrms/8Ω;
  - mono/punte: 1000Wrms/8Ω;
- distorsiuni armonice totale: <0.04%;
- răspuns în frecvență: 10Hz - 40kHz/8Ω;
- factor de atenuare: >200/8Ω;
- sensibilitate de intrare ( $\pm 1$ dB): 1,23Vrms;
- indicator cu LED: semnal, nivel, putere, protecție;
- control răcire: automat;
- conectorare: NL-4FC;
- dimensiuni: 482 x 132 x 435mm;
- masă: 23kg.

**Stație de amplificare  
2 x 700Wrms**



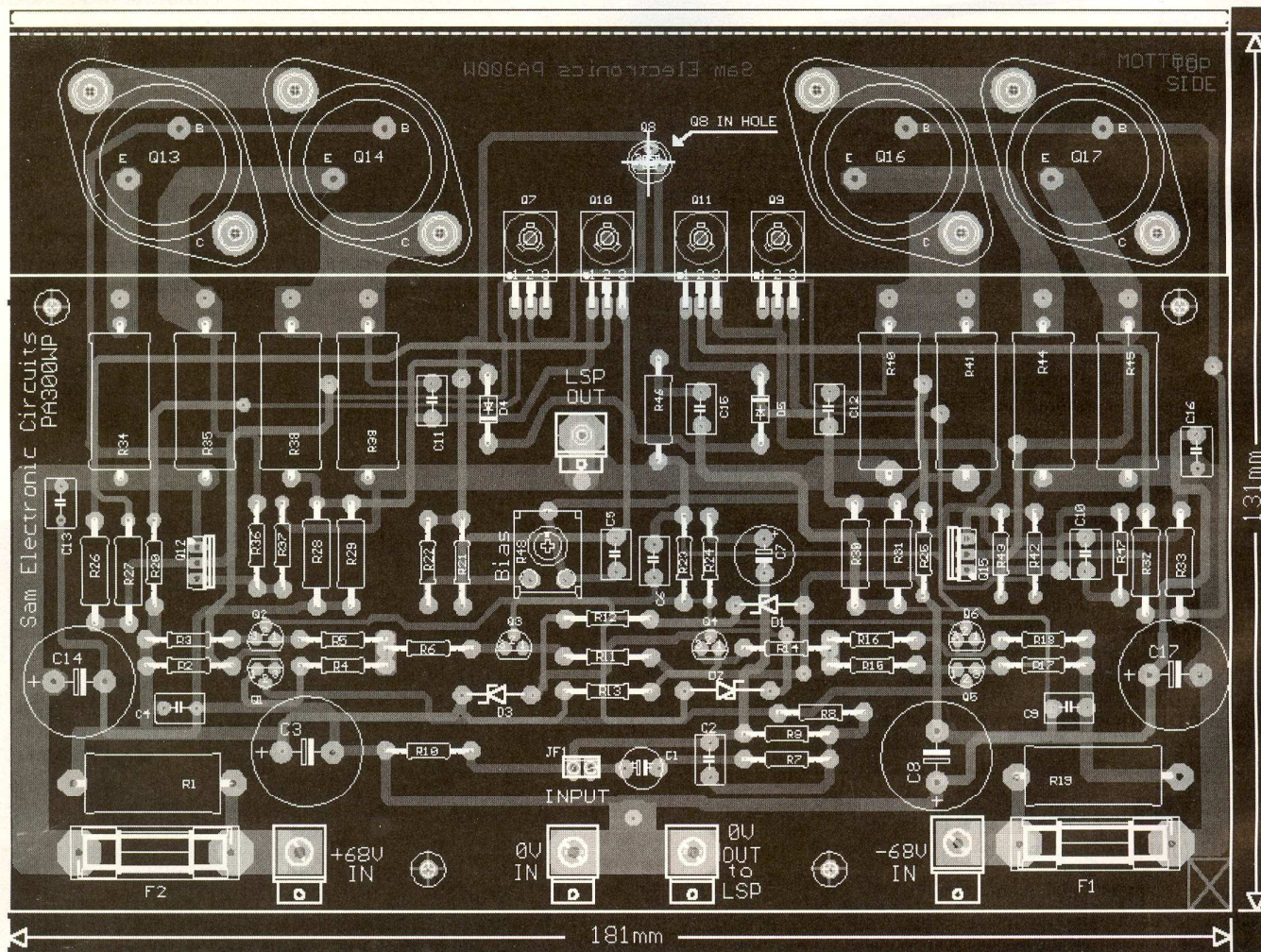
### Lista de componente pentru

### amplificatorul de 300W

$R_{1-19} = 1k\Omega 5W$ ;  
 $R_{34-35} = 0.1\Omega 5W$ ;  
 $C_{14-17} = 100\mu F 100V$ ;  
 $R_{2-3} = 4.7k\Omega$ ;  
 $R_{36-43} = 39\Omega$ ;  
 $C_{15} = 100nF 250V polyester$ ;  
 $R_{4-5} = 22\Omega$ ;  
 $R_{37-42} = 5,6k\Omega 1W$ ;  
 $Q_{1-2-3} = BC547$ ;  
 $R_{6-14} = 10k\Omega$ ;  
 $R_{38-41} = 220\Omega 5W$ ;  
 $Q_{4-5-6} = BC557$ ;  
 $R_{7-8} = 1k\Omega$ ;  
 $R_{39-40} = 0,1\Omega 5W$ ;  
 $Q_{7-11-12} = BD140 sau BC640$ ;  
 $R_{9-23} = 10k\Omega$ ;  
 $R_{44-45} = 0,1\Omega 5W$ ;  
 $Q_8 = BC549$ ;  
 $R_{10} = 10\Omega$  (vezi schema);

**Fig. 2**

Cabajul imprimat și amplasarea componentelor pentru amplificatorul de 300W



R46= 4,7Ω 2W;  
 Q9-10-15= BD139 sau BC639;  
 R11-13= 2,2kΩ;  
 R47= 100Ω;  
 Q13-14= MJ15004;  
 R12= 22kΩ;  
 C1= 2,2μF 25V;  
 Q16-17= MJ15003;  
 R15-16= 22Ω;  
 C2-6= 330pF ceramic;  
 TR1= 2k2 trimer;  
 R17-18= 4,7kΩ;  
 C3-8= 100μF 100V;  
 F1-2= 5A siguranță rapidă;  
 R20-25= 390Ω;  
 C4-9= 100nF 250V;  
 D1-3= 5,1V 0,5W Zener;  
 R21= 6,8kΩ;  
 C5= 100nF 100V polyester;  
 D2= 62V/5W Zener sau 47V și 15V în serie;  
 R22= 4,7kΩ;  
 C7= 100μF 25V;  
 D4-5= 1N4004;  
 R24-26-33= 220Ω;  
 C10= 1,5nF 100V polyester;  
 L1=10;  
 R27-32= 100Ω 1W;  
 C11-12= 1,5nF 100V polyester;  
 R28...31= 100Ω;  
 C13-16= 100nF 250V polyester;  
 \*Folosiți R23=6,8kΩ pentru amplificatoare pe 4Ω

## Amplificator 300W

Destinat sonorizărilor publice, cum ar fi săli de sport, stadioane dar și la simpozioane și petreceri colective de mare capacitate, acest amplificator impune o mai mare atenție în procesul de construire.

Amplificatorul asigură o putere de 310W pe o sarcină de 4Ω și 200W pe sarcină de 8Ω.

Răspunsul în frecvență oferă un spectru audio cuprins între 20Hz și 20kHz cu o neliniaritate de 0,5dB. Sensibilitatea pentru puterea maximă este de 7V, iar distorsiunile armonice sub 0,1%, ceea ce îl încadrează în familia montajelor Hi-Fi.

De reținut că alimentarea se face cu tensiune diferențială de ±68V și un curent de 5A. Deci se va utiliza pentru alimentare un transformator de 2 x 400...500VA.

Schema electrică poate fi privită în trei părți distincte, partea de intrare unde întâlnim tranzistoarele Q<sub>1</sub>...Q<sub>9</sub> de la care se obține o pronunțată amplificare la putere mică; etajul final de putere și partea de alimentare cu energie.

Intrarea este formată dintr-un etaj diferențial, fiecare având un generator de curent.

Curentii de colector în etaj sunt de aproximativ 0,7mA.

Tranzistoarele Q<sub>1</sub>...Q<sub>5</sub> comandă tranzistoarele Q<sub>7</sub> și Q<sub>9</sub>. În etajul final putem considera tranzistoarele Q<sub>10</sub>, Q<sub>11</sub>, Q<sub>13</sub>, Q<sub>14</sub> și Q<sub>16</sub>. Biasul tranzistoarelor Q<sub>10</sub> și Q<sub>11</sub> este stabilit prin diodele D<sub>4</sub> și D<sub>5</sub>.

Simetria etajului driver Q<sub>7</sub>, Q<sub>9</sub> este stabilită prin tranzistorul T<sub>8</sub> și reglat de TR<sub>1</sub>.

Limita inferioară de frecvență este dictată de C<sub>1</sub>-C<sub>7</sub>, iar limita superioară de C<sub>6</sub>.

Toate tranzistoarele din etajul final se montează pe același radiator de căldură.

Constructorul va realiza bobina L<sub>1</sub> care conține 10 spire din sârmă de cupru izolată cu PVC, bobinată pe un suport izolant cu diametrul de 15mm.

Rezistoarele R<sub>23</sub> de 6k8 se montează numai pentru sarcini (difuzoare) de 4Ω.

Dacă nu dispunem de o diodă Zener de 62V se poate monta una de 47V în serie cu una de 15V, în locul notat D<sub>2</sub> (paralel cu R<sub>12</sub>).

Utilizarea altor componente decât cele recomandate schimbă total parametrii electrici ai montajului. După realizarea practică, se face un control vizual al dispunerii componentelor și a lipiturilor, apoi se conectează sursa de energie. Utilizarea unor componente de bună calitate este absolut obligatorie pentru funcționarea normală a acestui amplificator de mare putere.

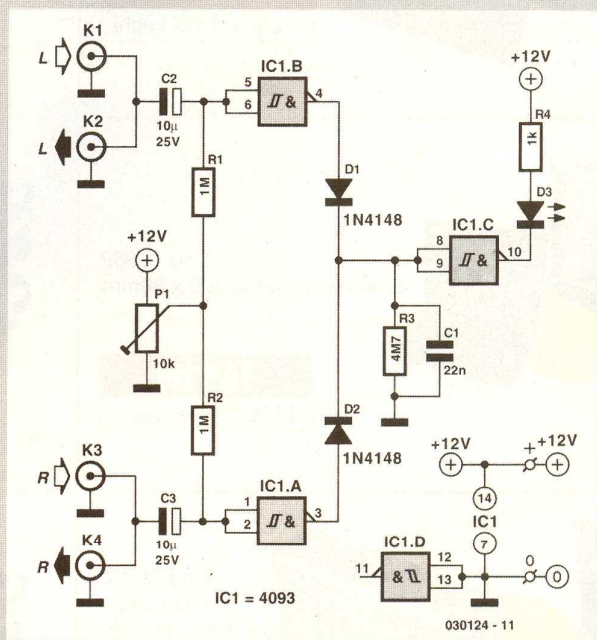
## Detector de vârf

pentru semnal audio

**D**eectorul pentru semnalizarea unei valori limită superioare, a unui semnal audio, este realizat în variantă stereo. El are la bază un circuit NAND - Trigger - Schmitt, tip CD4093.

Reglajul valorii maxime, ca limită, se realizează din P1. C2 și C3 separă semnalul audio de componenta sa continuă sau echilibrul se introduce prin R1 (sau R2) cu P1. Dioda D1 (sau D2) împreună cu C1 formează detectorul de vârf propriu-zis. Depășirea valorii limită este semnalizată de LED D3.

după Elektor



# Genti pentru scule



Cod 15388  
dimensiuni: 365 x 175 x 325mm

**39 lei**

390.000 lei vechi



Cod 15371

dimensiuni: 455 x 330 x 160mm

**139 lei**

1.390.000 lei vechi



Cod 15367  
dimensiuni: 425 x 305 x 125mm

**89 lei**

890.000 lei vechi



Cod 15372

dimensiuni:

455 x 330 x 152mm

**189 lei**

1.890.000 lei vechi



Cod 15368  
dimensiuni: 455 x 330 x 152mm

**129 lei**

1.290.000 lei vechi



Cod 15373

dimensiuni: 455 x 330 x 152mm

**119 lei**

1.190.000 lei vechi



Cod 15369  
dimensiuni: 425 x 305 x 80mm

**159 lei**

1.590.000 lei vechi

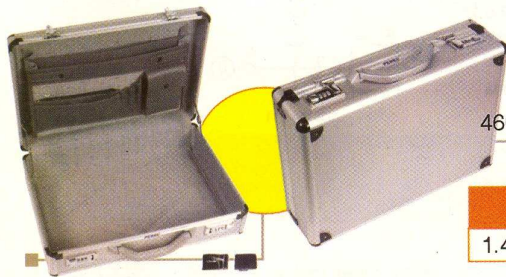


Cod 15374

dimensiuni: 320 x 230 x 155mm

**89 lei**

890.000 lei vechi



Cod 15370  
dimensiuni:  
460 x 335 x 110mm

**149 lei**

1.490.000 lei vechi



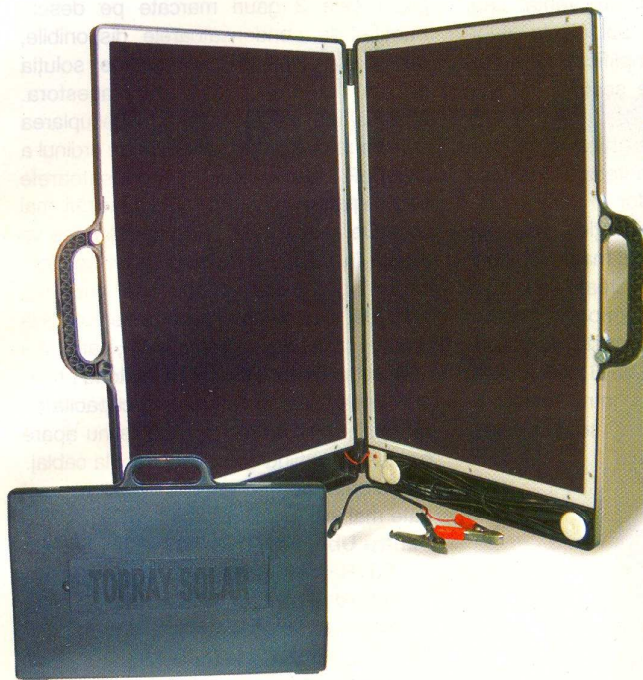
Cod 15375

dimensiuni: 320 x 230 x 155mm

**89 lei**

890.000 lei vechi

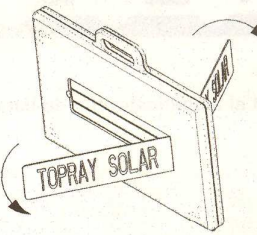
# Panou solar 13W cu suport orientabil



Cod 2255

**599 lei**

5.990.000 lei vechi



## Celulă solară

**2V/200mA**

Cod 14933

**29 lei**

290.000 lei vechi

### Caracteristici:

- ☞ aplicații: caravana, iaht, instrumente electrice, laptop, sistem GPS;
- ☞ indicator încărcare;
- ☞ conexoare detașabile pentru diverse aplicații;
- ☞ controller optional: SOL4UCN2

### Specificații:

- ☞ putere: max. 13W;
- ☞ tensiune de operare: 14V;
- ☞ curent: 750mA;
- ☞ dimensiuni: 510 x 375 x 40mm;
- ☞ masă: 4,4kg.

## Busolă electronică



- ☞ indică punctele cardinale: N, NE, E, SE, S, SV, V, NV;
- ☞ întrerupător pentru alarmă (pornit/oprit);
- ☞ întrerupător pentru busolă (pornit/oprit);
- ☞ buton pentru iluminare display pe timp de noapte;
- ☞ buton pentru reset;
- ☞ buton pentru ora / lună, minute / zi;
- ☞ buton pentru afișarea temperaturii în °C sau °F;
- ☞ alimentare: 3 baterii tip AA.

Cod 15513

**129 lei**

1.290.000 lei vechi

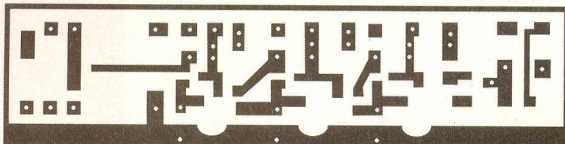


Fig. 2a

Cablagul imprimat al amplificatorului de bandă largă pentru VHF-UHF

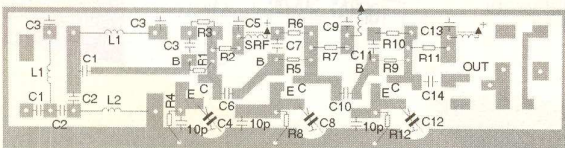


Fig. 2b

Amplasarea componentelor pentru amplificatorul de bandă largă pentru VHF-UHF

este mare, pot apărea fenomene rezonante, cu concursul capacitaților parazite inerente ale montajului, care pot afecta liniaritatea caracteristicii de frecvență, sau, mai grav, pot afecta stabilitatea amplificatorului. Inductanțele șocurilor trebuie să fie de 2...5mH. Se vor realiza pe miezuri magnetice din materiale destinate frecvențelor joase. În această situație, pierderile în materialul magnetic, care sunt crescătoare cu frecvența, vor amortiza bobina.

Cele mai indicate pentru realizarea șocurilor sunt miezurile cu 2 sau 6 orificii, care sunt special destinate pentru astfel de aplicații. În lipsa acestora se pot folosi

circuitele de emitor, sunt format SMD cu Ø5mm, îngropate în placat, cu terminalele lipite pe partea metalizată și cu elementul de reglaj pe partea opusă. Deci, pentru montarea acestora trebuie practicate pe placă cele 3 găuri marcate pe desen. Funcție de condensatoare disponibile, potențialii utilizatori vor alege soluția optimă pentru conectarea acestora. Capacitatea necesară pentru decuplarea rezistoarelor din emitoare este de ordinul a 30-40pF. De obicei, condensatoarele semireglabile miniatură au capacitați mai mici. De aceea, dacă este necesar, se va monta în paralel cu acesta și un condensator fix, de cca. 10pF, așa cum s-a procedat și în montaj. Șocurile se vor lipi la bara de alimentare, (borna +Ub), care intră în caseta amplificatorului, obligatoriu printr-un condensator de trecere cu capacitatea de minimum 1nF (C15). Acesta nu apare pe desen, nefiind conectat direct la cablaj.

Valorile componentelor pasive sunt date mai jos.

**Pentru  $Ub \leq 9V$ :**  $R1=4,7k\Omega$ ;  $R2=1,5k\Omega$ ;

$R3=R6=R10=220\Omega$ ;

$R4=R8=R12=10\Omega$ ;  $R5=47k\Omega$ ;

$R7=1k\Omega$ ;  $R9=33k\Omega$ ;  $R11=470\Omega$ ;

$C2=C3=C7=C11=C14=470pF$ ;

$C4=C8=C12=15-25pF$ ;

$C5=C9=C13=1-10nF$ ;

$C6=C10=100pF$ .

**Pentru  $12 < Ub < 24V$ :**  $R1=65k\Omega$ ;

$R2=1,5k\Omega$ ;  $R3=R6=R10=270\Omega$ ;

$R4=R8=R12=15\Omega$ ;  $R5=65k\Omega$ ;

$R7=1k\Omega$ ;  $R9=39k\Omega$ ;  $R11=470\Omega$ .

Valorile condensatoarelor nu se modifică în funcție de tensiunea de alimentare. Consumul amplificatorului este de cca. 3mA, pentru  $Ub=3V$ , 10mA pentru  $Ub=6V$ , ajungând la 15mA pentru  $Ub=9V$ . Disipatia fiecărui rezistor nu depășește 25mW pentru  $Ub<9V$  și 100mW pentru  $Ub=24V$ .

În figura 3 sunt reprezentate caracteristicile de frecvență pentru amplificatorul echipat cu tranzistoare BFS17 și BFR93, alimentat la 3V și la 9V, cu menținerea că aceste curbe au fost aproximate pe porțiuni. Curbele reale au unele neuniformități de ordinul a  $\pm 2dB$  în banda 100MHz...500MHz. Supracreșterea din banda 50MHz...250MHz a fost în parte provocată prin reglaje, deoarece în aplicația vizată era de mai mare interes o bandă în jurul frecvenței de 144MHz, obținându-se aici o amplificare apreciabilă. Impedanțele de intrare și de ieșire ale amplificatorului sunt de aproximativ 70Ω. Din aceste caracteristici de frecvență se observă și efectul frecvenței de tranzitie. Tranzistorul BFR93 are  $f_T=5GHz$ , pe când tranzistorul BFS17 are  $f_T=1GHz$ .

În funcție de tensiunea de alimentare, caracteristicile de frecvență se deplasează

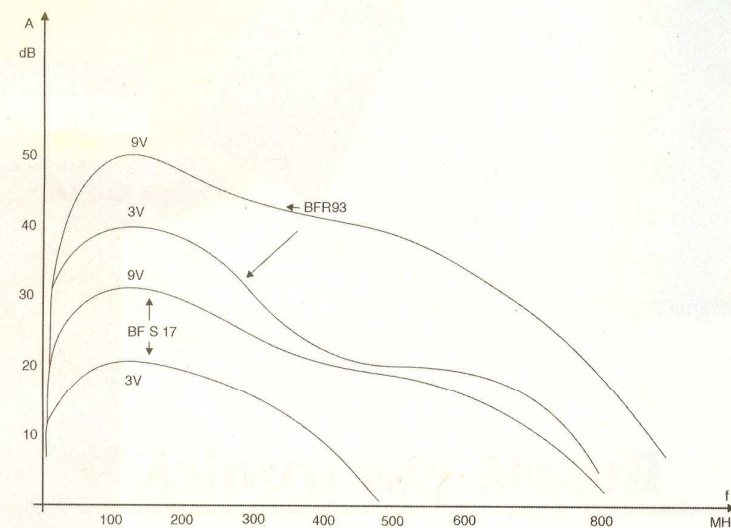


Fig. 3

Caracteristicile de frecvență

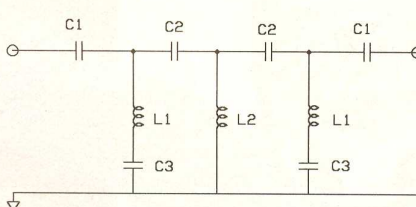


Fig. 4

Filtru trece - sus (vezi tabelul 1)

- urmare din pagina 13 -

O atenție deosebită trebuie acordată șocurilor din circuitele de colector, care deși sunt decuplate printr-un condensator, dacă factorul de calitate al acestor bobine

perle de ferită, toruri miniatură sau chiar fragmente de miezuri de reglaj pentru bobine, pe care se vor bobina 5-15 spire de conductor izolat Ø0,2...0,5mm, funcție de calitatea materialului magnetic. Gabaritul acestor piese trebuie să fie cât mai mic.

În figura 2 este reprezentat cablagul imprimat pentru amplificatorul din figura 1 și dispunerea componentelor. S-a folosit suport monoplacat, componentele SMD fiind lipite direct pe fața "bottom", iar rezistoarele și șocurile au fost montate pe cealaltă parte. *Suportul dublu placat nu este indicat în această aplicație*, deoarece capacitațile parazite ce se formează cu componentele montajului afectează nefavorabil performanțele amplificatorului. Dacă se dispune și de rezistoare SMD, acestea se vor monta de asemenea pe partea metalizată, în care caz găurile respective nu mai sunt necesare. Condensatoarele semireglabile, folosite în

în sus sau în jos, alura acestora păstrându-se în linii mari. Deci, pentru alte tensiuni de alimentare cuprinse între 3 și 9V, vom putea interpola pe graficul din

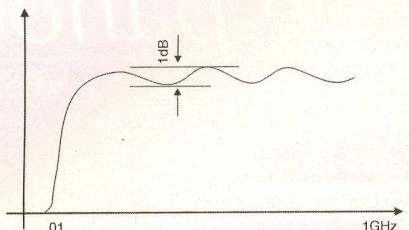


Fig. 5

Caracteristica tip a unui filtru ca în figura 4

figura 3 parametrii de interes.

Măsurările au fost făcute cu Poliskopul SWOB 3 Rohde & Schwarz.

Amplificatorul mai sus descris funcționează practic de la 10MHz până la 800MHz. În foarte multe aplicații însă, nu interesează întreaga gamă de frecvență. În astfel de situații este indicată atenuarea, prin filtre, a benzilor de frecvențe ce nu interesează, deoarece dinamica acestui amplificator fiind destul de mică (datorită faptului că folosește tranzistoare de semnal mic alimentate la tensiuni mici), unele semnale nedorite și puternice, ce ar putea apărea la intrare, de exemplu în cazul unui sistem de recepție conectat la o antenă, ar putea perturba funcționarea, prin apariția fenomenelor de limitare, distorsiuni de intermodulație etc. Montajul mai sus prezentat a fost folosit pentru aplicații peste 100MHz, în care scop s-a prevăzut la intrare un filtru trece-sus cu frecvență de tăiere la cca. 100MHz, pentru a atenua multitudinea de semnale de radiodifuziune, care de regulă au niveluri destul de mari. Cablajul imprimat prezentat în figura 2 conține și padurile necesare pentru implementarea unui astfel de filtru, realizat cu 3 celule. Schema acestuia este redată în figura 4, iar caracteristica de frecvență în figura 5. Valorile compo-

ne exemplu, bobinând "pe aer" 7 spire din sărmă CuEm Ø0,5mm, cu un diametru interior al spirelor de cca. 4mm, iar pentru 92nH - 10 spire în același mod. Acordul se va face prin apropierea sau depărtarea spirelor. Pentru frecvențe mai joase, sunt de preferat bobine cu miez de reglaj.

Pe cablajul din figura 2, după ieșirea amplificatorului, există și padurile de montare a unui detector (echipat cu o diodă BAW56 - SMD). Funcție de aplicația dorită, aceste "anexe" ale amplificatorului pot fi folosite sau ignorate. Condensatoarele folosite la filtru au fost noteate C1...C3. Aceleași notății le regăsim și pe schema amplificatorului, dar pentru alte valori.

Privit global, acest amplificator are o neuniformitate destul de mare, dacă o apreciem în banda 25MHz...900MHz. Are însă calitatea de a oferi o amplificare remarcabilă - peste 40dB - în banda

de amplificator este prezentat, cu titlu informativ, în figura 6, și după cum se poate observa, asemănarea este foarte mare cu cel din figura 2. Aici apare însă suplimentar, la fiecare etaj, o inductanță în ramura de reacție negativă colector - bază, și o a doua inductanță, nedecuplată, în circuitul de colector. Aceasta are rolul de a mări, progresiv cu frecvența, impedanța de sarcină din colector, compensând scădereea acesteia datorată capacităților parazite. Această bobină însă, mai important decât în cazul socului din montajul precedent, trebuie să fie corespunzător amortizată, deoarece prezintă pericol mare de instabilitate, amplificatorul putând oscila necontrolat pe anumite frecvențe. De aceea, această bobină trebuie realizată pe miez magnetic cu pierderi corespunzătoare la frecvențele superioare ale benzii de trecere. Inductanța din circuitul de reacție colector - bază, se realizează foarte simplu, prin bobinarea a 2 - 3 spire cu un diametru de cca. 2,5mm, chiar din terminalele rezistorului inseriat cu condensatorul respectiv. S-a experimentat această schemă, preluată din literatura germană, cu mai multe tipuri de tranzistoare. Pentru tranzistoare BFR93, alimentate la 12V, s-a obținut o amplificare de numai 20dB, dar cu o neuniformitate mult mai bună până la 800MHz.

Cablajul imprimat din figura 3, cu puțină bunăvoieță, poate fi adaptat și pentru amplificatorul cu schema din figura 6. Singurele modificări ce se impun sunt la decuplarea socurilor din circuitele de colector, care de fapt dispar, și înlocuirea acestora cu bobinele de corectie. Padurile pentru cel de al treilea etaj rămân libere sau se taie placa de la C10 spre ieșire. Ca o provocare, deoarece cablajul a fost proiectat pentru 3 etaje de amplificare, se poate experimenta adăugarea unui etaj suplimentar, ca la amplificatorul precedent, dar după schema etajelor de amplificare din figura 6. Trebuie însă micșorate valorile rezistorilor din colector și din circuitul de reacție colector - bază (la acest ultim etaj de amplificare). Se va obține, cu siguranță, o amplificare mai mare, dar o bandă ceva mai mică. Rămâne de văzut în ce măsură stabilitatea este satisfăcătoare. În cazul apariției unor oscilații, se poate micșora valoarea rezistorului din colectorul ultimului etaj, și/sau reducerea tensiunii de alimentare.

#### Bibliografie:

- Schaltbeispiele Siemens
- Cataloge semiconductoare Siemens și MBLE ◆

Tabelul 1

Valorile componentelor filtrului din figura 4

| $f_0$  | C1    | C2   | C3    | L1          | L2           |
|--------|-------|------|-------|-------------|--------------|
| 30MHz  | 150pF | 56pF | 168pF | 2,7 $\mu$ H | 1,58 $\mu$ H |
| 100MHz | 39pF  | 15pF | 47pF  | 92nH        | 56nH         |

telor filtrului pentru 2 frecvențe de tăiere,  $Z_c=70\Omega$ , sunt cele din tabelul 1.

Inductanța de 56nH se poate obține , de

impune folosirea unor elemente suplimentare de corecție prin reacție negativă, și mărirea tensiunii de alimentare. Un astfel

# Osciloscop de panou



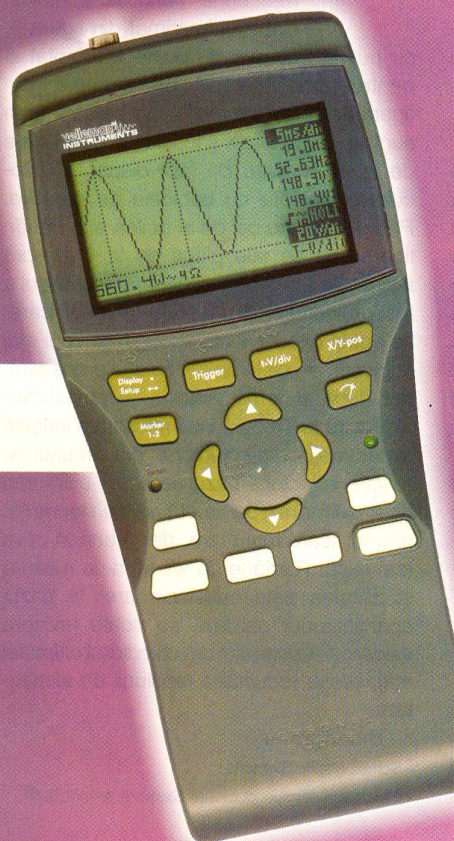
Cod 15641

**849 lei**

8.490.000 lei vechi

## Date tehnice:

- număr de canale: 1;
- rata maximă de esantionare: 10MS/s;
- banda de frecvență: max. 2MHz;
- display: 128 x 64 pixeli, lumină fundal;
- memorie: 256bytes, memorie display (2 forme de undă - numai VPS10);
- rezoluție: 8 biți;
- sensibilitate Vv-v: 0,1mV, 5mV...20V/div, max. 600Vac cu sondă x10;
- 0,2µs/div → 3600s/div.;
- mod X-Y;
- mod multimetru (DVM) cu sondă x10;
- marker-i mobili (numai HPS10): dt, dv, 1/dt;
- calculează (măsoară): dBm, dBv, putere audio, rms, DC...;
- oprire automată (numai HPS10);
- autosetare;
- alimentare (9V) din baterii sau acumulatoare Ni-Cd (neincluse), adaptor la rețea pentru încărcare;
- dimensiuni: 165 x 90 x 35mm (VPS10);
- dimensiuni: 105 x 220 x 35mm (HPS10).



Cod 6048

**879 lei**

8.790.000 lei vechi

# Osciloscop portabil

HPS10

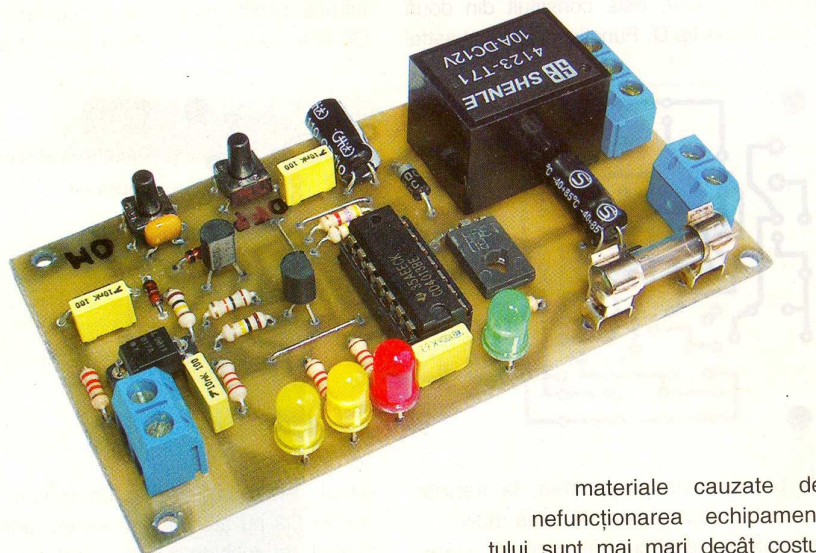
# Releu de avarie

Leonard Lazăr  
lazarleo@yahoo.com

## Descrierea funcționării

Releul de avarie descris în cele ce urmează are ca scop principal protecția unui echipament electric prin deconectarea tensiunii de alimentare la care acesta este conectat, în cazul în care este sesizată o situație de defect sau avarie în cadrul unei instalații electrice. Această stare va fi pusă în evidență prin apariția unei tensiuni,  $U_{avarie}$ , care va fi transmisă releului de avarie (și pe care acesta o va monitoriza).

De asemenea, releul permite atât deconectarea echipamentului protejat în



lipsa stării de avarie, cât și a conectării echipamentului la tensiunea de alimentare pe perioada unei stări de avarie, prin intervenția operatorului uman, care poate lua decizii în funcție de specificul instalației și echipamentelor utilizate. Spre exemplu, decizia de utilizare a unui echipament în timpul unei stări de avarie care pune în pericol chiar echipamentul respectiv, poate fi luată în situația în care pierderile

materiale cauzate de nefuncționarea echipamentului sunt mai mari decât costul echipamentului însuși. Este cazul clasic al motoarelor electrice plasate în instalații industriale, în locații care afectează în mod direct procesul productiv. Situația de avarie este sesizată în acest caz de circuitele de protecție ale motorului: releul de protecție la suprasarcină (supra-current), releul de protecție termică, etc.

Tabelul 1

Funcționarea bistabilului de tip D

|    | CK  | D | R | S | Q | /Q |
|----|-----|---|---|---|---|----|
| 1. | 0/1 | 0 | 0 | 0 | 0 | 1  |
| 2. | 0/1 | 1 | 0 | 0 | 1 | 0  |
| 3. | 1/0 | x | 0 | 0 | Q | /Q |
| 4. | x   | x | 1 | 0 | 0 | 1  |
| 5. | x   | x | 0 | 1 | 1 | 0  |
| 6. | x   | x | 1 | 1 | 1 | 1  |

x - indiferent

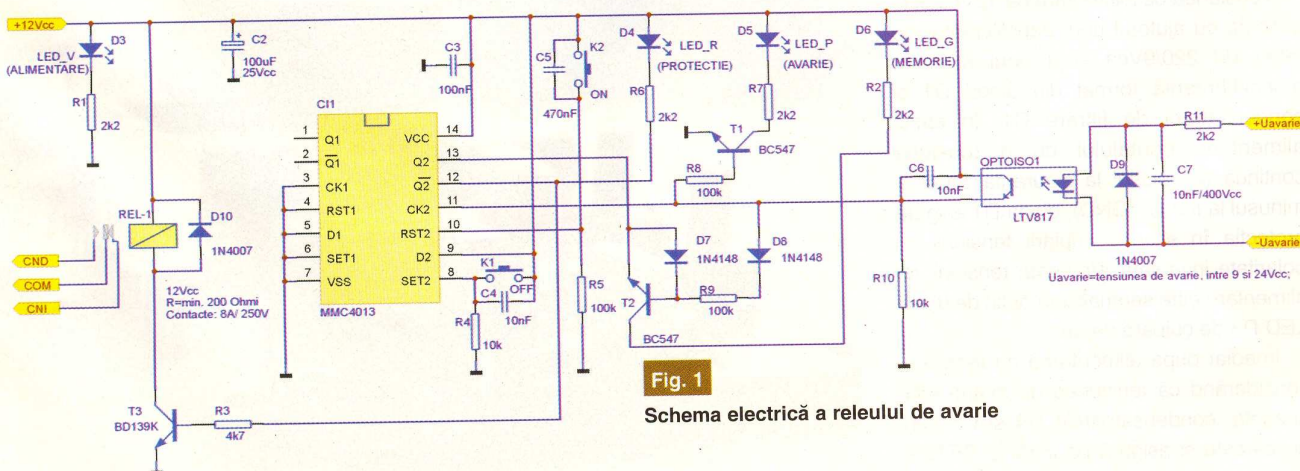
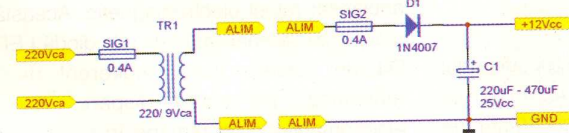
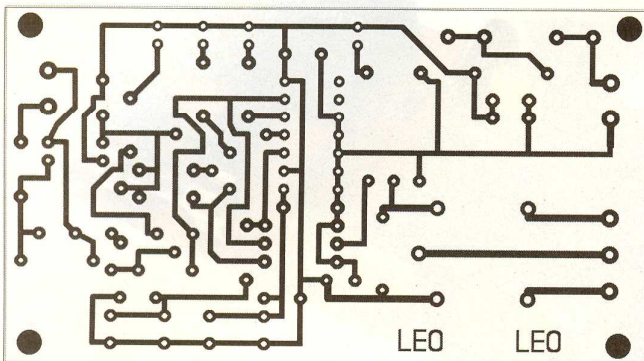


Fig. 1

Schema electrică a releului de avarie

## Descrierea schemei electrice

Schema electrică este dată în figura 1 și a fost dezvoltată în jurul unui circuit integrat din seria CMOS, și anume MMC4013 (CD4013), care este constituit din două bistabile de tip D. Funcționarea unui astfel

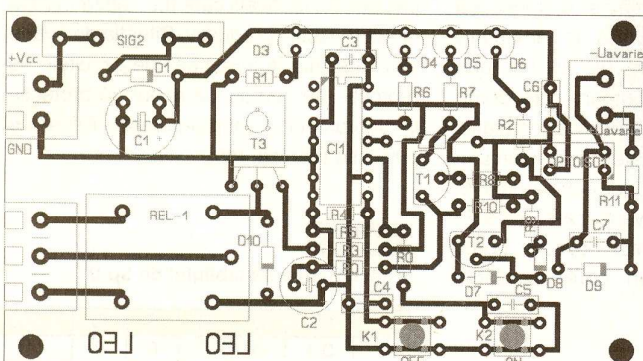


de bistabil este următoarea: la tranzitie pozitivă a unui semnal de ceas (aplicat la intrarea CK a circuitului integrat), starea logică a intrării DATA va fi transferată la

RESET2 potențialul pozitiv al sursei de alimentare (+12Vcc); în consecință ambele ieșiri Q și /Q ale circuitului integrat vor avea starea logică 1 (linia 6 din Tabelul 1). Întrucât constanta de timp a circuitului R4-C4 este redusă ( $\tau_1 = R4 \times C4 = 100\mu s$ ),

temp a circuitului C5-R5 fiind mult mai mare decât cea a circuitului R4-C4 ( $\tau_2 = R5 \times C5 = 47ms$ ), rezultă că imediat după încărcarea condensatorului C4, pe intrarea RESET2 vom avea în continuare potențialul sursei de alimentare (+12Vcc - 1 logic). Aceste condiții corespund liniei 4 din Tabelul 1, starea logică a ieșirilor fiind 0 pentru ieșirea Q și 1 pentru ieșirea /Q. Ca rezultat, releul electromagnetic nu este acționat iar LED-urile D4, D5 și D6 sunt stinse. Releul rămâne în această stare (de veghe) până la apariția unei tensiuni de avarie ( $U_{avarie}$ ) sau până la apăsarea butonului OFF (plasat la intrarea SET2). Echipamentul protejat va fi alimentat prin contactele normal-închise ale releului electromagnetic, pierderea alimentării având loc la anclansarea acestui releu.

La apariția unei tensiuni de avarie la bornele  $+U_{avarie}$  și  $-U_{avarie}$  (cu valori cuprinse între +9 și +24Vcc), dioda optocuplorului OPTOISO1 (LTV817) emite un semnal optic, ducând la intrarea în conductione în regim de saturatie a tranzistorului intern, prin intermediul căruia intrarea de ceas CK a circuitului integrat va fi conectată la potențialul pozitiv al sursei de alimentare. Trecerea de la potențialul 0V (asigurat în principal de R10) la potențialul de 12Vcc va fi interpretată de intrarea CK a circuitului integrat ca o tranzitie pozitivă. Ca urmare, starea logică a intrării de date (D2) - conectată în permanentă la +12Vcc va fi transferată ieșirii Q2 (linia 2 Tabelul 1). Prin urmare, tranzistorul T3 intră în conductione și va fi anclansat releul electromagnetic. Această stare este semnalizată optic de dioda LED D4 de culoare roșie. Indiferent dacă tensiunea de avarie dispare, releul electromagnetic va rămâne în continuare



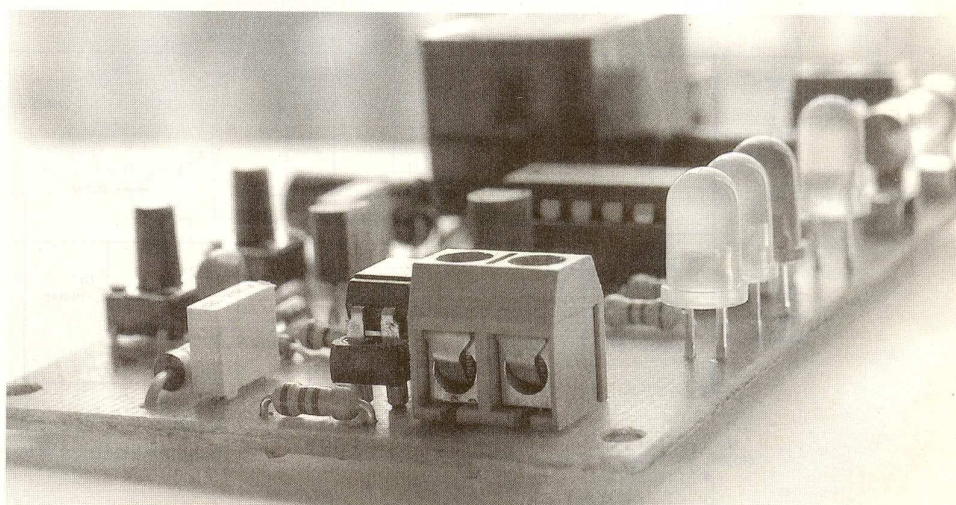
ieșirea Q a circuitului (la ieșirea /Q vom regăsi semnalul de ieșire inversat). Independent de intrarea de ceas, pot fi utilizate intrările SET și RESET prin care ieșirea este fortată în stările 1 sau 0 logic.

Tensiunea de alimentare de 12Vcc este obținută cu ajutorul unui transformator de rețea de 220/9Vca și a unui redresor monoalternant format din dioda D1 și condensatorul de filtrare C1. În cazul alimentării montajului cu o tensiune continuă (cu plusul la siguranță SIG2 și minusul la masă - GND), dioda D1 asigură protecția în situația cuplării tensiunii cu polaritate inversată. Prezența tensiunii de alimentare este semnalizată optic de dioda LED D3 de culoare verde.

Imediat după alimentarea cu tensiune, considerând că tensiunea de avarie este absentă, condensatoarele C4 și C5 sunt descărcate și asigură pe intrările SET2 și

releul electromagnetic comandat de ieșirea Q2 nu are timp să se anclanceze (timpul de închidere al contactelor unui releu electromagnetic este de aproximativ

5ms). După încărcarea condensatorului C4, potențialul intrării SET2 este 0 logic, asigurat de rezistorul R4. Constanta de



alimentat și va asigura protecția. Acest mod de funcționare asigură că operatorul uman a fost înștiințat de apariția avariei. Existența tensiunii de avarie este semnalizată optic de dioda LED D5 de culoare portocalie. Operatorul poate lua astfel decizia de realimentare a echipamentului în cunoștință de cauză cu privire la existența stării de avarie.

Dacă starea de avarie a dispărut, (LED-ul portocaliu stins), apăsarea butonului "ON" plasat la intrarea RESET2 a circuitului integrat va conduce la obținerea potențialelor de +12Vcc pentru intrarea de RESET2 și 0 V pentru intrarea SET2 (linia 4, tabelul 1), deci la eliberarea releului electromagnetic și stingerea LED-ului roșu (D4). Releul de avarie a revenit astfel la starea de veghe.

Dacă starea de avarie se menține (LED-ul portocaliu aprins), apăsarea aceluiasi buton "ON" va conduce la obținerea acelorași potențiale la intrările și ieșirile circuitului integrat, deci releul electromagnetic va fi eliberat și va permite alimentarea cu tensiune electrică a echipamentului protejat, se va stinge de asemenea LED-ul roșu, dar se va aprinde LED-ul galben (D6) datorită tranzistorului T2 a cărui jonctiune bază-emitor va fi

polarizată direct (pe emitor se găsește potențialul 0V furnizat de ieșirea Q2 a circuitului integrat, iar baza este conectată prin R9 la potențialul de +12Vcc asigurat de conductia tranzistorului din optocupluri). Aprinderea LED-ului galben semnalizează explicit starea de alimentare a echipamentului pe perioada stării de avarie. Dispariția stării de avarie în acest moment va conduce la stingerea LED-urilor portocaliu și galben.

Dioda D7 din circuitul bază-emitor al tranzistorului T2 este montată pentru a proteja această jonctiune când este polarizată invers (+12Vcc la ieșirea Q2 și 0V pe intrarea de ceas CK). Dioda D8 nu permite trecerea potențialului pozitiv de la ieșirea Q2, prin D7 și R9, la intrarea de ceas CK. Dioda D9 montată antiparalel cu dioda optocuplului, o protejează pe aceasta din urmă în cazul aplicării unei tensiuni de avarie cu polaritate inversată.

La alimentarea cu tensiune electrică a releului de avarie în situația în care tensiunea de avarie este deja prezentă, releul electromagnetic nu se anclanșează, permitând alimentarea cu tensiune a echipamentului protejat, dar operatorul uman va fi avertizat asupra acestui fapt prin aprinderea LED-ului de culoare

galbenă (și implicit a celui de culoare portocalie, care semnalizează existența tensiunii de avarie).

Deoarece releul de avarie prezentat se pretează pentru mediul industrial, au fost luate măsuri pentru creșterea imunității la perturbații electrice: astfel, C5 elimină eventuale semnale parazite care provin din instalație și care ar duce la o funcționare defectuoasă a părții logice; valorile grupurilor R4-C4 și R5-C5 au fost alese astfel încât nivelurile de tensiune aplicate intrărilor să nu se modifice esențial la atingerea cu mâna, asigurând și în acest caz o funcționare normală. Întregul montaj este izolat galvanic: față de rețeaua electrică prin transformatorul de rețea TR1, față de tensiunea de avarie prin optocuplul OPTOISO1 și față de echipamentul protejat prin releul electromagnetic.

Întrucât a fost utilizat un singur bistabil din capsula circuitului MMC4013 (CD4013) releul de avarie poate fi dublat utilizând un singur circuit integrat.

În figurile 2 și 3 sunt date desenele cablajului imprimat (cu dimensiunile 90 x 45 mm) și de amplasare a componentelor. Cu R0 au fost marcate strapurile. ♦

## Comutator

### Master-Slave

la rețeaua electrică

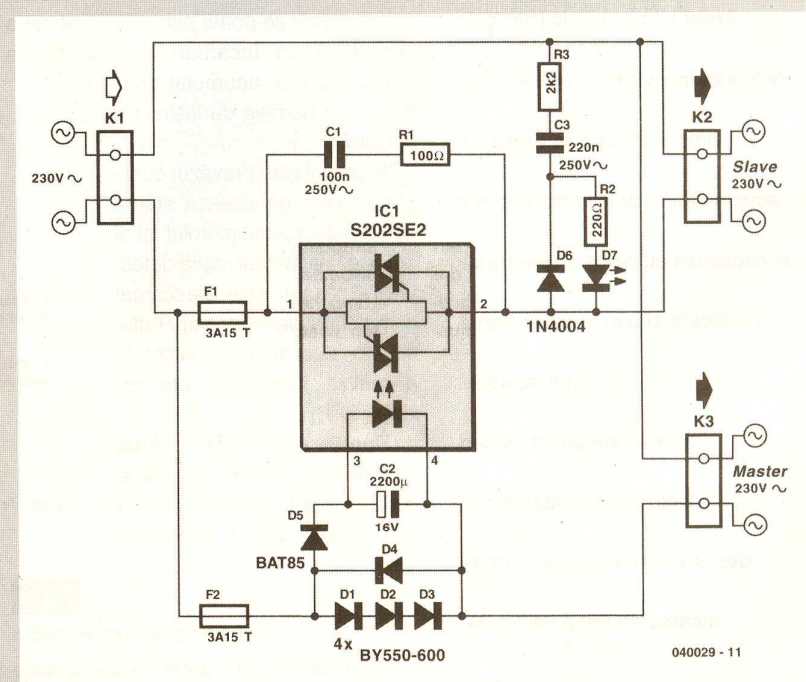
**S**chemă, pe care o prezentăm pe scurt, permite acționarea unui consumator alimentat la 220Vca (Slave) conditionat de funcționarea unui alt consumator (Master) conectat la aceeași priză (prin această schemă). Exemplele de utilizare pot fi multiple: activarea unor lumini de lucru la pornirea PC-ului, deschiderea luminii de ambianță la cuplarea televizorului sau stingerii luminii de bază (prin traductor de consum la borna Slave), în halele industriale, etc.

Componenta principală este un releu Solid-State (static) cu optotriac, produs de SHARP, seria S202S(E2), cu ZCD

(decteție la trecerea prin zero). La Conex Electronic poate fi găsit un model

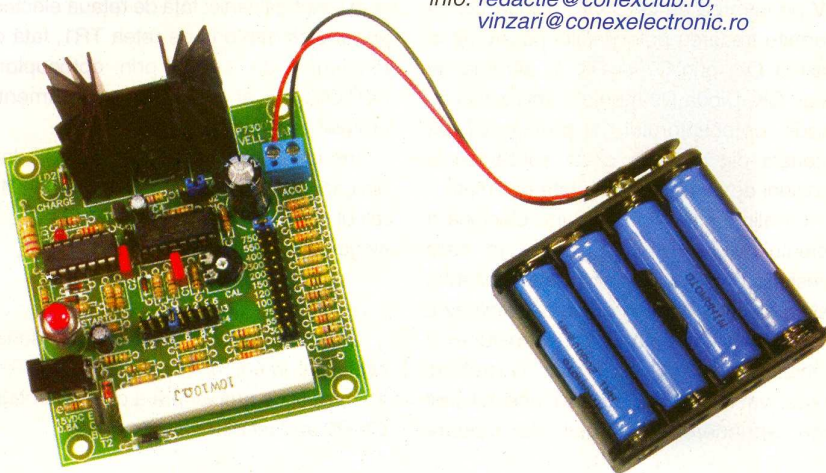
S202S02 (600V/8A).

după Elektor



040029 - 11

K7300



Acest kit electronic (oferit de Velleman în varianta dezasamblat)

poate încărca elementele de acumulatoare de diverse formate și capacitate electrică. Curentul de încărcare și tensiunea la borne sunt setabile.

El dispune de un sistem electronic de încărcare și descărcare automate. Permite încărcare rapidă sau lentă.

## Încărcător - descărcător automat

# pentru acumulatoare Ni-Cd și Ni-MH

info: [redactie@conexclub.ro](mailto:redactie@conexclub.ro),  
[vanzari@conexelectronic.ro](mailto:vanzari@conexelectronic.ro)

**S**e poate utiliza acest încărcător - descărcător la acumulatoare de tip Ni-Cd sau Ni-MH. Prin intermediul unor jumperi se poate selecționa valoarea curentului de încărcare și implicit de descărcare a acumulatorului montat la bornele de ieșire ale acestui kit.

Montajul este prevăzut cu un sistem care detectează starea curentă a acumulatorului aflat în teste și eventual, dacă detectează că nu este descărcat complet, declanșează operația de "descărcare", înainte de a realiza încărcarea propriu-zisă.

Sunt disponibile două moduri de încărcare: normală și rapidă. Asupra acestora se vor face referiri într-un subcapitol

în continuare. În ceea ce privește modul de funcționare al încărcătorului, este important să menținem lărgirea de la bornă la bornă a tensiunii de la 12Vcc la 15Vcc, să menținem tensiunea de la 15Vcc la 12Vcc și să menținem tensiunea de la 12Vcc la 15Vcc.

Ambele tensiuni sunt stabilizate și sunt menținute la un nivel constant.

În ceea ce privește modul de funcționare al încărcătorului, este important să menținem lărgirea de la bornă la bornă a tensiunii de la 12Vcc la 15Vcc, să menținem tensiunea de la 15Vcc la 12Vcc și să menținem tensiunea de la 12Vcc la 15Vcc.

Ambele tensiuni sunt stabilizate și sunt menținute la un nivel constant.

În ceea ce privește modul de funcționare al încărcătorului, este important să menținem lărgirea de la bornă la bornă a tensiunii de la 12Vcc la 15Vcc, să menținem tensiunea de la 15Vcc la 12Vcc și să menținem tensiunea de la 12Vcc la 15Vcc.

Ambele tensiuni sunt stabilizate și sunt menținute la un nivel constant.

În ceea ce privește modul de funcționare al încărcătorului, este important să menținem lărgirea de la bornă la bornă a tensiunii de la 12Vcc la 15Vcc, să menținem tensiunea de la 15Vcc la 12Vcc și să menținem tensiunea de la 12Vcc la 15Vcc.

Ambele tensiuni sunt stabilizate și sunt menținute la un nivel constant.

În ceea ce privește modul de funcționare al încărcătorului, este important să menținem lărgirea de la bornă la bornă a tensiunii de la 12Vcc la 15Vcc, să menținem tensiunea de la 15Vcc la 12Vcc și să menținem tensiunea de la 12Vcc la 15Vcc.

Ambele tensiuni sunt stabilizate și sunt menținute la un nivel constant.

În ceea ce privește modul de funcționare al încărcătorului, este important să menținem lărgirea de la bornă la bornă a tensiunii de la 12Vcc la 15Vcc, să menținem tensiunea de la 15Vcc la 12Vcc și să menținem tensiunea de la 12Vcc la 15Vcc.

Ambele tensiuni sunt stabilizate și sunt menținute la un nivel constant.

În ceea ce privește modul de funcționare al încărcătorului, este important să menținem lărgirea de la bornă la bornă a tensiunii de la 12Vcc la 15Vcc, să menținem tensiunea de la 15Vcc la 12Vcc și să menținem tensiunea de la 12Vcc la 15Vcc.

Ambele tensiuni sunt stabilizate și sunt menținute la un nivel constant.

În ceea ce privește modul de funcționare al încărcătorului, este important să menținem lărgirea de la bornă la bornă a tensiunii de la 12Vcc la 15Vcc, să menținem tensiunea de la 15Vcc la 12Vcc și să menținem tensiunea de la 12Vcc la 15Vcc.

Ambele tensiuni sunt stabilizate și sunt menținute la un nivel constant.

În ceea ce privește modul de funcționare al încărcătorului, este important să menținem lărgirea de la bornă la bornă a tensiunii de la 12Vcc la 15Vcc, să menținem tensiunea de la 15Vcc la 12Vcc și să menținem tensiunea de la 12Vcc la 15Vcc.

Ambele tensiuni sunt stabilizate și sunt menținute la un nivel constant.

În ceea ce privește modul de funcționare al încărcătorului, este important să menținem lărgirea de la bornă la bornă a tensiunii de la 12Vcc la 15Vcc, să menținem tensiunea de la 15Vcc la 12Vcc și să menținem tensiunea de la 12Vcc la 15Vcc.

Ambele tensiuni sunt stabilizate și sunt menținute la un nivel constant.

În ceea ce privește modul de funcționare al încărcătorului, este important să menținem lărgirea de la bornă la bornă a tensiunii de la 12Vcc la 15Vcc, să menținem tensiunea de la 15Vcc la 12Vcc și să menținem tensiunea de la 12Vcc la 15Vcc.

Ambele tensiuni sunt stabilizate și sunt menținute la un nivel constant.

În ceea ce privește modul de funcționare al încărcătorului, este important să menținem lărgirea de la bornă la bornă a tensiunii de la 12Vcc la 15Vcc, să menținem tensiunea de la 15Vcc la 12Vcc și să menținem tensiunea de la 12Vcc la 15Vcc.

Ambele tensiuni sunt stabilizate și sunt menținute la un nivel constant.

În ceea ce privește modul de funcționare al încărcătorului, este important să menținem lărgirea de la bornă la bornă a tensiunii de la 12Vcc la 15Vcc, să menținem tensiunea de la 15Vcc la 12Vcc și să menținem tensiunea de la 12Vcc la 15Vcc.

Ambele tensiuni sunt stabilizate și sunt menținute la un nivel constant.

În ceea ce privește modul de funcționare al încărcătorului, este important să menținem lărgirea de la bornă la bornă a tensiunii de la 12Vcc la 15Vcc, să menținem tensiunea de la 15Vcc la 12Vcc și să menținem tensiunea de la 12Vcc la 15Vcc.

Ambele tensiuni sunt stabilizate și sunt menținute la un nivel constant.

În ceea ce privește modul de funcționare al încărcătorului, este important să menținem lărgirea de la bornă la bornă a tensiunii de la 12Vcc la 15Vcc, să menținem tensiunea de la 15Vcc la 12Vcc și să menținem tensiunea de la 12Vcc la 15Vcc.

Ambele tensiuni sunt stabilizate și sunt menținute la un nivel constant.

În ceea ce privește modul de funcționare al încărcătorului, este important să menținem lărgirea de la bornă la bornă a tensiunii de la 12Vcc la 15Vcc, să menținem tensiunea de la 15Vcc la 12Vcc și să menținem tensiunea de la 12Vcc la 15Vcc.

Ambele tensiuni sunt stabilizate și sunt menținute la un nivel constant.

În ceea ce privește modul de funcționare al încărcătorului, este important să menținem lărgirea de la bornă la bornă a tensiunii de la 12Vcc la 15Vcc, să menținem tensiunea de la 15Vcc la 12Vcc și să menținem tensiunea de la 12Vcc la 15Vcc.

Ambele tensiuni sunt stabilizate și sunt menținute la un nivel constant.

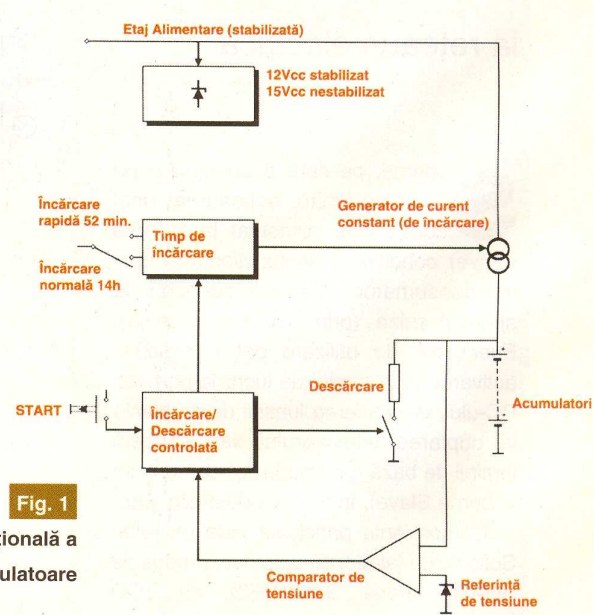


Fig. 1  
Schema bloc funcțională a încărcătorului pentru acumulatoare

|   |   |   |   | NUMBER OF STAGES IN DIVIDER CHAIN |              |
|---|---|---|---|-----------------------------------|--------------|
| D | C | B | A | 8-BYPASS = 0                      | 8-BYPASS = 1 |
| 0 | 0 | 0 | 0 | 9                                 | 1            |
| 0 | 0 | 0 | 1 | 10                                | 2            |
| 0 | 0 | 1 | 0 | 11                                | 3            |
| 0 | 0 | 1 | 1 | 12                                | 4            |
| 0 | 1 | 0 | 0 | 13                                | 5            |
| 0 | 1 | 0 | 1 | 14                                | 6            |
| 0 | 1 | 1 | 0 | 15                                | 7            |
| 0 | 1 | 1 | 1 | 16                                | 8            |
| 1 | 0 | 0 | 0 | 17                                | 9            |
| 1 | 0 | 0 | 1 | 18                                | 10           |
| 1 | 0 | 1 | 0 | 19                                | 11           |
| 1 | 0 | 1 | 1 | 20                                | 12           |
| 1 | 1 | 0 | 0 | 21                                | 13           |
| 1 | 1 | 0 | 1 | 22                                | 14           |
| 1 | 1 | 1 | 0 | 23                                | 15           |
| 1 | 1 | 1 | 1 | 24                                | 16           |

0 = Low Level

1 = High Level

cu diodă Zener) și 15Vcc (direct de la sursa de alimentare externă).

Generatorul de curent (constant) oferă energia necesară încărcării acumulatorului. Se cunoaște că acumulatoarele trebuie încărcate cu un curent constant pe o durată determinată cu cca. 10% din valoarea capacitatei lor.

Procesul de încărcare sau descărcare este controlat de un circuit ce activează procesele respective ca urmare a măsurării tensiunii la bornele acumulatorului (dacă este inferioară sau superioară unei limite). Tensiunea acumulatorului este

comparată cu o tensiune de referință (Uref), provenită de la o diodă (cădere de tensiune pe aceasta). Operația de comparare a celor două mărimi este realizată de un comparator de tensiune (cu amplificator operațional), care comunică controlerului de încărcare - descărcare starea acumulatorului și funcție de rezultat ia decizia corectă.

Durata de încărcare este determinată de un bloc electronic denumit în figura 1, "Timp de încărcare". Acest din urmă bloc comandă "deschiderea" generatorului de curent constant și respectiv, trecerea prin acumulator a unui curent de încărcare predeterminat.

Dacă s-a amintit că la încărcare curentul este predeterminat de utilizator, trebuie să se specifice și că timpul de încărcare este predeterminat, respectiv încărcare rapidă (timp de 52 de minute) sau normală (14 ore).

În plus, există și un etaj prin care se setează și tensiunea de încărcare a acumulatorului (implicit, se specifică tipul acestuia prin tensiunea oferită la borne, respectiv de la 1,2V; 2,4V; 3,6V până la 9,6V, adică multiplu de 1,2V, atât cât are normal la borne un element).

În ce privește schema electrică din figura 2, blocul de alimentare amintit mai sus este realizat astfel încât să ofere două tensiuni: 15Vcc direct de la sursa de alimentare externă (de 15Vcc/800mA), respectiv V1 și V = 12Vcc, stabilizat, obținuți din V1 prin intermediul unui stabilizator parametric cu diodă Zener (ZD2, de 12V și 1,3W). Filtrajul celor două tensiuni se realizează cu C5 și C4, iar

Tabelul 1

Funcționarea lui CD4536 ca numărător, funcție de starea pinului BYPASS

alegerea lor se va face cu atenție.

Distingem blocul prin care se poate selecționa valoarea curentului (constant!) de încărcare a acumulatorului: rețea de rezistoare R1, R2,..., R13, introduse în circuit (câte unul singur!) prin intermediu jumperilor J5-J6. Către un rezistor din această rețea, împreună cu referința de tensiune VR1 - tip LM385, tranzistorul dublu pnp T2 (BD676) și D5 formează generatorul de curent constant pentru încărcarea acumulatorului.

Blocul "Timp de încărcare" este realizat cu ajutorul circuitului integrat IC1 - CD4536, un numărător de timp de lungă durată cu rețea de oscilație RC (realizată cu C1, R14, RV1 și R25). Iesirea OUT a lui IC1 (pin 13) comandă via R15, ZD1 și

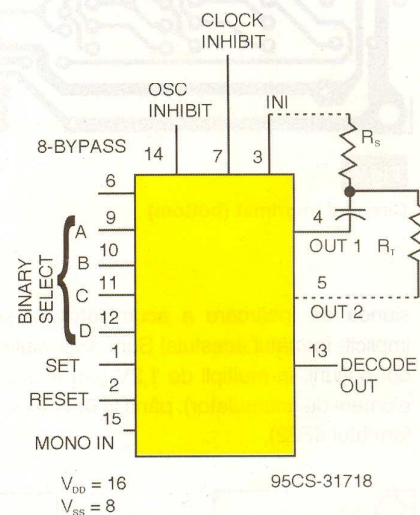


Fig. 3

Diagrama funcțională a circuitului CD4536

LD2, baza tranzistorului generatorului de curent constant - T3. LED-ul verde LD2 semnalizează, cum este și normal, încărcarea acumulatorului, iar T3 este blocat.

Selecția modului de încărcare se face din jumperul J2 (rapidă sau lentă).

Operația de descărcare a acumulatorului se realizează prin T1 și T2; rezistorul de descărcare este R33 (10Ω/10W) și descărcarea este comandată în urma unor operații de măsurare și comparare a tensiunii curente la bornele acumulatorului.

Comparatorul de tensiune este realizat cu A1. El compara tensiunea de referință, Uref, furnizată de D1 (0,7V) la pinul 3, borna inversoare, cu tensiunea măsurată la bornele acumulatorului de la borna neinversoare (pin 10). În prealabil se va seta de la jumperul J1-J3 valoarea nominală (tipul) a acumulatorului. Remar-

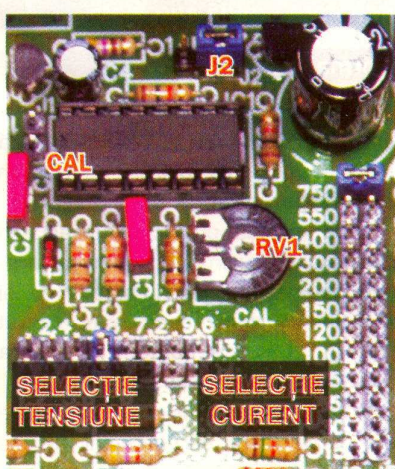


Fig. 4

Reglajul frevenței de oscilație; se identifică RV1, jumper-ul J1 - CAL, J2 - Mod încărcare și cei pentru selecția curentului de încărcare și a tensiunii corespunzătoare

căm rețeaua rezistivă R17, R18,...,R42, prin intermediul căreia se setează ten-

Logica de control este asigurată de A2 și A3 (blocul "Încărcare/descărcare controlată", figura 1). Ieșirea lui A3 (pin1) comandă T1 (și indirect T2) și comandă descărcarea acumulatorului pe R33.

Comanda de START este dată apăsând butonul SW1.

LED-ul LD1 roșu semnalizează operația de descărcare, pe totă durata sa.

În ceea ce privește IC1, acesta este un timer programabil - numărător 2 la puterea 24, cu oscilator - semnal de tact - extern RC. Deci poate număra de la 1 la 2 la puterea 24 maxim sau programabil reținându-se biți până la puterea 8, prin transferarea permanentă la ieșire a acestora și selectarea puterii din 4 biți pentru cei 16 pași de numărare rămași disponibili (din puterea lui 24).

Sugestiv este tabelul 1, selecția modului de lucru, respectiv a duratei maxime de numărare, făcându-se prin nivelul logic aplicat pinului 6-BYPASS (izolare, prescurtat din engleză). Cei patru biți de selecție A, B, C și D sunt corespunzători pinilor 9, 10, 11 și 12.

Astfel, este posibilă obținerea unor dure de temporizare foarte mari, de ordinul zecilor de ore.

Din figura 2 se remarcă selecția modului de încărcare de la pinul 11 (bitul C), iar pinul BYPASS este menținut la masă. La plus se conectează pentru calibrarea oscilatorului (a semnalului de tact) la 12s. A se vedea operația de calibrare a oscilatorului descrisă mai jos. Aceasta este și modul de lucru TEST a circuitului integrat.

Diagrama funcțională a circuitului CD4536 este prezentată în figura 3. Ieșirea OUT semnalizează că operația de numărare s-a încheiat și trece pe nivel logic high. Dispune și de funcțiile de SET și RESET (RST) active

ambele pe frontul crescător. Activarea lui RST aduce numărătorul la zero.

O apăsare pe butonul START (SW1) aduce pinul SET pe nivel logic 1 prin R34 și R26 și în același timp prin A3 tensiunea +V ajunge și pe pinul RST (reset). Numărătorul este adus la zero, iar printr-un mecanism de măsurare și comparare a tensiunii la bornele acumulatorului, se ia decizia de încărcare sau descărcare a acestuia (prin procedeul descris mai sus, polarizând corespunzător pinii SET și RST).

### Reglaje

Terbuie setată corespunzător frecvența de oscilație (tact) a numărătorului. Operația se realizează prin reglarea lui RV1. Sugestiv este și figura 4.

Frecvență de oscilație este dată de formula:

$$f = 1 / [2,3 \cdot C_1 \cdot (R_{14} + R_{V1})]$$

Lată pași ce trebuie efectuat pentru calibrare:

- se montează jumperul CAL (J1);
- se montează J2 în poziția 52min (încărcare rapidă);
- se montează un jumper pentru tensiune 1,2V (J3-J4);
- se alimentează;
- se reglează RV1 în poziție centrală;
- se apasă SW1 (START) - LED-ul verde se aprinde;
- se așteaptă stingerea LED-ului verde și se cronometrează acestă durată;
- dacă durata cronometrată este de 12s, calibrarea oscilatorului este corectă;
- altfel, se reajustează RV1 și operațiile de mai sus se reiau până se cronometrează 12s cât mai exact;
- dacă operațiile s-au efectuat cu succes, se scoate de sub tensiune și se elimină jumperul CAL (J1).

### Încărcare rapidă sau lentă

#### (normală)

Kit-ul oferă două moduri de încărcare: rapidă, de 52 minute și respectiv, lentă (normală) de 14 ore. Selectia se face din J2.

Prima metodă presupune încărcarea acumulatorului cu un curent de valoare mai mare într-un timp scurt. Nu este de obicei recomandată decât dacă este absolut necesară, deoarece durata de viață a acumulatorului se reduce semnificativ!

A doua metodă presupune încărcarea pe o durată mare, cu un curent mic, de cca. 10% din valoarea numerică a

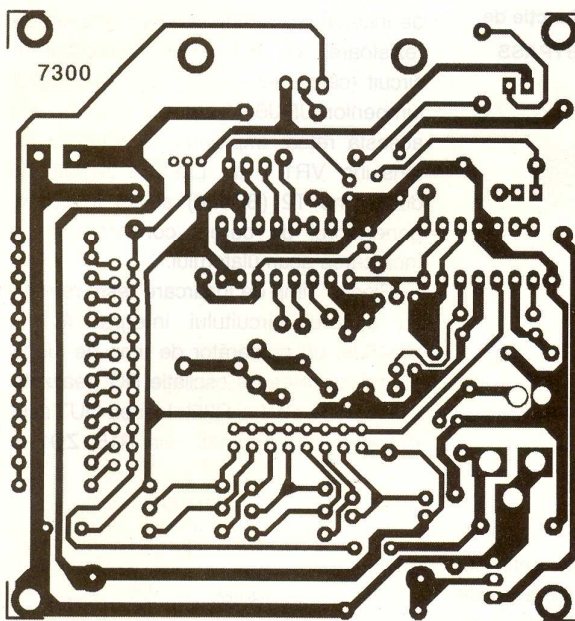


Fig. 5

Circuitul imprimat (bottom)

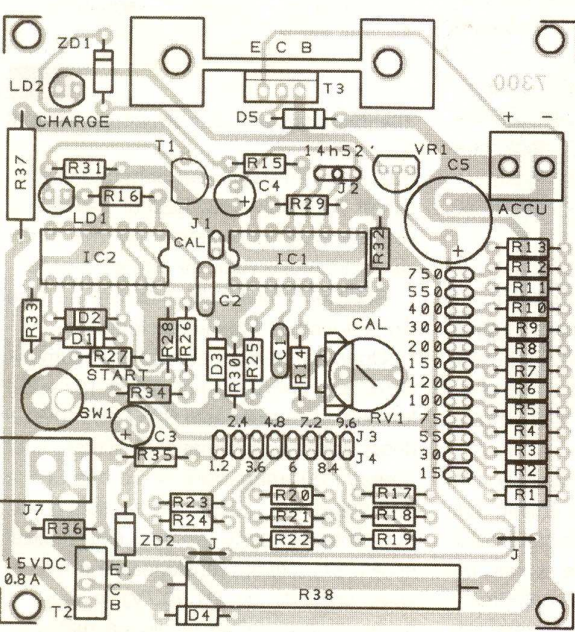


Fig. 6

Desenul de amplasare a componentelor pe circuitul imprimat

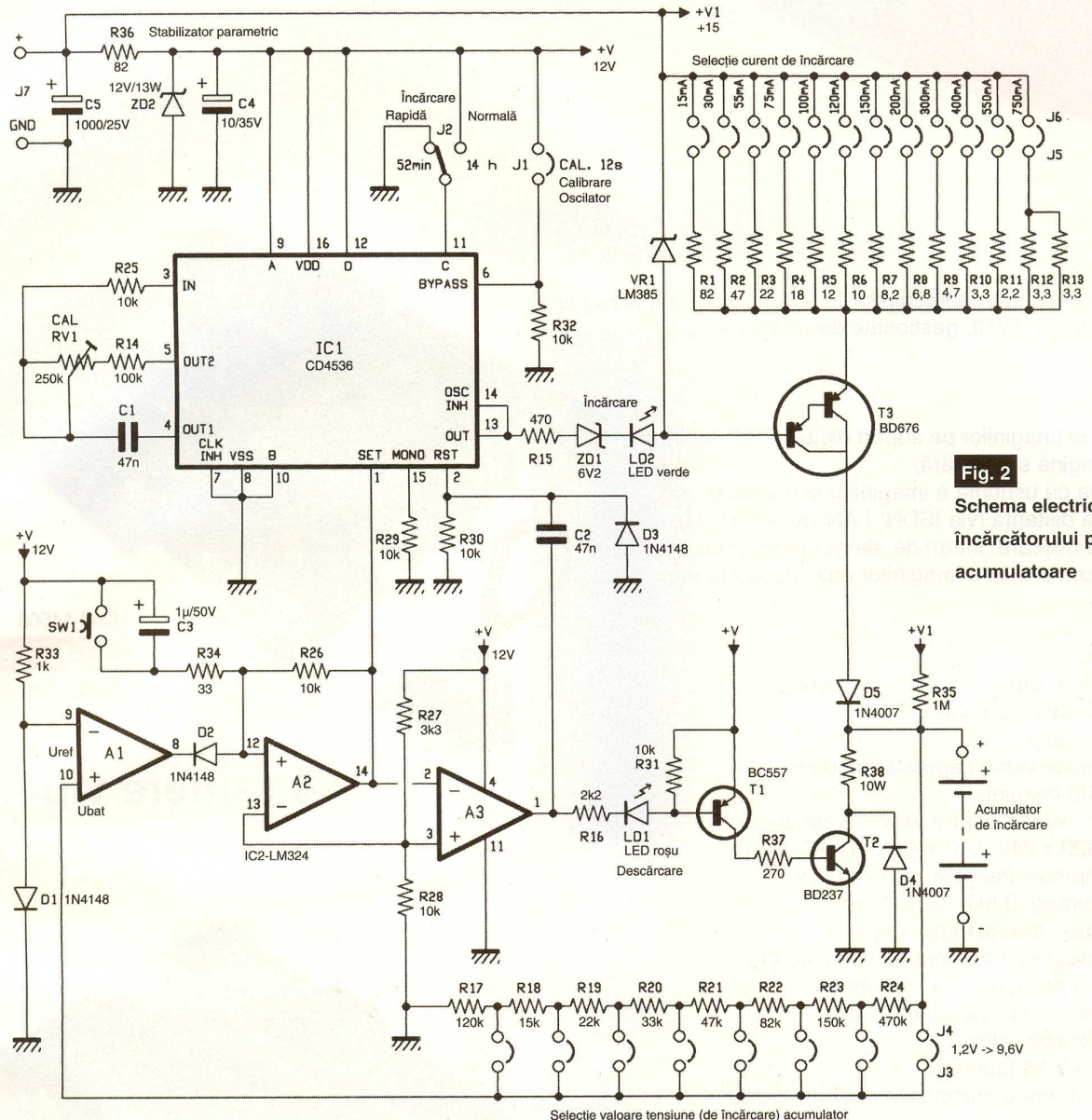


Fig. 2

**Schema electrică a încărcătorului pentru acumulatoare**

capacității nominale înscrisă pe corpul acumulatorului (valoarea respectivă divizată cu 10). Este modalitatea de încărcare aşa zisă normală și recomandată.

Pentru încărcarea lentoare se fac următorii pași:

- se selectează 14 ore din J2;
- se selectează tensiunea de încărcare (J3-J4) corespunzătoare tipului de acumulator;
- din J6-J5 se selectează un curent de încărcare (valoarea se aproximează prin divizare cu 10, aşa cum s-a explicitat mai sus; de exemplu pentru un acumulator cu capacitate de 500mAh rezultă un curent de încărcare de 50mA, iar disponibil avem pe schemă 55mA);

- se apasă SW1, iar încărcarea se termină peste 10h.

Pentru încărcarea rapidă se fac următorii pași:

- se selectează 52 de minute din J2;
- se selectează tensiunea de încărcare (J3-J4);
- din J6-J5 se selectează un curent de încărcare (mai mare, din cele disponibile);
- se apasă SW1, iar încărcarea se termină peste 52 min.

#### Realizarea practică

În figurile 5 și 6 se prezintă desenul circuitului imprimat la scara 1:1, respectiv amplasarea componentelor pe acesta.

O atenție deosebită se acordă lui R37

care trebuie să fie de  $270\Omega$  la 1W, R33 de  $10\Omega$  la 10W și diodei ZD2 - de 12V la 1,3W minim.

Butonul SW1 trebuie să fie normal deschis cu revenire (push-button NO).

Tranzistorul T3 se va monta pe un radiator.

Alimentarea se face cu tensiune continuă, filtrată bine, de 15Vcc, minim 800mA.

Montajul poate fi achiziționat sub formă de kit dezasamblat de la Conex Electronic. Prețul este de 760.000 lei (76 lei noi). La cerere, el se poate oferi și în variantă montat și testat (caz în care se adaugă costul manoperei de montaj)!

# Plăci de captură video

pentru PC

## Aplicații:

- vizualizare live;
- înregistrarea și redarea imaginilor în sistemele de supraveghere video, respectiv TVCI, gestionate de un PC;

- înregistrarea imaginilor pe suport digital (HDD) la 30fps;
- calitate imagine superioară;
- vizualizarea cu ușurință a imaginilor și transmiterea acestora la distanță (via ISDN, LAN sau MODEM);
- detecție de mișcare, intrări de alarmă pentru senzori;
- format de compresie a imaginilor unic, patentat, etc.

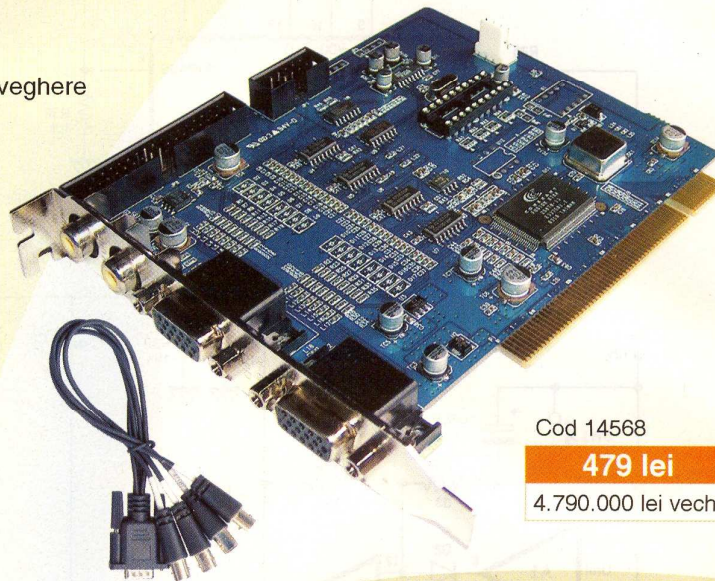
## Caracteristici:

- intrări video: 4 sau 8, funcție de variantă;
- intrări audio: max. 2 canale;
- ieșire TV: 1 canal;
- afisare imagine video capatătă (mod display): 1/4 sau 1/4/8 imagini;
- ieșire video: suport pentru max. 16 canale;
- rezoluție: 320 x 240, 640 x 480 (NTSC / PAL);
- format compresie imagine: .avi sau .iva (format patentat), 0,5kb - 2kb / frame;
- viteza afisare / înregistrare: 30fps;
- detecție mișcare pe tot ecranul sau o porțiune;
- inserare text pe video, auto-resetare;
- control cameră via RS232, 422, 485 (Pan/Tilt/Zoom/Focus);
- intrări senzori: 16 (alarmă);
- conexiune în rețea: multiplex n:n, Web, LAN, Modem;
- sistem operare: Windows 2000 sau XP.

Caracteristici pe care INTOTECH le-a adăugat recent:  
notificare prin e-mail.

## Cerințe de sistem minime:

- recomandat Windows 2000 sau XP;
- CPU Intel Pentium 1,7G;
- RAM: 256;
- placă rețea: 10/100Mbps, Modem;
- pentru Windows 2000 minim DirectX 8.1;
- placă video ATI/Nvidia/Intel 32Mb.



Cod 14568

**479 lei**

4.790.000 lei vechi

## 4 camere video



Cod 15588

**559 lei**

5.590.000 lei vechi

## 8 camere video



# ConexClub

Revistă  
de electronică  
practică  
pentru toți

## Colecție revista Conex Club

**1999-2000**

**19 lei**

190.000 lei vechi

Excepție: septembrie 1999; noiembrie 1999;  
decembrie 1999; iulie/2000; august/2000

**2001**

**19 lei**

190.000 lei vechi

**2002**

**19 lei**

190.000 lei vechi

**1999-2002**

**49 lei**

490.000 lei vechi

**2003**

**29 lei**

290.000 lei vechi

**1999-2003**

**79 lei**

790.000 lei vechi

**2004**

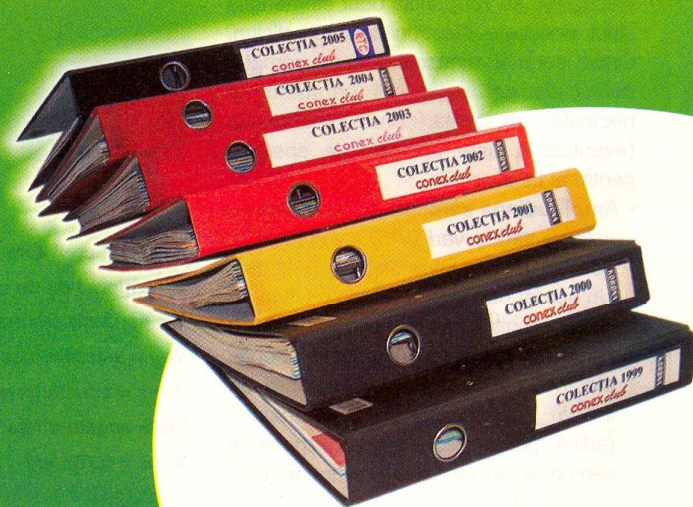
**32 lei**

320.000 lei vechi

**1999-2004**

**99 lei**

990.000 lei vechi



# Generarea semnalelor sinusoidale

prin sinteză digitală directă (I)

## 1. Introducere în practică

### semnalelor sinusoidale

Probabil că cititorul entuziasat s-a întrebat cel puțin odată în viață de ce majoritatea semnalelor electrice care interacționează cu existența noastră fie sunt sinusoidale (de exemplu, tensiunea de rețea), fie au cel puțin o componentă sinusoidală în alcătuirea lor (purtătoarea unui semnal modulat, DTMF, etc). Răspunsul este simplu. Semnalul sinusoidal este cel mai natural și mai apropiat ca aspect, de existența biologică a indivizilor care l-au imaginat și creat (variația parametrilor horoscopului individual în funcție de zilele lunii este cel mai bun exemplu). Monoton pe o semiperioadă, periodic, simetric, cât mai curat din punct de vedere spectral, semnalul sinusoidal stă la baza funcționării tuturor echipamentelor de transmisie a informației dar și a echipamentelor industriale și se regăsește aproape în orice experiment creat de electronist amator sau profesionist, cu sau fără voia acestuia. Până și sistemele digitale cu microprocesoare sau microcontrolere funcționând la frecvențe ridicate beneficiază de existența lui în generatorul de tact. Aici semnalul sinusoidal este distorsionat, "amărât", gata să devină semnal digital, dar componenta sa sinusoidală este în continuare prezentă. Cum teoria semnalelor sinusoidale este probabil cunoscută de orice tehnician electronist, se vor puncta doar elementele strict necesare electronistului practician. Orice semnal sinusoidal este complet definit de cel puțin doi parametri și necesită existența unui osciloskop (eventual a unui analizor de spectru) pentru a face vizibile:

- **Amplitudinea semnalului** măsurată ca valoare vârf la vârf (VPP - volt peak to peak) sau ca valoare efectivă (VRMS). Un aparat de măsură (de tip multimetru DVM - Digital Volt-Meter) furnizează o informație precisă asupra componentei efective, dar nu oferă absolut nici un indiciu despre calitatea semnalului (adică gradul distorsiunilor, zgromotul semnalului sau prezența componentelor

Vasile Surducan

[vsurducan@gmail.com](mailto:vsurducan@gmail.com)

Emanoil Surducan, manu@l30.itim-cj.ro

Institutul Național de Cercetare Dezvoltare pentru Tehnologii Izotopice și Moleculare Cluj-Napoca, <http://www.itim-cj.ro>

continuă parazite, armonici, etc). O măsurare precisă a amplitudinii utilizând un osciloscop analogic nepretențios care se găsește în orice laborator de electronist amator, implică comutarea bazei de timp a osciloscopului până la obținerea unei benzi luminoase continue pe luminoforul tubului catodic. Lățimea benzii este chiar VPP-ul semnalului.

- **Perioada (sau frecvența) semnalului.**

Unui semnal sinusoidal "curat", perioada î se poate măsura utilizând un frecvențmetru sau periodmetru. În practică însă, nu este suficient, pentru că nu întotdeauna semnalul este monoton pe o semialternanță (rezultatul poate fi afișa-

rea unei valori duble față de cea reală) sau amplitudinea semnalului este insuficientă funcționării corecte a frecvențmetrului (mai ales la frecvențe de ordinul a 1GHz). Osciloscopul este cel care oferă informații despre forma efectivă a semnalului sinusoidal, dacă î lipsesc sau nu un număr de alternanțe, dacă este sau nu este modulat sau distorsionat sau dacă este suprapus peste o tensiune continuă (offset). Pentru creșterea preciziei de măsură utilizând același tip de osciloscop de care aminteam, este utilă măsurarea perioadei a 10 alternanțe ale semnalului sinusoidal și împărțirea rezultatului la numărul de

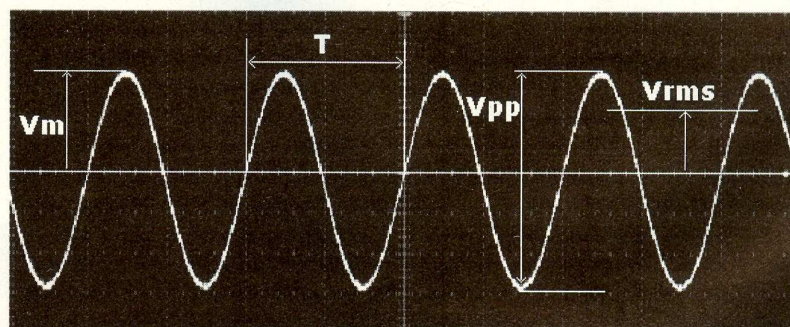


Fig.1

Aspectul unui semnal sinusoidal achiziționat cu un osciloscop digital.

T = perioada semnalului,

Vpp = amplitudinea vârf la vârf,

Vrms = amplitudinea efectivă,

Vm = amplitudinea maximă,  $Vm = Vpp/2$ ,

$Vrms = 0.707 Vm$

alternanțe. În acest mod se reduc erorile de neliniaritate ale bazei de timp, respectiv ale deflexiei orizontale a tubului catodic.

• **Puritate spectrală:** în radiofrecvență (și cel mai bine cunosc acest lucru radioamatorii) coexistă mai multe semnale sinusoidale cu frecvențe diferite, unele sunt armonici ale semnalului de

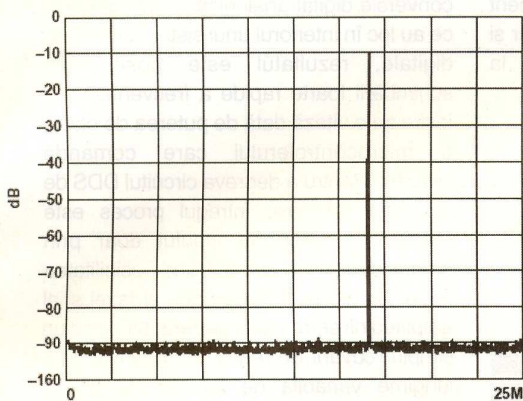


Fig. 2

**Spectrul unui semnal sinusoidal pur cu frecvență de 16,5MHz. SNR = 80dB. Domeniul de frecvență afișat este 0...25MHz**

bază, altele provin ca urmare a mixării diferențelor semnale. Spre deosebire de semnalul sinusoidal pur, care are un spectru conținând o singură componentă de frecvență (și bineîntelez zgomot, figura 2), în urma mixării a două semnale sinusoidale apar cel puțin două componente: suma și diferența celor două semnale și armonice acestora.

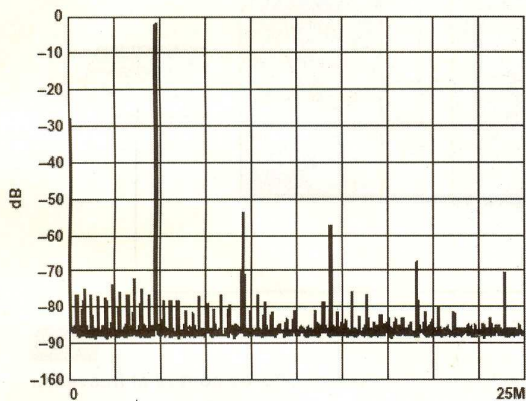


Fig. 3

**Spectrul unui semnal sinusoidal cu frecvență de 4,8MHz. Sunt vizibile armonice pare și impare ale semnalului cât și componente de zgomot cu amplitudine maximă de 10dB cu proveniență necunoscută. Domeniul de frecvență afișat este 0...25MHz. SFDR=51dB.**  
Imbunătățirea SFDR se poate face utilizând un filtru trece-jos cu frecvență de tăiere ceva mai mare decât frecvența fundamentală. Cu cât ordinul filtrului este mai ridicat, SFDR se îmbunătățește pentru că pot fi rejectate armonicele cele mai apropiate de fundamentală (ca frecvență) care au amplitudini mari.

Pentru determinarea exactă a frecvențelor acestora, se utilizează o "magie" care poartă denumirea de Transformată Fourier Rapidă (FFT- Fast Fourier Transformer). În spatele algoritmului matematic complex se găsește un rezultat extrem de simplu și de spectaculos: semnalul sinusoidal reprezentat de osciloscop ca sinusoidă în *domeniul timp* (axa OX) - *amplitudine* (axa OY) este translată în *domeniul frecvență* (axa OX) - *amplitudine* (axa

Pentru situația în care semnalul nu este pur (figura 3), există SFDR (Spurious-Free Dynamic Range, domeniul dinamic curat) un parametru ce definește diferența între cea mai mare amplitudine a frecvenței fundamentale și cea mai mare amplitudine a semnalului nedorit, inclusiv armonicele și semnalele "fantomă" sau "aliases" (în limba engleză: aliases = semnale false). Analizorul de spectru este singurul instrument care ne furnizează informații clare despre

aparatul sau modulul pe care l-am conceput pentru a lucra la frecvențe ridicate (peste 50MHz) și este realizabil la nivel de electronist amator cu experiență în tehnica RF, care deține un osciloscop cu banda analogică de minim 10...20MHz și foarte multă răbdare [1].

Există un număr foarte mare de metode de obținere a semnalelor sinusoidale. Între acestea sunt frecvențe utilizate următoarele:

- oscilatoare LC sau pilotate cu cuart de tip Colpits sau Hartley la frecvențe mari (MHz-GHz);
- oscilatoare stabilizate termic TCXO (frecvențe cuprinse între 32768kHz și 300MHz, preț extrem de ridicat, stabilitate 1ppm...5ppm (părti pe milion), din frecvență generată);
- oscilatoare cu amplificatoare operaționale cu ieșire în quadratură (sinus-cosinus, frecvență sub 1MHz);
- oscilatoare în diverse configurații de punte Wien (frecvențe de ordinul kHz);
- generatori de funcții specializate de tip MAX038, ICL8038, XR2206, etc. (maxim 20MHz);
- obținerea semnalului sinusoidal prin filtrarea unui semnal triunghiular, dreptunghiular sau PWM cu un LPF (Low Pass Filter - filtru trece jos) de ordin superior (frecvențele maxime obținute sunt de ordinul sutelor de kHz);
- utilizarea unui VCO (Voltage Controlled Oscillator - oscilator controlat în tensiune) cu diodă varicap în bucla unui PLL (Phase Lock Loop) cu comandă digitală pe bus I2C (în cazul majorității tunerelor cu intrare FIF-UIF - generează maxim 1,3GHz sau tunere cu intrare SAT (receptor de satelit) - generează maxim 2,5GHz; ambele echipamente receptoare de televiziune moderne, respectiv în cazul blocurilor de sinteză frecvență din telefoanele celulare sau stațiile de emisie-recepție);
- utilizarea amplificatoarelor cu căstig controlat VGA (Variable Gain Amplifier) ca oscillator cu frecvență fixă, prin forțarea intrării lor în oscilație în afara benzii de lucru;
- sinteza digitală directă, domeniul de frecvență cuprins între 1Hz până la 500MHz, rezoluția de control de ordinul mHz.

Fiecare din metodele amintite au avantaje și dezavantaje și trebuie folosite acolo unde sunt cele mai potrivite (fie se solicită raport optim preț-performanță, fie se solicită performanță și simplitate în utilizare și atunci prețul nu este definito). Deși aspectul semnalului sinusoidal generat prin oricare din metodele prezentate este

același (utilizând pentru vizualizare un osciloscop performant și presupunând că semnalul are o frecvență situată în banda analogică de intrare a osciloscopului),

dintre diversele etaje ale unui echipament de RF sau IF, lipsa adaptării ducând pur și simplu la dispariția semnalului sau la înncarcarea lui în zgromot.

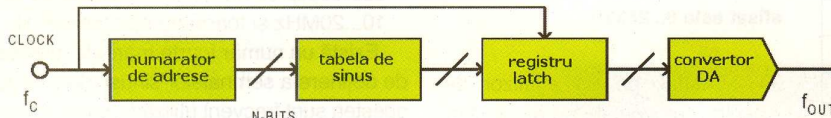


Fig. 4

Principiul de funcționare simplificat al unui circuit DDS

spectrul semnalelor va fi total diferit pentru fiecare din cazuri în parte. Și aceasta pentru că armonicele nu pot fi vizualizate cu osciloscopul decât dacă au amplitudine comparabilă cu semnalul care le-a generat (altfel nu pot fi sincronizate), sau utilizând metode destul de complicate (căutarea "bătăilor", provenite din mixarea a două semnale. Un aspect important, deloc simplu de realizat, este controlul precis al amplitudinii semnalelor sinusoidale cu frecvență ridicată. Amplificatoarele cu căstig variabil au o bandă de frecvență limitată, iar divisorul de tensiune clasic care funcționează bine la frecvențe mici, introduce distorsiuni inacceptabile (chiar dacă sunt corectate prin adaptare cu condensatori semireglabili) la frecvențe ridicate. Suprapusă peste toate aceste probleme este și adaptarea de impedanță

## 2. Sinteză digitală directă - DDS (Direct Digital Synthesis)

Sinteză digitală directă [2] este o metodă de obținere a unui semnal analogic sinusoidal prin generarea digitală a unui semnal variabil în timp, urmat de o

conversie digital-analogică. Cum operațiile ce au loc în interiorul unui sistem DDS sunt digitale, rezultatul este posibilitatea schimbării foarte rapide a frecvențelor de ieșire cu o viteză dată de puterea de calcul a microcontrolerului care comandă circuitul. Pentru a degrevă circuitul DDS de algoritmi software, întregul proces este realizat în interiorul cipului doar prin module hardware, efectul fiind posibilitatea reglajului digital al frecvenței, al fazei și al amplitudinii semnalului generat utilizând un simplu "cuvânt de reglaj" (tuning word) cu lungime variabilă de 24...48 de biți în funcție de tipul cipului DDS. Performanța obținută are și o consecință neplăcută: prețul nu este tocmai neglijabil. Tocmai pentru a-l reduce, producătorul Analog Devices, căci despre el este vorba, a

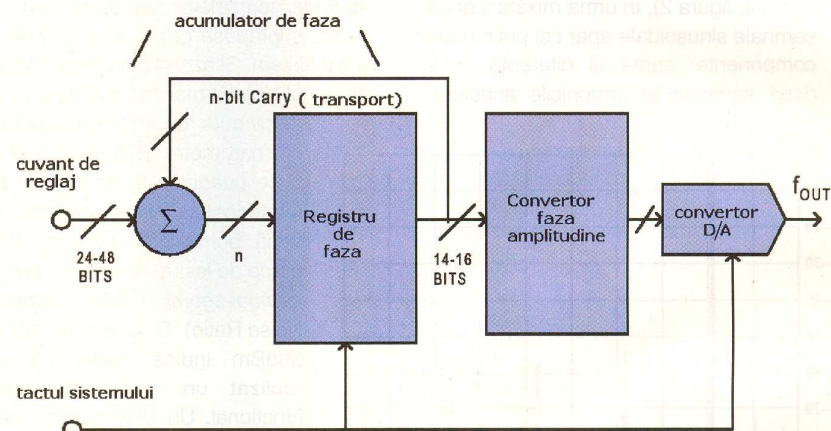


Fig. 5

Sistem DDS cu control al frecvenței

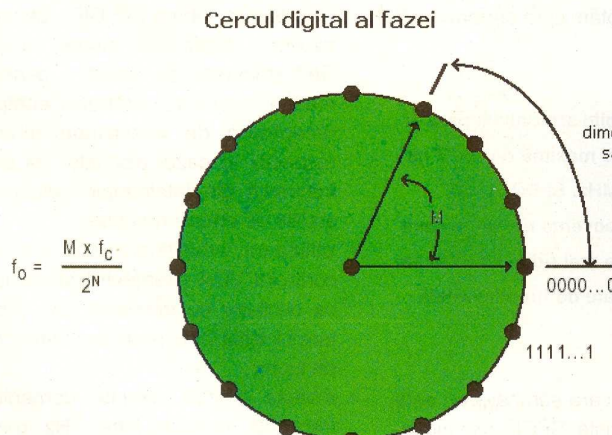


Fig. 6

Cercul digital al fazei, utilizat pentru înțelegerea funcționării acumulatorului de fază

| n  | numarul de puncte |
|----|-------------------|
| 8  | 256               |
| 12 | 4096              |
| 16 | 65535             |
| 20 | 1048576           |
| 24 | 16777216          |
| 28 | 268435456         |
| 32 | 4294967296        |
| 48 | 281474976710656   |

conceput o întreagă familie de circuite digitale DDS, unele dintre ele având preț mai scăzut, în detrimentul lipsei unor facilități.

Arhitectura simplificată a principiului DDS apare în figura 4. Un generator stabil de tact (semnal logic) încarcă un numărător de adresă ce adresează o memorie de tip PROM în care se găsește stocată informația digitală corespunzătoare unei perioade complete a semnalului sinusoidal (pentru utilizatorii de microcontrolere denumirea consacrată este sine lookup table). Convertorul D/A de mare viteză este înscris cu conținutul tabelei din memorie prin intermediul unui latch ce se încarcă cu frecvența de tact a sistemului (fc), la ieșirea lui regăsindu-se un semnal sinusoidal a cărui formă depinde de rezoluția convertorului A/D și de numărul de biți pe care a fost stocată informația semnalului sinusoidal, respectiv de

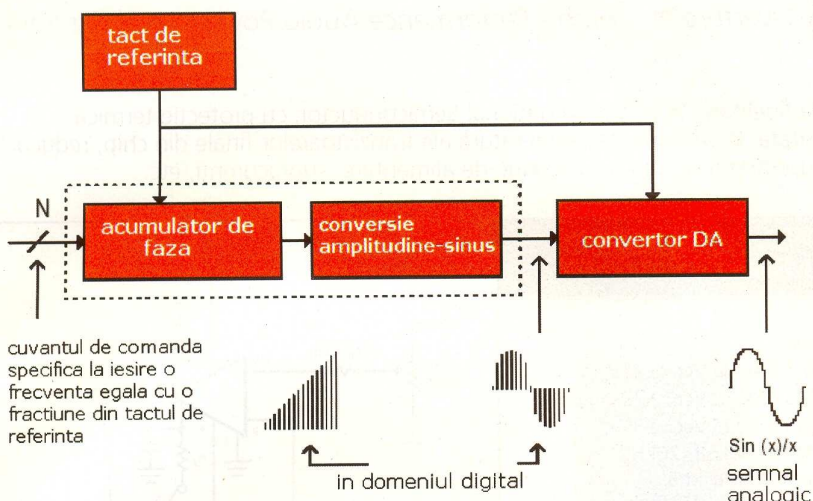


Fig. 7

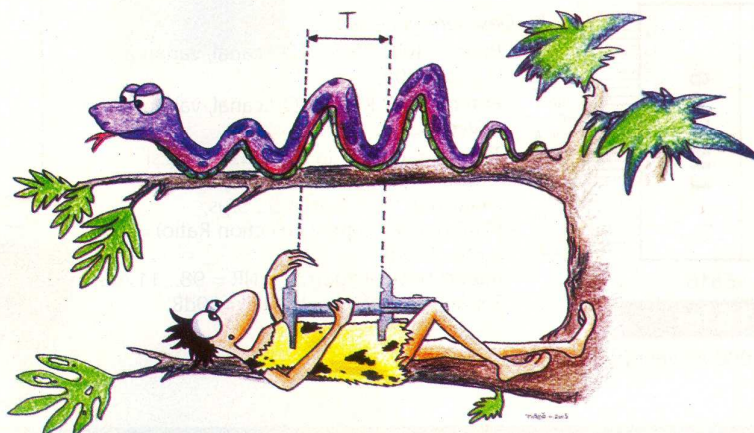
**Modul de "curgere" a semnalelor într-o arhitectură DDS**

frecvența de tact a sistemului (se poate obține maxim  $f_c/2$ ). Deși în această arhitectură DDS simplistă, fidelitatea semnalului sinusoidal generat (modul în care forma semnalului reproduce un semnal sinusoidal ideal) este bună, jitterul semnalului suficient de mic pentru majoritatea aplicațiilor, există un mare dezavantaj: frecvența semnalului de ieșire nu poate fi schimbată doar dacă se modifică informația stocată în memoria PROM.

Pentru a corecta acest neajuns s-a introdus un acumulator de fază (figura 5) între tabela de sinus și cuvântul de reglaj care o accesează, renunțându-se la numărătorul de adrese. Acumulatorul de fază este realizat dintr-un numărător variabil de N biți și un registru de fază. Bitul de transport (carry) acționează ca un vector rotitor al fazei (*phase wheel*). Pentru a înțelege acest principiu de bază trebuie să ne imaginăm oscilația sinusoidală ca fiind creată de un vector rotitor (figura 6) pe cercul fazelor semnalului. Fiecare punct de pe cercul fazelor semnalului (înțeles ca digital) corespunde cu un punct de pe semnalul sinusoidal generat (analogic) pe parcursul unei perioade. Cum vectorul se rotește pe cercul fazelor, imaginăți-vă că este generat un semnal sinusoidal corespunzător. O rotație completă a vectorului la viteza constantă corespunde unei perioade complete a semnalului sinusoidal generat. Acumulatorul de fază (figura 5) este echivalentul mișcării vectorului pe cercul fazelor. Conținutul acumulatorului de fază corespunde punctelor ce generează formă semnalului sinusoidal într-o perioadă. Numărul de puncte discrete

conținut pe cercul fazelor este determinat de rezoluția  $N$  a acumulatorului de fază. Îeșirea acumulatorului de fază este liniară și nu poate fi utilizată direct pentru a genera semnalul sinusoidal. De aceea este necesară existența unui tabel de conversie fază-amplitudine cu rolul de conversie instantanea a informației stocate în acumulatorul de fază în amplitudine de

Acumulatorul de fază este de fapt un numărător modulo  $M$  care își incrementează conținutul de fiecare dată când recepționează un impuls de tact. Mărimea incrementului este determinată de un număr digital  $M$  conținut într-un registru de fază (*delta phase register*), care este adunat cu valoarea depășirii (*overflow*) generată de numărător. Numărul din registrul de fază conține de fapt dimensiunea săriturii (figura 6) adică câte puncte vor fi sărite pe cercul digital al fazei. Cu cât săritura va fi mai mare, cu atât mai repede acumulatorul de fază va intra în depășire și va încheia ciclul echivalent al generării unui perioade de semnal sinusoidal. Pentru un acumulator de fază de 32 de biți și valoare lui  $M = 00000000000000000000000000000001$ , acumulatorul de fază va intra în depășire după  $2^{32}$  impulsuri de tact. Dacă valoarea lui  $M = 01111111111111111111111111111111$  1111 acumulatorul de fază va intra în depășire după numai 2 impulsuri de tact. Acest control al dimensiunii săriturii este de fapt rezoluția cu care se schimbă frecvența generată de DDS. Relația care permite



semnal sinusoidal care este oferită direct convertorului D/A. Deoarece semnalul sinusoidal este simetric, este suficientă utilizarea a  $\frac{1}{4}$  din ciclul de date din acumulatorul de fază pentru a sintetiza la ieșire un ciclu sinusoidal complet. Acest lucru micșorează capacitatea de memorie necesară printr-o simplă logică de apelare a același portiunii de memorie (*remapping algorithm*). Astfel memoria fază-amplitudine generează întreaga informație necesară, prin citirea în sens crescător respectiv descrescător al adreselor ei. Reprezentarea modului de curgere a semnalelor în arhitectura DDS apare în figura 7.

reglarea precisă a acestei frecvențe este:

$$\text{FOUT} = (M \text{ (REFCLK)}) / 2^N$$

unde:

FOUT = frecvența de ieșire a DDS;

M = cuvântul binar de comandă;

REFCLK = tactul intern de referință;

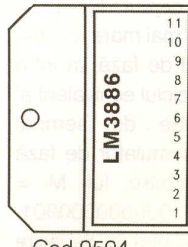
N = lungimea în biți a acumulatorului de fază.

#### Bibliografie:

1. <http://www.hanssummers.com/electronics/equipment/spectrumanalysertemp/index.htm>
2. <http://www.analog.com>

Circuite integrate amplificatoare audio de înaltă fidelitate, realizate de National Semiconductor, cu protecție termică SpiKE™ (protecție dinamică instantanee, patentată, la vârfurile de temperatură ale tranzistoarelor finale din chip, reducând stresul termic), potenție la supratemperatură, supratensiune sau subteniune de alimentare, supracurenți, etc.

### LM3886 - Amplificator audio 68W RMS, de mare performanță, cu funcție de MUTE



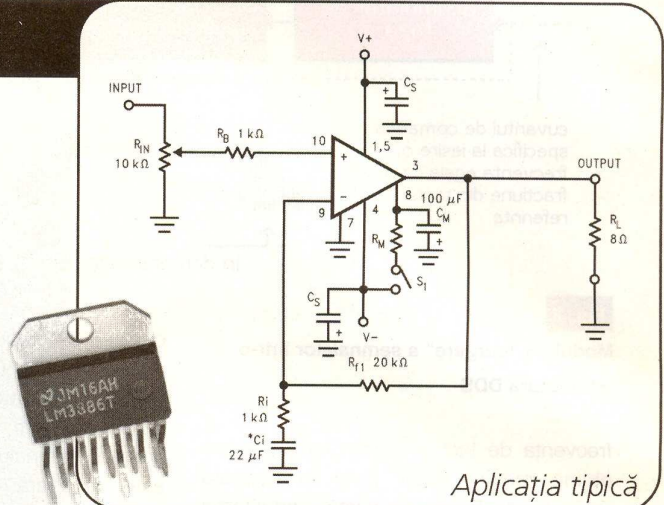
Cod 9594

**14 lei**

140.000 lei vechi

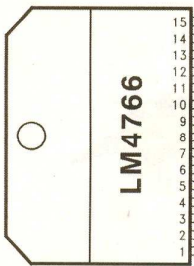
#### Descriere generală:

- Putere: 68W RMS / 4Ω la Vcc=±28V;
- Putere: 38W RMS / 8Ω la Vcc=±28V;
- Putere: 50W RMS / 8Ω la Vcc=±35V;
- THD+N = 0,03% la 20Hz≤f≤20kHz și câștig 26dB, putere maximă;
- Dinamică: Slew Rate = 8...19V/μs;
- PSRR (Power Supply Rejection Ratio) = 85...120dB;
- Raport semnal-zgomot, SNR = 92,5dB.



*Aplicația tipică*

### LM4766 - Amplificator audio 40W RMS dual (STEREO), cu funcție de MUTE



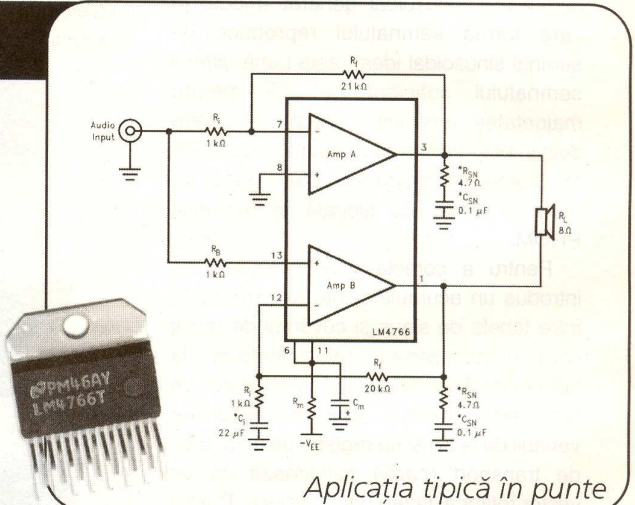
Cod 15516

**16 lei**

160.000 lei vechi

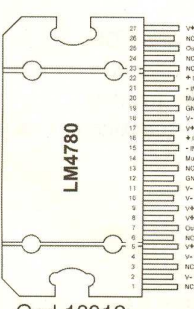
#### Descriere generală:

- Putere: 40W RMS / 8Ω / canal, varianta T, la Vcc=±30V;
- Putere: 30W RMS / 8Ω / canal, varianta TF, la Vcc=±30V;
- THD+N = 0,06% la 20Hz≤f≤20kHz și câștig 26dB, putere maximă;
- Dinamică: Slew Rate = 5...9V/μs;
- PSRR (Power Supply Rejection Ratio) = 85...120dB;
- Raport semnal-zgomot, SNR = 98...112dB;
- Separarea între canale Xtalk=60dB.



*Aplicația tipică în punte*

### LM4780 - Amplificator audio 60W RMS dual (STEREO), 120W RMS Mono (iesiri în punte/paralel), cu funcție de MUTE



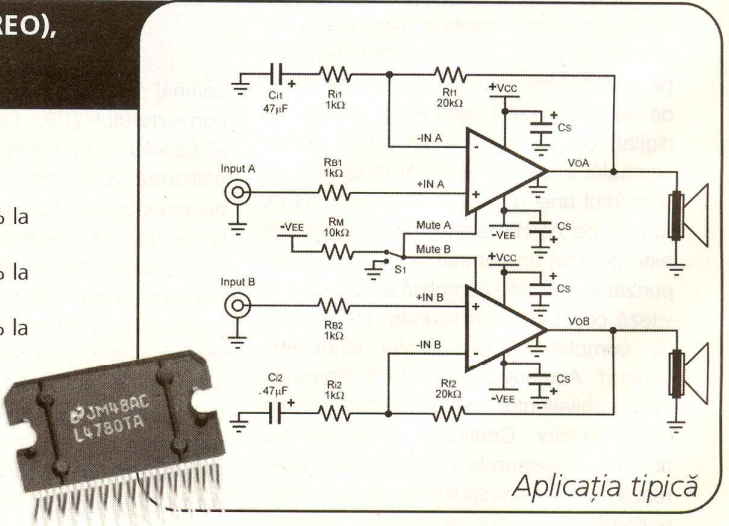
Cod 13012

**43 lei**

430.000 lei vechi

#### Descriere generală:

- Putere ieșire la THD+N = 0,5%, la 1kHz, pe sarcină 8Ω, 60W tipic;
- Putere: 2x30W RMS / 4Ω, THD+N = 0,07% la 20Hz≤f≤20kHz, Vcc=±25V;
- Putere: 2x30W RMS / 8Ω, THD+N = 0,05% la 20Hz≤f≤20kHz, Vcc=±30V;
- Putere: 2x30W RMS / 6Ω, THD+N = 0,07% la 20Hz≤f≤20kHz, Vcc=±25V;
- Dinamică: Slew Rate = 8...19V/μs;
- PSRR (Power Supply Rejection Ratio) = 85...120dB;
- Raport semnal-zgomot, SNR = 97...114dB;
- Separarea între canale Xtalk=70...72dB.



*Aplicația tipică*



## Service GSM

### Afișare încărcare permanentă la Nokia 3310

Croif V. Constantin  
*redactie@conexclub.ro*  
 Eduard Constantin  
*Electronik-Z, electrozet@k.ro*

**O**poteză primară a cauzei care determină defectul "afişare în mod permanent, chiar și fără încărcătorul de retea conectat, a mesajului <<încărcare>> pe display", nu poate fi formulată foarte clar.

Se cunoaște însă, că are loc o întrerupere în circuitul imprimat multistrat (multi-layer), la una din trecerile în cablajul imprimat (pe care o vom indica), pe traseul de alimentare care realizează detectia acumulatorului și măsurarea tensiunii acestuia, către CHAPS.

Modelul Nokia 3310 a fost prezentat detaliat în revista Conex Club. Informații cu privire la operația de încărcare au fost oferite în numărul 9/2004 la pagina 24. Recomandăm lectura acelui articol înaintea parcurgerii prezentului.

Reluăm în amănunt, în figura 1, schema simplificată a etajului de încărcare și alimentare de la acumulator la modelul 3310. Încărcarea se realizează pe la conectorul dedicat, respectiv linia CHRGR+, protecția electrică realizându-

se cu ajutorul unui varistor și a unei siguranțe fusibile, F200 (de 1,5A), pe traseul figurat cu verde în figura 1. În procesorul MAD sunt memorate două valori limită de tensiune pentru întreținerea corectă a acumulatorului (limite pentru încărcare completă și descărcare), transmise la CHAPS (N200) pe linia CHAR\_LIM. Aceste limite sunt comparate cu tensiunea curentă a acumulatorului, care este măsurată în punctul comun al divizorului rezistiv R200-R208 (comutat la masă de tranzistorul V205-b, cu rol de control). O simplă explicație pe scurt, se impunea!

Rămânând la schema din figura 1, să privim traseele electrice figurate colorat. Cu albastru s-a desenat traseul care leagă divizorul rezistiv de mai sus amintit, pentru măsurarea tensiunii acumulatorului (la pinul VBAT de la CHAPS), iar cu roșu traseul de plus de la acumulator la CCONT și CHAPS, via L201 și respectiv R204 (de  $0,22\Omega$ , un sunt pe care se măsoară tensiunea proporțională cu consumul telefonului).

Se remarcă punctul de intersecție dintre cele două trasee electrice colorate în roșu și albastru. Acestea există practic și fizic pe cablajul telefonului, față cu tastatura și display-ul (vezi fotografii, figura 2). Traseul roșu este mai lat, cca. 2mm, iar cel albastru de apoximativ 0,1...0,2mm.

**La NOKIA 3310, în categoria defectelor frecvente, intră și mesajul de "încărcare acumulator", afișat permanent pe display-ul terminalului, chiar în absența încărcătorului.**

**Acumulatorul nu este prezentat în manualele de service ale producătorului, iar prezentarea sa în revista Conex Club constituie, probabil, o premieră pe care sperăm că cititorii o vor aprecia.**

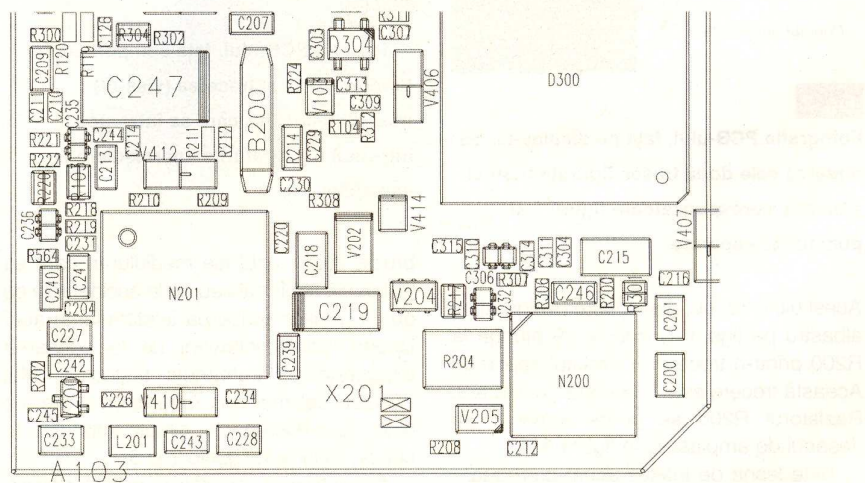


Fig. 4

Desenul de amplasare având componente în cauză, în figura 1

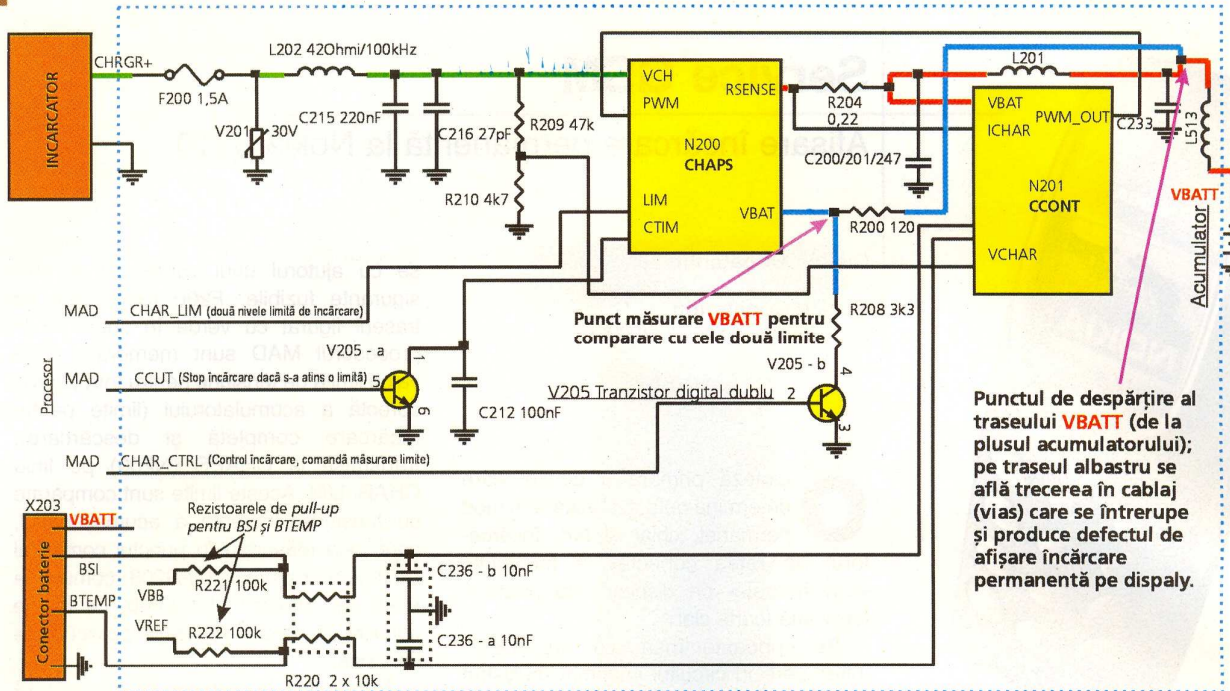


Fig. 1

Schema electrică simplificată a blocului de încărcare

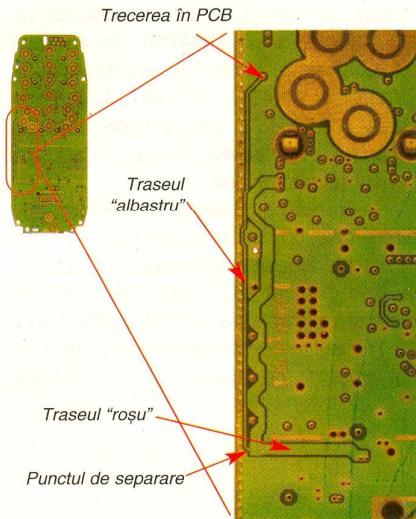


Fig. 2

Fotografia PCB-ului, față cu display-ul. Se remarcă cele două trasee figurate roșu și albastru, corespunzătoare figurii 1 și punctul de separare

Acest ultim traseu, mai subțire (și figurat cu albastru pe figura 1) trebuie să ajungă la R200 printr-o trecere în circuitul imprimat. Această trecere este "punctată" în figura 3. Rezistorul R200 se poate remarcă pe desenul de amplasare în figura 4.

Este lesne de înțeles acum cum apare defectul respectiv! Se întrerupe fizic traseul "albastru" (cauzele pot fi numeroase - corodarea traseului, fiind foarte subțire, de la particulele de apă rezultante de la trecerile

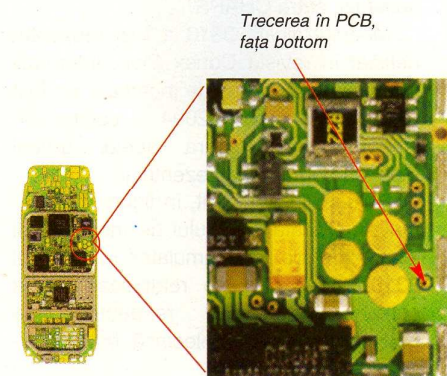


Fig. 3

Fotografia PCB-ului, față componentelor.

Se puncțează și trecerea (vias-ul) traseului albastru care se întrerupe într-unul din straturile intermedie ale cablajului.

bruște rece - cald ale mediului în care se utilizează telefonul sau de la accidentele ce au ca urmare scăparea telefonului în apă! Uneori, poate interveni de la apăsarea exagerată pe butoanele tasturii). Mai concret, cel mai des întreruperea are loc chiar la trecerea de circuit imprimat în cauză, vizibilă în figurele 2 și 3.

Cum traseul "albastru" este întrerupt, N200 nu primește informația valorii tensiunii electrice a acumulatorului, pinul VBAT rămâne flotant sau este interpretat cu valoare sub limita inferioară admisă, iar

încărcarea este comutată *on*, chiar în lipsa unui încărcător conectat! Astfel, apare permanent afișat pe display mesajul că acumulatorul se încarcă!

Rezultatele și testele practice confirmă presupunerea. *Defectul se rezolvă dacă*, de la trecerea de cablaj respectivă, se realizează o "punte" (din conductor electric foarte subțire) către pinul de plus, VBATT, a acumulatorului, la conectorul X203 de exemplu. Mai corect este să se identifice L513 (în imediata vecinătate a conectorului X203, în stânga, figura 5).

Un plan general de amplasare a componentelor pe PCB a fost prezentat în Conex Club nr. 9-2004.

#### Bibliografie

1. Manuale service pentru Nokia 3310.

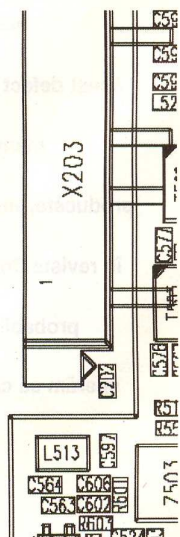


Fig. 5

Desen de amplasare a componentelor pe PCB-ul modelului 3310. Lângă conectorul bateriei, X203 se remarcă inductanța L513

### **3 MODURI PENTRU A PRIMI REVISTA**

**1) Abonament pe 12 luni**

**30 lei**

300.000 lei vechi

**2) Abonament pe 6 luni**

**18 lei**

180.000 lei vechi

**3) Angajament: plata lunar**

**ramburs**

(prețul revistei plus taxe de expediere)

Pentru obținerea revistei trimiteți talonul completat și contravaloarea abonamentului (prețul în lei) pe

**ADRESA**



**Simona Enache**

Revista **ConexClub**

Str. Maica Domnului 48,  
sector 2, București,  
Cod poștal 023725

Revista Conex Club se expediază folosind serviciile Companiei Naționale Poșta Română. În cazul în care nu primiți revista sau primiți un exemplar deteriorat vă rugăm să luați legătura cu redacția pentru remedierea neplăcutei situații.

# **ConexClub**

**TALON DE  
ABONAMENT**

Doreșc să mă abonez la revista **ConexClub** începând cu nr.

Nume ..... Prenume .....

..... / anul ..... pe o perioadă de:

Str. ..... nr. .... bl. .... sc. .... et. .... ap. ....

12 luni  6 luni

Localitatea ..... Județ / Sector .....

Am achitat mandatul poștal nr. ..... din data

Cod poștal ..... Tel. :

..... suma de:  
 300 000 lei (30 lei noi)  
 180 000 lei (18 lei noi)

Data ..... Semnătura .....

# **ConexClub**

**TALON DE  
ANGAJAMENT**

Doreșc să mi se expedieze lunar, cu plata ramburs, revista **ConexClub**. Mă angajez să achit contravaloarea revistei plus taxele de expediere.

Nume ..... Prenume .....

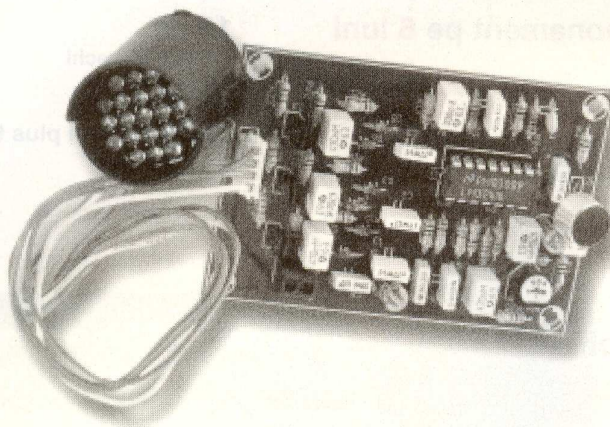
Doreșc ca expedierea să se facă începând cu nr. ..... / .....

Str. ..... nr. .... bl. .... sc. .... et. .... ap. ....

Localitatea ..... Județ / Sector .....

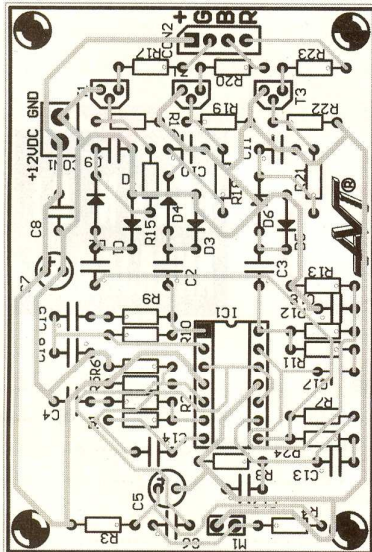
Cod poștal ..... Tel. :

Data ..... Semnătura .....



**O** aplicație interesantă, cu posibile multiple utilizări (săli disco, lumină de ambianță, etc.) este realizată de firma AVT, cuoscut producător de kit-uri în Europa Centrală și a fost prezentat în paginile revistei *Elektronika Praktyczna*, nr. 1/2001.

Analizând schema electrică alăturată, se remarcă că elementul care generează lumina, în nuanțe diferite, este un element de afișare cu LED-uri, denumit **cluster**. Modelul utilizat, seria BL104\_, are LED-uri de diferite culori, respectiv 4 roșii (înseriate), 9 albastre (3 grupuri monate în paralel de căte 3 LED-uri înnseriate) și 8 verzi (două grupuri paralele de căte 4 LED-uri înnseriate) și este produs de Kingbright (al cărui furnizor este Conex Electronic via Velleman).



Pe cablaj, conectorul CON2, la care se conectează clusterul, are notate conexiunile pe culori (R - roșu, G - Verde, B - Albastru), cel de-al 4-lea fir, fiind comun anozilor (+).

Teoretic și practic se poate utiliza orice alt model de cluster, la Conex Electronic comercializându-se câteva modele.

Traductorul de sunet este un microfon. Sunetul este filtrat cu rețele RC - montate în buclele de reacție ale comparatoarelor tip LM324. Alimentarea montajului se realizează cu 12...15V la conectorul CON1.

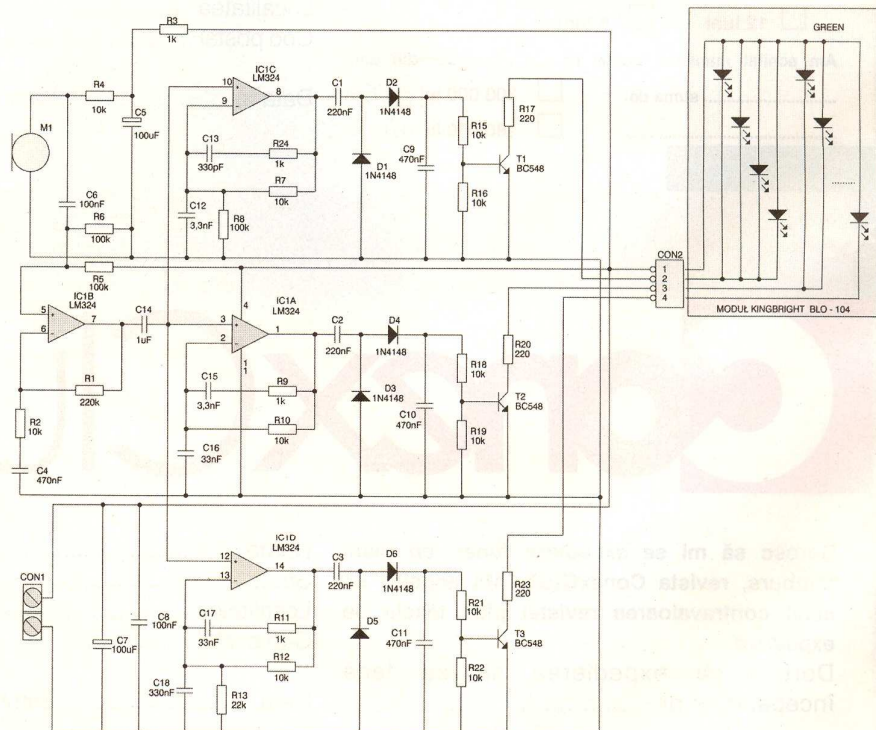
## Sunet și lumini

# Efecte luminoase cu cluster

### Info ...

| Cod  | Tip                     | Pret (lei)              |
|------|-------------------------|-------------------------|
| 4813 | LM324N                  | 0,5<br>5.000 lei vechi  |
| 320  | BC548B (BC172)          | 0,12<br>1.200 lei vechi |
| 2467 | 1N4148                  | 0,05<br>500 lei vechi   |
| 5518 | Cluster 26mm<br>6R8G    | 12<br>120.000 lei vechi |
| 5519 | Cluster 26mm<br>SR14    | 14<br>140.000 lei vechi |
| 5520 | Cluster 52mm<br>20SR30G | 41<br>410.000 lei vechi |
| 5521 | Cluster 52mm<br>SR50    | 41<br>410.000 lei vechi |

... la **conex**  
**electronic**





## Testarea rezistenței interne a acumulatoarelor electrice

**P**ropusă de Victor Erdstein, în Silocon Chip Online, schema electrică permite verificarea stării acumulatorilor cu acid sau gel, a căror capacitate electrică este mai mare de 20Ah. Oferă capabilitatea de a comuta sarcini cu un consum de 18A cu o frecvență de 50Hz. Astfel, cu ajutorul unui multimetru digital conectat la bornele acumulatorului, se poate determina ușor rezistența internă. Sarcina comutată (co-

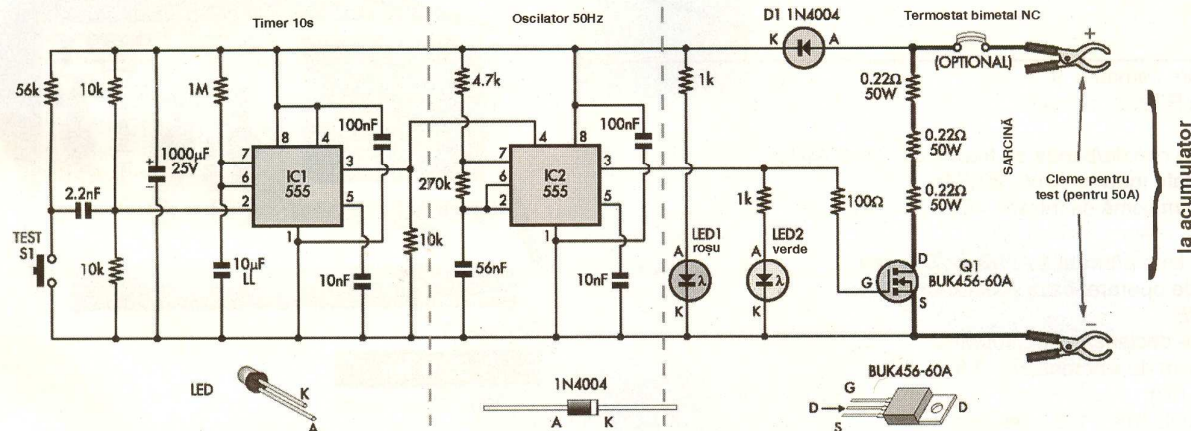
necătată la bornele acumulatorului) este formată din trei rezistoare de putere, 50W, inseriate, cu  $0,22\Omega$  fiecare. Comutarea se face cu ajutorul unui tranzistor MOS-FET de putere (orice model care poate comuta curenti peste 20A).

Frecvența de comutare pe 50Hz, activă pe o durată de 10s cât durează testul, este realizată cu timere 555, primul în configurație monostabil (pentru 10s), al doilea astabil (oscilator) pe 50Hz. La apăsarea butonului S1 testul începe și

durează 10s, timp în care la bornele acumulatorului sunt conectate un multimetru și sarcina (prin montajul propus). LED1 semnalizează tensiunea de alimentare, LED2 durata testului.

Tensiunea măsurată de multimetru, pe gama de mV curenț alternativ, AC, se împarte la 10, rezultând valoarea rezistenței interne a acumulatorului testat!

De reținut că rezistența internă a unui acumulator are limitele normale între 3 și 15mΩ.



**Editor:** S. C. Conex Electronic S.R.L., J40/8557/1991

**Director:** Constantin Mihalache

**Responsabil vânzări:** Simona Enache ([vinzari@conxelectronic.ro](mailto:vinzari@conxelectronic.ro))

**Abonamente:** Simona Enache ([vinzari@conxelectronic.ro](mailto:vinzari@conxelectronic.ro))

3/2005

### COLECTIVUL DE REDACTIE

**Redactor șef onorific:** Ilie Mihăescu

**Redactor coordonator:** Croi Valentin Constantin ([redactie@conexclub.ro](mailto:redactie@conexclub.ro))

**Consultant științific:** Norocel Dragoș Codreanu ([norocel\\_codreanu@yahoo.com](mailto:norocel_codreanu@yahoo.com))

**Redactori:** George Pintilie ([george.pintilie@conxelectronic.ro](mailto:george.pintilie@conxelectronic.ro)), Lucian Bercian ([lucian.bercian@conxelectronic.ro](mailto:lucian.bercian@conxelectronic.ro)), Cristian Georgescu ([projectare@conxelectronic.ro](mailto:projectare@conxelectronic.ro))

**Colaboratori:** Stefan Laurențiu ([stefan\\_l\\_2003@yahoo.com](mailto:stefan_l_2003@yahoo.com)), Vasile Surducan ([vasile@130.itim-cj.ro](mailto:vasile@130.itim-cj.ro)), Sandu Doru ([comraex@yahoo.com](mailto:comraex@yahoo.com)), Gheorghe Revenco

**Tehnoredactare și prezentare grafică:** Claudia Sandu ([claudia@conxelectronic.ro](mailto:claudia@conxelectronic.ro))

**Adresa redacției:** 023725, Str. Maica Domnului nr. 48, sector 2, București, România - Tel.: 021-242.22.06, 021-242.77.66  
Fax: 021-242.09.79

**www.conxelectronic.ro**

**ISSN: 1454-7708**

**Tipar:** MEGApres (adresa: Bd. Metalurgiei nr. 32-44, sector 4, București)

Tel.: (+40-21) 461.08.10; 461.08.08; Fax: (+40-21) 461.08.09, 461.08.19

# OSCILOSCOAPE

## HM303

### VERTICAL:

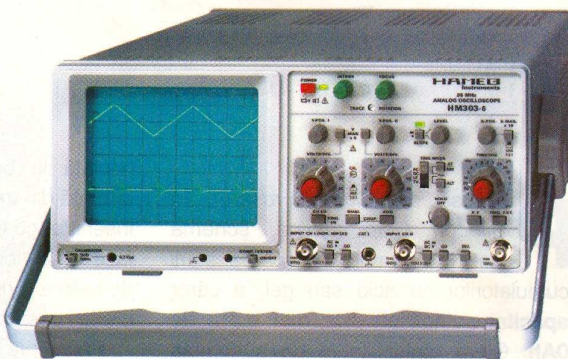
- număr de canale/banda de frecvență: 2/0-35MHz;
- moduri de operare: CH1, CH2, -CH2, DUAL, ADD, SUBSTRACT;
- sensibilitate intrare: 5mV...20V/div.;
- tensiune maximă de intrare: 400V (c.c. + c.a.<sub>v.v</sub>);

### ORIZONTAL:

- baza de timp principală A: 0,1μs...0,2s/div.;
- moduri de operare: baza A, X-Y;
- banda în mod X-Y: 0...2,5MHz;

### DECLANȘARE:

- banda de declanșare: 0...100MHz;
- nivel minim de sincronizare: 0,5div.;
- sursa de declanșare: CH1, CH2, ALT, LINE, EXT;
- masă: 5,4kg;
- dimensiuni: 285 x 125 x 380mm;
- accesorii incluse: cordon de alimentare, manual de utilizare și două sonde 1:1/10:1.



Cod 5209

**2.269 lei**

22.690.000 lei vechi

## HM504

- memorare semnale: 9;
- interfață RS232: inclusă;

### VERTICAL:

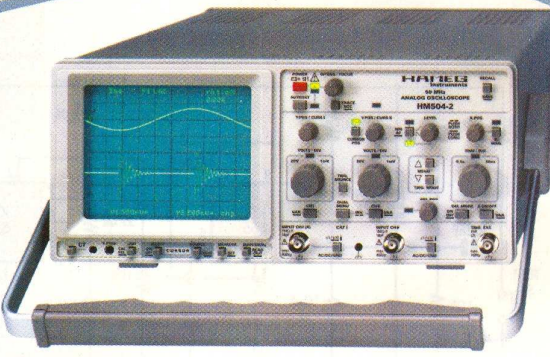
- număr de canale/banda de frecvență: 2/0-50MHz;
- sensibilitate intrare: 1mV...20V/div.;
- tensiune maximă de intrare: 400V (c.c. + c.a.<sub>v.v</sub>);

### ORIZONTAL:

- baza de timp principală A: 50ns...0,5s/div.;
- moduri de operare: baza A, A+zoom, X-Y;

### DECLANȘARE:

- banda de declanșare: 0...100MHz;
- nivel minim de sincronizare: 0,5 div.;
- masă: 5,6kg;
- dimensiuni: 285 x 125 x 380mm;
- accesorii incluse: cordon de alimentare, manual de utilizare și două sonde 1:1/10:1, software control la distanță.



Cod 5210

**3.529 lei**

35.290.000 lei vechi

## HM507

- memorare semnale: 9;
- interfață RS232 + software: incluse;
- interfață Centronics: optională (modul comunicație HO79-6);
- interfață IEEE588,2: optională (modul comunicație HO79-6);

### ACHIZITIE DIGITALĂ/MEMORARE:

- rata de eșantionare: 100MS/s;
- memorie: 2 forme de undă de referință x 2000 puncte (2kB);
- moduri de lucru: refresh, roll, single, XY, valoare medie, envelopă;

### VERTICAL:

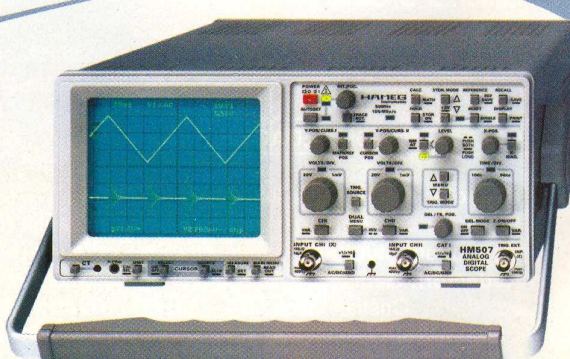
- număr de canale: 2;
- sensibilitate intrare: 1mV...20V/div.;
- tensiune maximă de intrare: 400V (c.c. + c.a.<sub>v.v</sub>);

### ORIZONTAL:

- baza de timp principală A: 50ns...0,5s/div.;
- banda în mod X-Y: 0...3MHz;
- baza de timp digitală: 0,2μs...100s/div.;

### DECLANȘARE:

- banda de declanșare: 0...100MHz;
- nivel minim de sincronizare: 0,5div.



Cod 8604

**5.089 lei**

50.890.000 lei vechi

# MULTIMETRE DIGITALE



## DVM810

Cod 9847

**25 lei - 250.000 lei vechi**



- ◆ Tensiune: max 500Vca/500Vcc
- ◆ Curent: max 10Aca
- ◆ Rezistență: max 2MΩ
- ◆ Test diode și tranzistori



## DVM830L

Cod 1513

**25 lei - 250.000 lei vechi**

- ◆ Tensiune: max 750Vca/1000Vcc
- ◆ Curent: max 10Aca
- ◆ Rezistență: max 2MΩ



## DVM830

Cod 4936

**29 lei - 290.000 lei vechi**

- ◆ Tensiune: max 750Vca/1000Vcc
- ◆ Curent: max 10Aca
- ◆ Rezistență: max 2MΩ
- ◆ Test diode și tranzistori



## DVM300

Cod 1129

**29 lei - 290.000 lei vechi**

- ◆ Tensiune: max 750Vca/1000Vcc
- ◆ Curent: max 1000Aca
- ◆ Rezistență: max 20kΩ



## DVM850BL

Cod 5860

**55 lei - 550.000 lei vechi**

- ◆ Tensiune: max 600Vca/1000Vcc
- ◆ Curent: max 10Aca
- ◆ Rezistență: max 2MΩ
- ◆ F-ctie HOLD
- ◆ Backlight



## DVM92

Cod 12782

**95 lei - 950.000 lei vechi**

- ◆ Tensiune: max 1000Vca/750Vcc
- ◆ Curent: max 20A ca-cc
- ◆ Rezistență: max 200MΩ
- ◆ Test diode și tranzistori
- ◆ Betametru: 1...1000



## DVM890L

Cod 9878

**89 lei - 890.000 lei vechi**

- ◆ Tensiune: max 700Vca/1000Vcc
- ◆ Curent: max 20A ca-cc
- ◆ Rezistență: max 200MΩ
- ◆ Capacitate: max 20µF
- ◆ Temperatură: -50...+1000°C cu senzor extern tip K

## DVM891

Cod 12755

**119 lei - 1.190.000 lei vechi**

- ◆ Tensiune: max 750Vca/1000Vcc
- ◆ Curent: max 20A ca-cc
- ◆ Rezistență: max 200MΩ
- ◆ Capacitate: max 20µF
- ◆ Frecvență: max 20kHz
- ◆ Temperatură: -50...+1000°C



## DVM890

Cod 9879

**149 lei - 1.490.000 lei vechi**

- ◆ Tensiune: max 700Vca/1000Vcc
- ◆ Curent: max 20A ca-cc
- ◆ Rezistență: max 200MΩ
- ◆ Capacitate: max 20µF
- ◆ Frecvență: max 20kHz
- ◆ Temperatura: -50...+1000°C



## DVM68

Cod 9844

**189 lei - 1.890.000 lei vechi**

- ◆ Tensiune: max 700Vca/1000Vcc
- ◆ Curent: max 10A ca-cc
- ◆ Rezistență: max 32,6MΩ
- ◆ Capacitate: max 32,6µF
- ◆ Frecvență: max 150kHz



## DVM990BL

Cod 12783

**199 lei - 1.990.000 lei vechi**

- ◆ Tensiune: max 700Vca/1000Vcc
- ◆ Curent: max 10A ca-cc
- ◆ Rezistență: max 200MΩ
- ◆ Capacitate: max 20µF
- ◆ Frecvență: max 20kHz
- ◆ Temperatură: -20...+1000°C



## DVM345DI

Cod 12998

**299 lei - 2.990.000 lei vechi**

- ◆ Indicarea automată a polarității
- ◆ Tensiune: max 1000Vca/750Vcc
- ◆ Curent: max 20A ca-cc
- ◆ Rezistență: max 200MΩ



## DVM98

Cod 9217

**399 lei - 3.990.000 lei vechi**

- ◆ Tensiune: max 750Vca/1000Vcc
- ◆ Curent: max 10A ca-cc
- ◆ Rezistență: max 200MΩ
- ◆ Capacitate: max 20µF
- ◆ Frecvență: max 20kHz



## PROTEK 506

Cod 5344

**469 lei - 4.690.000 lei vechi**

- ◆ Tensiune: 750Vca/1000Vcc
- ◆ Curent: 20A cc-ca
- ◆ Rezistență: 40MΩ
- ◆ Frecvență: 10MHz
- ◆ Temperatură: -20...+1200°C

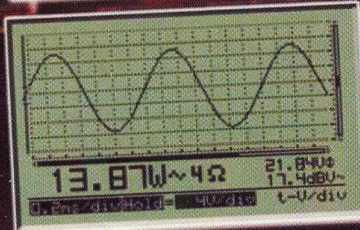
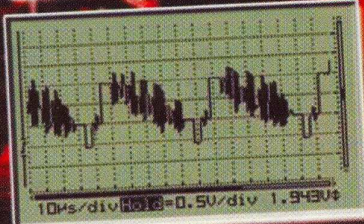
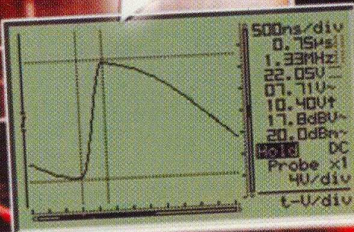




**velleman®**  
**INSTRUMENTS**

# HPS40

**up to 40MHz sampling rate**



See the residual noise on 5 to 10 times higher priced competition

HPS40 impressive low noise, even on highest sensitivity

Screens and data can be transferred to a computer, through an optical isolated RS232 port. Even instant screen shots can be taken, while measuring! Two memories, signal markers, X+Y position shift and adjustable trigger level, make this scope complete. A roll/recorder function is also provided to make long time recordings, like power monitoring or battery charge/discharge curves.

## PERSONAL SCOPE

Instrumentul HPS40 este un osciloscop portabil performant, ce prezintă caracteristici ca: eșanționare până la 40MHz, zgomot captat la intrare mic, sensibilitate ridicată, greutate mică și design specific, ecran LCD iluminat sau posibilitatea de a alege alimentarea de la baterii obisnuite sau de la baterii reîncărcabile. De specificat că afisajul LCD oferă cinci posibilități de afisare a parametrilor semnalului testat. Datorită funcției de autotestare, HPS40 se recomandă atât pentru electroniști începători cât și pentru profesioniști, aceștia putând admira performanțele de măsurare ale osciloskopului doar printr-o simplă apăsare de buton.

Intrarea osciloscopului este flotantă și complet izolată. Ecranul afișat și datele măsurate pot fi transferate pe un computer prin portul (izolat optic) RS232 al lui HPS40.

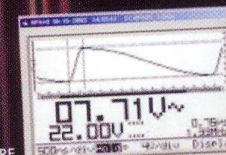
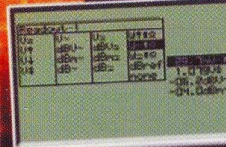
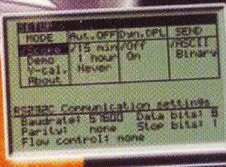
optically isolated RS232 output for PC

- 0.1 mV sensitivity
- 5mV to 20V/div in 12 steps
- 50ns to 1 hour/div time base in 34 steps
- Full auto set up
- Adjustable trigger level
- X and Y position signal shift
- +27 DVM readout
- Audio power calculation (rms and peak) in 2, 4, 8, 16 & 32 ohm
- dBm, dBV, DC, rms ... measurements
- Signal markers for Volt and Time
- Frequency readout (through markers)
- Recorder function (roll mode)
- Signal storage (2 memories)
- High resolution LCD 192x112 pixels
- Data or bitmap download to PC

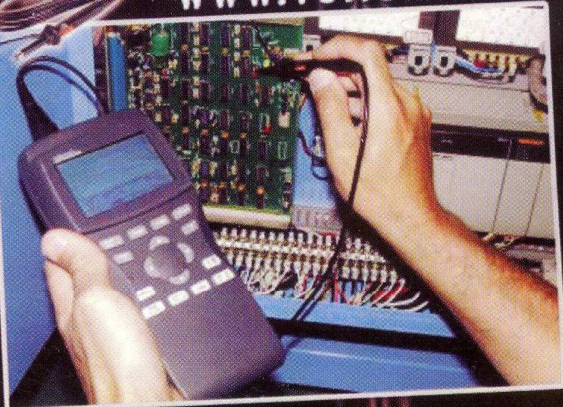


**up to 12MHz analog bandwidth**

EASY SET UP MENUS note the direct power calculation for audio loads



SOFTWARE free download from our website [www.velleman.be](http://www.velleman.be)



**1.899 lei**  
18.990.000 lei vechi

Numai la ...

**conex**  
**electronic**